

รายการอ้างอิง

1. ACI Committee 363, “State-of-the-Art Report on High-Strength Concrete,” ACI 363R-92, American Concrete Institute, Detroit, MI, September 1992, 55 pages.
2. Azizinamini, A., Kuska, S. S. B., Brungardt, P., and Hatfield, E., “Seismic behavior of square high-strength concrete columns,” ACI Structural Journal, Vol. 91, Issue 3, May 1, 1994, pp. 336-345.
3. ACI-ASCE Committee 441, “High-Strength Concrete Columns: State of the Art,” ACI Structural Journal, Vol. 94, Issue 3, May-June 1997, pp. 323-335.
4. ACI Committee 318, “Building Code Requirements for Reinforced Concrete (ACI 318-99) and Commentary (ACI 318R-99),” American Concrete Institute, Farmington Hills, Mich., 1999, 391 pages.
5. Aschheim, M., “Towards Improved Models of Shear Strength Degradation in Reinforced Concrete Members,” Techno-Press, Structural Engineering and Mechanics, Vol. 9, No. 6, June 2000, pp. 601-613.
6. Ahn, J. M.; Lee, J. Y.; Bahn, B. Y.; and Shin, S. W., “An Experimental Study of the Behavior of High-Strength Reinforced Concrete Columns Subjected to Reversed Cyclic Shear under Constant Axial Compression,” Thomas Telford, Magazine of Concrete Research, Vol. 52, No. 3, June, 2000, pp. 209-218.
7. Bayrak, O., “Seismic Performance of Rectilinearly Confined High Strength Concrete Columns,” Ph. D. Thesis, University of Toronto, Canada, 1998, 339 pages.
8. Bayrak, O.; and Sheikh, S. A., “Confinement Reinforcement Design Considerations for Ductile HSC Columns,” ASCE, Journal of Structural Engineering, Vol. 124, No. 9, September 1998, pp. 999-1010.
9. Chung, H.; Hayashi, S.; and Kokusho, S., “Reinforced High Strength Concrete Columns Subjected to Axial Forces, Bending Moments and Shear Forces,” Transactions of the Japan Concrete Institute, Vol. 2, 1980, pp. 335-342.

10. Collins, M. P.; Mitchell, D.; and MacGregor, James G., "Structural Design Considerations for High-Strength Concrete," ACI, Concrete International, Vol. 15, No. 5, May 1993, pp. 27-34.
11. Dutta, A.; Kokorina, T.; and Mander, John B., "Experimental Study on the Seismic Design and Retrofit of Bridge Columns Including Axial Load Effects," Technical Report MCEER-99-0003, University of New York at Buffalo, USA, February 22, 1999, 134 pages.
12. Galeota, D.; Giannatteo, M. M.; Marino, R., "Seismic Resistance of High Strength Concrete Columns," 11th World Conference on Earthquake Engineering, Acapulco, Mexico, June 23-28, 1996, Paper No. 1390.
13. Hibi, J.; Mihara, Y.; Otani, S.; and Aoyama, H., "Behavior of Reinforced Concrete Columns Using High Strength Concrete after Flexural Yielding," Transactions of the Japan Concrete Institute, Vol. 13, 1991, pp. 395-402.
14. Hose, Y.; Silva, P.; and Seible, F., "Development of a Performance Evaluation Database for Concrete Bridge Components and Systems under Simulated Seismic Loads," Earthquake Spectra, Volume 16, Issue 2, May 2000, pp. 413-442.
15. Ho, J. C. M.; and Pam, H. J., "Inelastic Design of Low-Axially Loaded High-Strength Reinforced Concrete Columns," Elsevier Science, Engineering Structures, Vol. 25, No. 8, July, 2003, pp. 1083-1096.
16. Kabeyasawa, T.; Li, K-N.; and Huang, K., "Experimental Study on Strength and Deformability of Ultra High Strength Reinforced Concrete Columns," Transactions of the Japan Concrete Institute, Vol. 12, 1990, pp. 315-322.
17. Kato, D.; and Kikuchi, M., "Experimental Study on Deformation Capacity of R/C Columns Using High Strength Concrete and Reinforcement," Transactions of the Japan Concrete Institute, Vol. 14, 1992, pp. 401-408.
18. Kowalsky, M. J.; Priestley, M. J. N.; and MacRae, G. A., "Displacement-Based Design of RC Bridge Columns in Seismic Regions," Earthquake Engrg. And Struc. Dyn., Vol. 24, No. 12, 1995, pp. 1623-1643.

19. Kawashima, K.; MacRac, G. A.; Hoshikuma, J.; and Nagaya, K., “Residual Displacement Response Spectrum,” ASCE, Journal of Structural Engineering, Vol. 124, No. 5, May 1998, pp. 523-530.
20. Kappos, A. J.; and Konstantinidis, D., “Statistical Analysis of Confined High Strength Concrete,” RILEM, Materials and Structures, Vol. 32, No. 224, December 1999, pp. 734-748.
21. Kowalsky, M. J.; and Priestley, M. J. N., “Improved Analytical Model for Shear Strength of Circular Reinforced Concrete Columns in Seismic Regions,” ACI Structural Journal, Vol. 97, No. 3, May-June 2000, pp. 388-396.
22. Li, B., “Strength and Ductility of Reinforced Concrete Members and Frames Constructed Using High Strength Concrete,” Research Report 94-5, Department of Civil Engineering, University of Canterbury, Christchurch, New Zealand, May 1994.
23. Lukkunaprasit, P., “Enhancement of Structural Performance of Moderate Seismic Risk Regions,” Proceedings of the WG-1 Earthquake-Resisting Technologies for Civil Infrastructures, 3rd EQTAP Workshop, Manila, Philippines, 2000.
24. Légeron, F. and Paultre, P., “Behavior of High-Strength Concrete Columns under Cyclic Flexure and Constant Axial Load,” ACI Structural Journal, Vol. 97, Issue 4, July 1, 2000, pp. 591-601.
25. Lukkunaprasit, P.; and Sittipunt, C., “Ductility Enhancement of Moderately Confined Concrete Tied Columns with Hook-Clips,” ACI Structural Journal, Vol. 100, Issue 4, July 1, 2003, pp. 422-429.
26. Lukkunaprasit, P.; and Thepmangkorn, J., “Load History Effect on Cyclic Behavior of RC Tied Columns,” Accepted by ASCE, Journal of Structural Engineering, 2004.
27. Muguruma, H.; Watanabe, F.; and Komuro, T., “Applicability of High strength Concrete to Reinforced Concrete Ductile Column,” Transactions of the Japan Concrete Institute, Vol. 11, 1989, pp. 309-316.
28. Muguruma, H.; Nishiyama, M.; Watanabe, F.; and Tanaka, H., “Ductile Behavior of High Strength Concrete Columns Confined by High Strength Transverse Reinforcement,” Evaluation and Rehabilitation of Concrete Structures and

- Innovations in Design, ACI Special Publication, SP-128, American Concrete Institute, Detroit, 1991, pp. 877-891.
29. Matamoros, A. B., "Study of Drift Limits for High-Strength Concrete Columns," Ph. D. Thesis, Department of Civil Engineering, University of Illinois at Urbana-Champaign, 1999, 435 pages.
 30. NZS 3101: Part I, "Code of Practice for the Design of Concrete Structures," Standards Association of New Zealand, Wellington, New Zealand, 1995.
 31. Nawy, E. G., "Fundamentals of High-Performance Concrete," 2nd Edition, John Wiley & Sons, USA, 2001, 441 pages.
 32. PCA, "Notes on ACI 318-99 Building Code Requirements for Structural Concrete"
 33. Paulay, T.; and Priestley, M. J. N., "Seismic Design of Reinforced Concrete and Masonry Buildings," John Wiley & Sons, USA, 1992, 744 pages.
 34. Priestley, M. J. N.; Verma, R.; and Xiao, Y., "Seismic Shear Strength of Reinforced Concrete Columns," ASCE, Journal of Structural Engineering, Vol. 120, No. 8, August 1994, pp. 2310-2329.
 35. Priestley, M. J. N.; Seible, F.; and Calvi, G. M., "Seismic Design and Retrofit of Bridges," John Wiley & Sons, USA, 1996, 686 pages.
 36. Priestley, M. J. N., "Myths and Fallacies in Earthquake Engineering," ACI, Concrete International, Vol. 19, No. 2, February 1997, pp. 54-63.
 37. Penelis, G. G.; and Kappos, A. J., "Earthquake-Resistant Concrete Structures," 1st Edition, E & FN Spon, Great Britain, 1997, 572 pages.
 38. Park, R., "Design and Behavior of RC Columns Incorporating High-Strength Materials," ACI, Concrete International, Vol. 20, Issue 11, November 1, 1998, pp. 55-62.
 39. Paultre, P., Légeron, F., and Mongeau, D., "Influence of Concrete Strength and Transverse Reinforcement Yield Strength on Behavior of High-Strength Concrete Columns," ACI Structural Journal, Vol. 98, Issue 4, July 1, 2001, pp. 490-501.
 40. Razvi, S.; and Saatcioglu, M., "Confinement Model for High-Strength Concrete," ASCE, Journal of Structural Engineering, Vol. 125, No. 3, March 1999, pp. 281-289.

41. Sugano, S.; Nagashima, T.; Kimura, H.; and Tamura, A., "Experimental Studies on Seismic Behaviour of High Strength Concrete Columns Laterally Reinforced with High Strength Steel Bars," Proceedings of Ninth World Conference on Earthquake Engineering, August 2-9, 1988, Tokyo-Kyoto, Japan, (Vol. IV), Paper No. 6-4-18, pp. 407-412.
42. Sakai, Y.; Hibi, J.; Otani, S.; and Aoyama, H., "Experimental Studies on Flexural Behavior of Reinforced Concrete Columns Using High-Strength Concrete," Transactions of the Japan Concrete Institute, Vol. 12, 1990, pp. 323-330.
43. Sheikh, S. A. and Khoury, S. S., "Confined Concrete Columns With Stubs," ACI Structural Journal, Vol. 90, Issue 4, July 1, 1993, pp. 414-431.
44. Sheikh, S. A., Shah, D. V., and Khoury, S. S., "Confinement of High-Strength Concrete Columns," ACI Structural Journal, Vol. 91, Issue 1, January 1, 1994, pp. 100-111.
45. Shah, S. P.; and Ahmad, S. H. (Editors), "High Performance Concretes and Applications," 1st Edition, Edward Arnold, Great Britain, 1994, 403 pages.
46. Sugano, S., "Seismic Behavior of Reinforced Concrete Columns which Used Ultra-High-Strength Concrete," 11th World Conference on Earthquake Engineering, Acapulco, Mexico, June 23-28, 1996, Paper No. 1383.
47. Saatcioglu, M., "Behavior and Design of Confined High-Strength Concrete Columns," First International Conference on High Strength Concrete, ASCE, Kona, Hawaii, July 13-18, 1997, pp. 173-186.
48. Sheikh, S. A. and Khoury, S. S., "A Performance-Based Approach for the Design of Confining Steel in Tied Columns," ACI Structural Journal, Vol. 94, Issue 4, July 1, 1997, pp. 421-431.
49. Saatcioglu, M. and Razvi, S., "Displacement-Based Design of Reinforced Concrete Columns for Confinement," ACI Structural Journal, Vol. 99, Issue 1, January 1, 2002, pp. 3-11.
50. Thomson, J. H. and Wallace, J. W., "Lateral Load Behavior of Reinforced Concrete Columns Constructed Using High-Strength Materials," ACI Structural Journal, Vol. 91, Issue 5, September 1, 1994, pp. 605-615.

51. Tanaka, H.; Sato, Y.; Park, R.; and Kani, N., “High-Strength Concrete Columns with Longitudinal Reinforcement of Mixed Steel Grades,” High-Performance Concrete, Proceedings ACI International Conference, SP-149, V.M. Malhotra (Editor), Singapore, 1994, pp. 391-411.
52. Taylor, A. W.; Kuo, C.; Wellenius, K.; and Chung, D., “A Summary of Cyclic Lateral Load Tests on Rectangular Reinforced Concrete Columns,” Research Report NISTIR 5984, Building and Fire Research Laboratory, National Institute of Standards and Technology, Gaithersburg, Maryland, USA, January 1997, 97 pages.
53. Xiao, Y.; and Martirosyan A., “Seismic Performance of High-Strength Concrete Columns,” ASCE, Journal of Structural Engineering, Vol. 124, No. 3, March 1998, pp. 241-251.
54. Xiao, Y. and Yun, H. W., “Experimental Studies on Full-Scale High-Strength Concrete Columns,” ACI Structural Journal, Vol. 99, Issue 2, March 1, 2002, pp. 199-207.
55. Watson, S.; Zahn, F. A.; and Park, R., “Confining Reinforcement for Concrete Columns,” ASCE, Journal of Structural Engineering, Vol. 120, No. 6, June 1994, pp. 1798-1824.
56. Watson, S.; and Park, R., “Simulated Seismic Load Tests on Reinforced Concrete Columns,” ASCE, Journal of Structural Engineering, Vol. 120, No. 6, June 1994, pp. 1825-1849.
57. <http://maximus.ce.washington.edu/~peera1>

No.	Researchers	Specimen name	Comments	Spec. type	Load history type	f_c (MPa)	b (and h) (mm)	Dimensions			Longitudinal reinforcement			Transverse reinforcement			Failure mode		
								L (mm)	cov (mm)	L/h	# long. bars	d _b (mm)	P _t (%)	f_y (MPa)	Tie config.	d _{bh} (mm)	s (mm)	f_{yb} (MPa)	
1	Muguruma et al. (1989)	AH-1		DE	2(2), 2(1)	85.7	200	9.0	500	2.5	12	12.7	3.80	400	RI (W)	6.0	35	792	137/1 flexure
2		AL-2		DE	1(2), 1(1)	85.7	200	9.0	500	2.5	12	12.7	3.80	400	RI (W)	6.0	35	328	215/6 flexure
3		AH-2		DE	1(2), 1(1)	85.7	200	9.0	500	2.5	12	12.7	3.80	400	RI (W)	6.0	35	792	215/6 flexure
4		BH-1		DE	2(2), 2(1)	115.8	200	9.0	500	2.5	12	12.7	3.80	400	RI (W)	6.0	35	792	117/6 flexure
5	Muguruma et al. (1991)	BH-2		DE	2(2), 2(1)	115.8	200	9.0	500	2.5	12	12.7	3.80	400	RI (W)	6.0	35	792	195/9 flexure
1		CL-3		DE	1(2)	130.0	200	8.8	500	2.5	12	12.7	3.80	403	RI (W)	6.4	35	408	178/4 flexure
2		CH-3		DE	1(2)	130.0	200	8.8	500	2.5	12	12.7	3.80	403	RI (W)	6.4	35	873	178/4 flexure
3		CL-4		DE	1% (2)	130.0	200	8.8	500	2.5	12	12.7	3.80	403	RI (W)	6.4	35	408	246/0 flexure
4	Sakai et al. (1990)	CH-4		DE	1% (2)	130.0	200	8.8	500	2.5	12	12.7	3.80	403	RI (W)	6.4	35	873	246/0 flexure
1		B1		DC	*2(2)	99.6	250	23.5	500	2.0	12	12.7	2.43	379	RI (W)	5.0	60	774	217/8 flexure
2		B2		DC	*2(2)	99.6	250	23.5	500	2.0	12	12.7	2.43	379	RI (W)	5.0	40	774	217/8 flexure
3		B3		DC	*2(2)	99.6	250	23.5	500	2.0	12	12.7	2.43	379	RI (W)	5.5	60	344	217/8 flexure
4	Sheikh et al. (1994)	B4		DC	*2(2)	99.6	250	23.5	500	2.0	12	12.7	2.43	379	RI (W)	5.0	60	112/6	217/8 flexure
5		B7		DC	*2(2)	99.6	250	30.5	500	2.0	4	19.1	1.83	339	R (W)	5.0	30	774	217/8 flexure
1		AS-3H		C	1(2)	54.1	305	14.2	1842	6.0	8	19.1	2.45	508	RD	9.5	108	508	312/0 flexure
2		AS-18H		C	1(2)	54.7	305	12.6	1842	6.0	8	19.1	2.45	508	RD	12.7	108	464	325/7 flexure
3	Bayrak and Sheikh (1998)	AS-20H		C	1(2)	53.6	305	12.6	1842	6.0	8	19.1	2.45	508	RD	12.7	76	464	319/1 flexure
1		ES-1HT		C	1(2)	72.1	305	11.5	1842	6.0	8	19.5	2.58	454	R	16.0	95	463	335/4 flexure
2		AS-2HT		C	1(2)	71.7	305	14.0	1842	6.0	8	19.5	2.58	454	RD	11.3	90	542	240/1 flexure
3		AS-3HT		C	1(2)	71.8	305	14.0	1842	6.0	8	19.5	2.58	454	RD	11.3	90	542	334/0 flexure
4	Azizinamini et al. (1994)	AS-4HT		C	1(2)	71.9	305	11.5	1842	6.0	8	19.5	2.58	454	RD	16.0	100	463	334/4 flexure
5		AS-5HT		C	1(2)	101.8	305	11.5	1842	6.0	8	19.5	2.58	454	RD	16.0	90	484	426/1 flexure
6		AS-6HT		C	1(2)	101.9	305	11.5	1842	6.0	8	19.5	2.58	454	RD	16.0	76	463	436/0 flexure
7		AS-7HT		C	1(2)	102.0	305	14.0	1842	6.0	8	19.5	2.58	454	RD	11.3	94	542	427/0 flexure
8	D60-74-2-5/8-0.2P	ES-8HT		C	1(2)	102.2	305	11.5	1842	6.0	8	19.5	2.58	454	R	16.0	70	463	446/8 flexure
1		D60-7-3C-1-5/8-0.2P		DE	1(2)	53.7	305	15.9	914	3.0	8	19.1	2.45	473	R	12.7	67	454	104/4 flexure
2		D60-15-4-2-5/8-0.2P		DE	1(2)	50.8	305	22.2	914	3.0	8	19.1	2.45	473	RJ	9.5	41	495	99/9 flexure
3		D60-15-3C-1-5/8-0.2P		DE	1(2)	100.8	305	15.9	914	3.0	8	19.1	2.45	473	R	12.7	67	454	177/1 flexure
4		D60-15-3C-2-5/8-0.2P		DE	1(2)	100.3	305	22.2	914	3.0	8	19.1	2.45	473	RJ	9.5	41	495	176/3 flexure
5		D120-15-3C-2-5/8-0.2P		DE	1(2)	101.6	305	22.2	914	3.0	8	19.1	2.45	473	RJ	9.5	67	752	178/3 flexure
6		D120-15-3C-1-5/8-0.2P		DE	1(2)	101.7	305	22.2	914	3.0	8	19.1	2.45	473	RJ	9.5	41	752	178/5 flexure
7		D60-15-3C-1-5/8-0.3P		DE	1(2)	103.8	305	22.2	914	3.0	8	19.1	2.45	473	RJ	9.5	41	495	272/6 flexure

ตารางที่ 3.1

ข้อมูลคิวบิกองขนาดต่างๆ ในการวิเคราะห์

No.	Researchers	Specimen name	Comments	Spec. type	Load history type	f_c (MPa)	b (mm)	Dimensions			Longitudinal reinforcement			Transverse reinforcement			Failure mode			
								cov (mm)	L (mm)	L/h	# long. bars	d_b (mm)	ρ_l (%)	f_y (MPa)	Tie config.	d_{bh} (mm)	s (mm)	f_{vh} (MPa)		
1	Li (1994)	Unit 2		DE	2(2)	98.0	350	28.0	1600	4.6	8	24.0	2.95	446	RD	12.0	64	453	3602	flexure
2		Unit 4		DE	1(2)	93.0	350	28.0	1600	4.6	8	24.0	2.95	446	RD	12.0	45	453	6835	flexure
1	Thomsen and Wallace (1994)	C2		C	0.5%(2)	74.6	152	11.1	597	3.9	8	9.5	2.45	476	RD	3.2	25	1276	173	flexure
2		C3		C	0.5%(2)	81.8	152	11.1	597	3.9	8	9.5	2.45	476	RD	3.2	25	1276	380	flexure
3		D1		C	0.5%(2)	75.8	152	11.1	597	3.9	8	9.5	2.45	476	RD	3.2	32	1276	352	flexure
4		D2		C	0.5%(2)	87.0	152	11.1	597	3.9	8	9.5	2.45	476	RD	3.2	38	1276	404	flexure
5		D3		C	0.5%(2)	71.3	152	11.1	597	3.9	8	9.5	2.45	476	RD	3.2	44	1276	331	flexure
6		HC4-8L19-T10-0.1P		DC	1(3), 2(3)	76.0	254	13.0	508	2.0	8	19.1	3.55	510	RJ	9.3	51	510	489	flexure
1	Xiao and Martirosyan (1998)	HC4-8L19-T10-0.2P		DC	1(3), 2(3)	76.0	254	13.0	508	2.0	8	19.1	3.55	510	RJ	9.3	51	510	979	flexure
2		HC4-8L16-T10-0.1P		DC	1(3), 2(3)	86.0	254	13.0	508	2.0	8	15.9	2.46	510	RJ	9.3	51	510	534	flexure
3		HC4-8L16-T10-0.2P		DC	1(3), 2(3)	86.0	254	13.0	508	2.0	8	15.9	2.46	510	RJ	9.3	51	510	1068	flexure
4		HC4-8L16-T6-0.1P		DC	1(3), 2(3)	86.0	254	13.0	508	2.0	8	15.9	2.46	510	RJ	6.4	51	449	534	flexure-shear
5		HC4-8L16-T6-0.2P		DC	1(3)	86.0	254	13.0	508	2.0	8	15.9	2.46	510	RJ	6.4	51	449	1068	flexure-shear
6		FHC1-0.2		C	1%(3), 2%(3)	64.1	510	40.0	1778	3.5	8	35.8, 28.7	2.54	469	RJ	15.9	100	445	3334	flexure
1	Xiao and Yun (2002)	FHC2-0.34		C	1%(3)	62.1	510	40.0	1778	3.5	8	35.8, 28.7	2.54	469	RJ	15.9	100	445	5373	flexure
2		FHC3-0.22		C	1%(3), 2%(3)	62.1	510	40.0	1778	3.5	8	35.8, 28.7	2.54	469	RJ	15.9	125	524	3630	flexure
3		FHC4-0.33		C	1%(3)	62.1	510	40.0	1778	3.5	8	35.8, 28.7	2.54	469	RJ	15.9	125	525	5240	flexure
4		FHC5-0.2		C	1%(3), 2%(3)	64.1	510	40.0	1778	3.5	8	35.8, 28.7	2.54	469	RJ	15.9	150	445	3334	flexure
5		FHC6-0.2		C	1%(3), 2%(3)	64.1	510	40.0	1778	3.5	8	35.8, 28.7	2.54	469	RJ	15.9	150	524	3334	flexure
6		C10-05N		C	1%(2)	69.7	203	32.7	610	3.0	4	15.9	1.92	586	R	9.5	76	407	142	flexure
1	Matamoros (1999)	C10-05S		C	1%(2)	69.7	203	33.9	610	3.0	4	15.9	1.92	586	R	9.5	76	407	142	flexure
2		C10-10N		C	1%(2)	67.8	203	17.4,	610	3.0	4	15.9	1.92	572	R	9.5	76	514	285	flexure
3		C10-10S		C	1%(2)	67.8	203	17.4,	610	3.0	4	15.9	1.92	573	R	9.5	77	515	285	flexure
4		C10-20N		C	1%(2)	65.5	203	14.9,	610	3.0	4	15.9	1.92	572	R	9.5	76	514	569	flexure
5		C10-20S		C	1%(2)	65.5	203	22.0,	610	3.0	4	15.9	1.92	573	R	9.5	77	515	569	flexure
6																				

ตารางที่ 3.1 (ต่อ) ปุ่มนูดลิบของทางทดลองคอนกรีตกำลังตึงทึบในการวิเคราะห์

No.	Researchers	Specimen name	Comments	Spec. type	Load history type	f_c (MPa)	b (and h) (mm)	cov (mm)	L (mm)	L/h	# long. bars	d_b (mm)	Longitudinal reinforcement			Transverse reinforcement			P (kN)	Failure mode
													ρ_l (%)	f_y (MPa)	Tie config.	d_{bh} (mm)	s (mm)	f_{vn} (MPa)		
1	Ahn et al. (2000)	H1-60-5N	DC	1(3)	52.0	240	27.2	500	2.1	12	9.5	1.48	525	R	6.0	60	406	1498	compression-shear	
2		H2-30-3N	DC	1(3)	52.0	240	27.2	500	2.1	12	9.5	1.48	525	R	6.0	30	406	899	shear	
3		H2-30-5N	DC	1(3)	52.0	240	27.2	500	2.1	12	9.5	1.48	525	R	6.0	30	406	1498	compression-shear	
4		H3-20-3N	DC	1(3), 1(1)	52.0	240	27.2	500	2.1	12	9.5	1.48	525	R	6.0	20	406	899	flexure	
5		H3-20-5N	DC	1(3)	52.0	240	27.2	500	2.1	12	9.5	1.48	525	R	6.0	20	406	1498	flexure-shear	
6		H3-37-3N	DC	1(3), 1(1)	52.0	240	27.2	500	2.1	12	9.5	1.48	525	RO	6.0	37	406	899	flexure	
7		H3-37-5N	DC	1(3), 1(1)	52.0	240	27.2	500	2.1	12	9.5	1.48	525	RO	6.0	37	406	1498	flexure	
8		U1-60-3N	DC	1(3)	62.0	240	27.2	500	2.1	12	9.5	1.48	370	R	6.0	60	406	1071	shear	
9		U1-60-5N	DC	1(3)	59.0	240	27.2	500	2.1	12	9.5	1.48	525	R	6.0	60	406	1699	compression-shear	
10		U2-30-3N	DC	1(3)	59.0	240	27.2	500	2.1	12	9.5	1.48	525	R	6.0	30	406	1020	flexure-shear	
11		U2-30-5N	DC	1(3)	70.0	240	27.2	500	2.1	12	9.5	1.48	525	R	6.0	30	406	2016	compression-shear	
12		U3-20-3N	DC	1(3), 1(1)	59.0	240	27.2	500	2.1	12	9.5	1.48	525	R	6.0	20	406	1020	flexure	
13		U3-20-5N	DC	1(3)	59.0	240	27.2	500	2.1	12	9.5	1.48	525	R	6.0	20	406	1699	compression	
14		U3-37-3N	DC	1(3), 1(1)	59.0	240	27.2	500	2.1	12	9.5	1.48	525	RO	6.0	37	406	1020	flexure	
15		U3-37-5N	DC	1(3), 1(1)	70.0	240	27.2	500	2.1	12	9.5	1.48	525	RO	6.0	37	406	2016	flexure	
1	Paultre and Legeron (2000)	C100B60N15	C	1(2)	92.4	305	19.0	2000	6.6	8	19.5,	2.15	468	RD	11.3	60	391	1200	flexure	
2		C100B60N25	C	1(2)	93.3	305	19.0	2000	6.6	8	19.5,	2.15	456	RD	11.3	60	391	2400	flexure	
3		C100B60N40	C	1(2)	98.2	305	19.0	2000	6.6	8	19.5,	2.15	457	RD	11.3	60	418	3600	flexure	
4		C100B130N15	C	1(2)	94.8	305	19.0	2000	6.6	8	19.5,	2.15	468	RD	11.3	130	391	1200	flexure	
5		C100B130N25	C	1(2)	97.7	305	19.0	2000	6.6	8	19.5,	2.15	456	RD	11.3	130	391	2400	flexure	
6		C100B130N40	C	1(2)	104.3	305	19.0	2000	6.6	8	19.5,	2.15	457	RD	11.3	130	418	3600	flexure	
1		C80B60N40	C	1(2)	78.7	305	19.0	2000	6.6	8	19.5,	2.15	467	RD	11.3	60	438	2900	flexure	
2		C120B60N40	C	1(2)	109.2	305	19.0	2000	6.6	8	19.5,	2.15	467	RD	11.3	60	438	4200	flexure	
3		C100BH55N40	C	1(2)	109.5	305	19.0	2000	6.6	8	19.5,	2.15	467	RD	9.5	55	825	3600	flexure	
4		C100BH80N40	C	1(2)	104.2	305	19.0	2000	6.6	8	19.5,	2.15	467	RD	9.5	80	825	3600	flexure	
5		C100BH55N52	C	1(2)	104.5	305	19.0	2000	6.6	8	19.5,	2.15	481	RD	11.3	60	492	5150	flexure	
6		C100B60N52	C	1(2)	109.4	305	19.0	2000	6.6	8	19.5,	2.15	481	RD	11.3	60	492	5150	flexure	
1	Ho and Pam (2003)	BS-80-01-09-R6	C	1(2)	72.6	325	19.5	1900	5.8	8	12.0	0.86	556	R(90)	6.0	100	378	1022	flexure	
2		BS-80-01-09-R8	C	1(2)	74.6	325	17.5	1900	5.8	8	12.0	0.86	556	R(90)	8.0	175	362	965	flexure	
3		BS-80-01-09-R10	C	1(2)	72.4	325	15.5	1900	5.8	8	12.0	0.86	556	R(90)	10.0	220	344	975	flexure	
4		NEW-80-01-09-R12	C	1(2)	77.8	325	13.5	1900	5.8	8	12.0	0.86	556	R	12.0	85	339	989	flexure	

ตารางที่ 3.1 (ต่อ) ข้อมูลด้านเชิงทางคณิตศาสตร์สำหรับการวิเคราะห์ในกรณีที่ไม่ใช้ค่าเฉลี่ย

No.	Researchers	Specimen name	Load history type	f_c (MPa)	Tie config.	f_{yh} (MPa)	P/P_o	$A_{sh}/A_{sh,ACI}$	k_e	γ_p	ρ_A	$\mu_{\Delta,env}$
1	Muguruma et al. (1989)	AH-1	2(2), 2(1)	85.7	RI (W)	792	0.40	1.89	0.62	1.14	1.38	14.2
2		AL-2	1(2), 1(1)	85.7	RI (W)	328	0.63	0.78	0.62	2.31	0.28	4.0
3		AH-2	1(2), 1(1)	85.7	RI (W)	792	0.63	1.89	0.62	2.31	0.68	8.6
4		BH-1	2(2), 2(1)	115.8	RI (W)	792	0.27	1.40	0.62	1.02	1.14	12.1
5		BH-2	2(2), 2(1)	115.8	RI (W)	792	0.45	1.40	0.62	1.23	0.94	10.5
1	Sakai et al. (1990)	B1	*2(2)	99.6	RI (W)	774	0.38	0.33	0.49	1.10	0.20	3.3
2		B2	*2(2)	99.6	RI (W)	774	0.38	0.50	0.61	1.10	0.36	6.2
3		B3	*2(2)	99.6	RI (W)	344	0.38	0.18	0.49	1.10	0.11	2.4
4		B4	*2(2)	99.6	RI (W)	1126	0.38	0.48	0.49	1.10	0.29	4.8
5		B7	*2(2)	99.6	R (W)	774	0.39	0.25	0.40	1.12	0.12	2.5
1	Bayrak and Sheikh (1998)	ES-1HT	1(2)	72.1	R	463	0.50	1.13	0.27	1.43	0.28	4.5
3		AS-3HT	1(2)	71.8	RD	542	0.50	1.20	0.39	1.42	0.43	4.7
4		AS-4HT	1(2)	71.9	RD	463	0.50	1.84	0.37	1.42	0.64	6.2
7		AS-7HT	1(2)	102.0	RD	542	0.48	0.81	0.38	1.32	0.31	3.0
8		ES-8HT	1(2)	102.2	R	463	0.50	1.08	0.31	1.40	0.32	3.3
2		C3	0.5%(2)	81.8	RD	1276	0.21	1.18	0.50	1.00	0.78	6.6
3		D1	0.5%(2)	75.8	RD	1276	0.20	1.02	0.45	1.00	0.60	7.5
4		D2	0.5%(2)	87.0	RD	1276	0.21	0.74	0.41	1.01	0.40	6.2
5		D3	0.5%(2)	71.3	RD	1276	0.20	0.77	0.38	1.00	0.39	5.6

ตารางที่ 3.2 ค่าอัตราส่วนหนักปะลอกประตีกนิพลด และความหนาของวิธีการทดสอบตัวที่ได้จากการสร้างสำนักงานศึกษาเรื่องโครงสร้างสำหรับโครงสร้างที่มีความต้องจะทำแรงไว้ในช่อง No.)
(คำหัวข้ออย่างง่ายที่นำไปวิเคราะห์ความต้องจะทำแรงไว้ในช่อง No.)

No.	Researchers	Specimen name	Load history type	f_c^r (MPa)	Tie config.	$f_{t,y}$ (MPa)	P/P _o	$A_{sh}/A_{sh,ACI}$	k_e	γ_p	ρ_A	$\mu_{\Delta,env.}$
1	Xiao and Martirossyan (1998)	HC4-8L19-T10-0.1P	1(3), 2(3)	76.0	RJ	510	0.09	1.36	0.47	1.00	0.86	12.5
1	Matamoros (1999)	C10-05N	1%(2)	69.7	R	407	0.05	0.21	0.21	1.00	0.06	5.4
2		C10-05S	1%(2)	69.7	R	407	0.05	0.21	0.21	1.00	0.06	5.0
3		C10-10N	1%(2)	67.8	R	514	0.10	0.51	0.23	1.00	0.16	7.0
4		C10-10S	1%(2)	67.8	R	515	0.10	0.53	0.23	1.00	0.16	5.0
5		C10-20N	1%(2)	65.5	R	514	0.21	0.63	0.24	1.01	0.20	5.8
6		C10-20S	1%(2)	65.5	R	515	0.21	0.58	0.23	1.01	0.18	5.4
1	Paultre and Legeron (2000)	C100B60N15	1(2)	92.4	RD	391	0.15	1.03	0.47	1.00	0.64	12.5
2		C100B60N25	1(2)	93.3	RD	391	0.30	1.02	0.47	1.03	0.62	5.9
3		C100B60N40	1(2)	98.2	RD	418	0.42	1.04	0.47	1.18	0.55	4.4
4		C100B130N15	1(2)	94.8	RD	391	0.15	0.46	0.32	1.00	0.20	7.5
5		C100B130N25	1(2)	97.7	RD	391	0.28	0.45	0.32	1.02	0.19	2.7
6		C100B130N40	1(2)	104.3	RD	418	0.40	0.45	0.32	1.13	0.17	2.3
2	(2001)	C120B60N40	1(2)	109.2	RD	438	0.45	0.98	0.47	1.23	0.49	5.9
3		C100BH55N40	1(2)	109.5	RD	825	0.38	1.41	0.49	1.11	0.83	7.4
4		C100BH80N40	1(2)	104.2	RD	825	0.40	1.02	0.40	1.13	0.48	3.3
5		C100BH55N52	1(2)	104.5	RD	744	0.57	1.33	0.49	1.78	0.49	3.9
6		C100B60N52	1(2)	109.4	RD	492	0.55	1.10	0.47	1.63	0.42	4.4

ตารางที่ 3.2 (ต่อ) ค่าอัตราส่วนหนึ่งต่อสองของประติสัมพันธ์ และความหนืดยาวยังการเคลื่อนตัวที่ได้จากการสร้างสำนักงานที่ 1 ของคุณ (สำหรับตัวอย่างสถานที่ในประเทศไทย) และค่าความถดถ卜ของแรงทำไกรในช่อง No.)

No.	Researchers	Specimen name	Δ_y based on	Comments	Load history type	f'_c (MPa)	Tie config.	f_{yh} (MPa)	P/P _o	$A_{sh}/A_{sh,ACI}$	k_e	γ_p	ρ_A	$\mu_{\Delta,rep.}$
1	Muguruma et al. (1991)	CL-3	equal energy	0.8M _{max}	1(2)	130.0	RI (W)	408	0.37	0.72	0.62	1.09	0.55	7.3
2		CH-3	equal energy	0.8M _{max}	1(2)	130.0	RI (W)	873	0.37	1.53	0.62	1.09	1.17	6.9
3		CL-4	equal energy	0.8M _{max}	1%(2)	130.0	RI (W)	408	0.51	0.72	0.62	1.43	0.42	4.2
4		CH-4	equal energy	0.8M _{max}	1%(2)	130.0	RI (W)	873	0.51	1.53	0.62	1.43	0.89	4.9
1	Sheikh et al. (1994)	AS-3H	Initial tangent	0.8H _{max}	1(2)	54.1	RD	508	0.59	0.88	0.35	1.89	0.22	3.2
2		AS-18H	Initial tangent	0.8H _{max}	1(2)	54.7	RD	464	0.61	1.41	0.36	2.06	0.33	3.9
3	Bayrak and Sheikh (1998)	AS-20H	Initial tangent	0.8H _{max}	1(2)	53.6	RD	464	0.60	2.04	0.42	2.04	0.57	5.4
1		ES-1HT	Initial tangent	0.8H _{max}	1(2)	72.1	R	463	0.50	1.13	0.27	1.43	0.28	4.6
2		AS-2HT	Initial tangent	0.8H _{max}	1(2)	71.7	RD	542	0.36	1.20	0.39	1.08	0.57	6.2
3		AS-3HT	Initial tangent	0.8H _{max}	1(2)	71.8	RD	542	0.50	1.20	0.39	1.42	0.43	5.0
4		AS-4HT	Initial tangent	0.8H _{max}	1(2)	71.9	RD	463	0.50	1.84	0.37	1.42	0.64	7.0
5		AS-5HT	Initial tangent	0.8H _{max}	1(2)	101.8	RD	484	0.48	1.19	0.39	1.32	0.47	4.0
6		AS-6HT	Initial tangent	0.8H _{max}	1(2)	101.9	RD	463	0.49	1.70	0.43	1.36	0.71	6.3
7		AS-7HT	Initial tangent	0.8H _{max}	1(2)	102.0	RD	542	0.48	0.81	0.38	1.32	0.31	3.1
8		ES-8HT	Initial tangent	0.8H _{max}	1(2)	102.2	R	463	0.50	1.08	0.31	1.40	0.32	3.6

ตารางที่ 3.3 ค่าอัตราส่วนหนึ่งต่อสองสิ่งที่ผล และความหนืดยาวยังการทดสอบตามตัวที่ได้จากเอกสารวิจัยต่างๆ
(สำหรับตัวอย่างแต่ละน้ำไปวิเคราะห์ความติดของจะทำแรงไว้ในช่อง No.)

No.	Researchers	Specimen name	Comments	Δ_y based on	Δ_u based on	Load history type	f_c^e (MPa)	Tie config.	f_{yh} (MPa)	P/P_o	$A_{sh}/A_{sh,ACI}$	k_e	γ_p	ρ_A	$\mu_{\Delta,rep.}$
1	Azizinamini et al. (1994)	D60-7-4-2-5/8-0.2P	0.75M _n	test	1(2)	53.7	R	454	0.20	1.37	0.32	1.00	0.58	7.0	
2		D60-7-3C-1-5/8-0.2P	0.75M _n	test	1(2)	50.8	RJ	495	0.20	1.81	0.56	1.00	1.34	8.0	
3		D60-15-4-2-5/8-0.2P	0.75M _n	test	1(2)	100.8	R	454	0.20	0.73	0.32	1.00	0.31	6.5	
4		D60-15-3C-1-5/8-0.2P	0.75M _n	test	1(2)	100.3	RJ	495	0.20	0.92	0.56	1.00	0.68	9.6	
5		D120-15-3C-2-5/8-0.2P	0.75M _n	test	1(2)	101.6	RJ	752	0.20	0.85	0.44	1.00	0.49	6.3	
6		D120-15-3C-1-5/8-0.2P	0.75M _n	test	1(2)	101.7	RJ	752	0.20	1.37	0.56	1.00	1.01	7.4	
7		D60-15-3C-1-5/8-0.3P	0.75M _n	test	1(2)	103.8	RJ	495	0.30	0.89	0.56	1.03	0.64	7.1	
1	Li (1994)	Unit 2	0.75M _n /L	0.8H _{max}	2(2)	98.0	RD	453	0.31	0.79	0.48	1.04	0.48	2.3	
2		Unit 4	0.75M _n /L	0.8H _{max}	1(2)	93.0	RD	453	0.62	1.18	0.57	2.20	0.41	1.1	
1	Xiao and Martirosyan (1998)	HC4-8L19-T10-0.1P	1st steel yield	test	1(3), 2(3)	76.0	RJ	510	0.09	1.36	0.47	1.00	0.86	8.0	
2		HC4-8L19-T10-0.2P	1st steel yield	test	1(3), 2(3)	76.0	RJ	510	0.19	1.36	0.47	1.00	0.85	8.0	
3		HC4-8L16-T10-0.1P	1st steel yield	test	1(3), 2(3)	86.0	RJ	510	0.10	1.20	0.47	1.00	0.75	8.0	
4		HC4-8L16-T10-0.2P	1st steel yield	test	1(3), 2(3)	86.0	RJ	510	0.20	1.20	0.47	1.00	0.75	6.0	

ตารางที่ 3.3 (ต่อ) ค่าอัตราส่วนแห่งป्रอессสิทธิ์ผล และความหนืดของเชิงการเคลื่อนตัวที่ได้จากเอกสารวิจัยต่างๆ
(สำหรับแต่ละสถาบันฯ ไปวิเคราะห์ความคงด้อย จะทำในเรื่องไว้ในช่อง No.)

No.	Researchers	Specimen name	Comments	Δ_y based on	Δ_u based on	Load history type	f_c^* (MPa)	Tie config.	f_{yh} (MPa)	P/P _o	$A_{sh}/A_{sh,ACI}$	k_e	γ_p	ρ_A	$\mu_{\Delta,rep.}$
1	Xiao and Yun (2002)	FHC1-0.2	1st steel yield	0.9V _{cc}	1%/(3), 2%/(3)	64.1	RJ	445	0.20	0.82	0.46	1.00	0.50	5.5	
2		FHC2-0.34	1st steel yield	0.9V _{cc}	1%/(3)	62.1	RJ	445	0.33	0.84	0.46	1.05	0.50	4.0	
3		FHC3-0.22	1st steel yield	0.9V _{cc}	1%/(3), 2%/(3)	62.1	RJ	524	0.22	0.80	0.41	1.01	0.44	4.3	
4		FHC4-0.33	1st steel yield	0.9V _{cc}	1%/(3)	62.1	RJ	525	0.32	0.80	0.41	1.04	0.42	3.8	
5		FHC5-0.2	1st steel yield	0.9V _{cc}	1%/(3), 2%/(3)	64.1	RJ	445	0.20	0.55	0.38	1.00	0.27	4.4	
6		FHC6-0.2	1st steel yield	0.9V _{cc}	1%/(3), 2%/(3)	64.1	RJ	524	0.20	0.64	0.38	1.00	0.32	4.6	
4	Ahn et al. (2000)	H3-20-3N	initial tangent	0.8H _{max}	1(3), 1(1)	52.0	R	406	0.30	0.61	0.47	1.03	0.37	2.8	
6		H3-37-3N	initial tangent	0.8H _{max}	1(3), 1(1)	52.0	RO	406	0.30	0.56	0.60	1.03	0.43	3.0	
7	Ahn et al. (2000)	H3-37-5N	initial tangent	0.8H _{max}	1(3), 1(1)	52.0	RO	406	0.51	0.56	0.60	1.43	0.31	2.4	
12		U3-20-3N	initial tangent	0.8H _{max}	1(3), 1(1)	59.0	R	406	0.31	0.54	0.47	1.04	0.32	2.8	
14	Ahn et al. (2000)	U3-37-3N	initial tangent	0.8H _{max}	1(3), 1(1)	59.0	RO	406	0.31	0.50	0.60	1.04	0.38	3.5	
15		U3-37-5N	initial tangent	0.8H _{max}	1(3), 1(1)	70.0	RO	406	0.53	0.42	0.60	1.53	0.22	2.7	

ตารางที่ 3.3 (ต่อ) ค่าอัตราส่วนเหตุการณ์ประตีพธิผล แต่ละความหนาเย็บซึ่งการเคลื่อนตัวที่ได้จากเอกสารวิจัยทางฯ (สำหรับตัวอย่าง实验ที่นำไปวิเคราะห์ความคงอยู่ จะทำแรงไวนช์ของ No.)

No.	Researchers	Specimen name	Comments		Load history type	f_c (MPa)	Tie config.	f_{vh} (MPa)	P/P_o	$A_{sh}/A_{sh,ACI}$	k_e	γ_P	ρ_A	$\mu_{\Delta,rep.}$
			Δ_y based on	Δ_u based on										
1	Paultre and Legeron (2000)	C100B60N15	0.75H' ^{max}	0.80H' ^{max}	1(2)	92.4	RD	391	0.15	1.03	0.47	1.00	0.64	8.8
2		C100B60N25	0.75H' ^{max}	0.80H' ^{max}	1(2)	93.3	RD	391	0.30	1.02	0.47	1.03	0.62	8.2
3		C100B60N40	0.75H' ^{max}	0.80H' ^{max}	1(2)	98.2	RD	418	0.42	1.04	0.47	1.18	0.55	5.2
4		C100B130N15	0.75H' ^{max}	0.80H' ^{max}	1(2)	94.8	RD	391	0.15	0.46	0.32	1.00	0.20	4.4
5	Paultre et al. (2001)	C100B130N25	0.75H' ^{max}	0.80H' ^{max}	1(2)	97.7	RD	391	0.28	0.45	0.32	1.02	0.19	2.3
6		C100B130N40	0.75H' ^{max}	0.80H' ^{max}	1(2)	104.3	RD	418	0.40	0.45	0.32	1.13	0.17	1.6
1		C80B60N40	0.75H' ^{max}	0.80H' ^{max}	1(2)	78.7	RD	438	0.41	1.36	0.47	1.16	0.73	10.1
2		C120B60N40	0.75H' ^{max}	0.80H' ^{max}	1(2)	109.2	RD	438	0.45	0.98	0.47	1.23	0.49	4.7
3	Ho and Pam (2003)	C100BH55N40	0.75H' ^{max}	0.80H' ^{max}	1(2)	109.5	RD	825	0.38	1.41	0.49	1.11	0.83	5.4
4		C100BH80N40	0.75H' ^{max}	0.80H' ^{max}	1(2)	104.2	RD	825	0.40	1.02	0.40	1.13	0.48	2.6
5		C100BH55N52	0.75H' ^{max}	0.80H' ^{max}	1(2)	104.5	RD	744	0.57	1.33	0.49	1.78	0.49	2.8
6		C100B60N52	0.75H' ^{max}	0.80H' ^{max}	1(2)	109.4	RD	492	0.55	1.10	0.47	1.63	0.42	3.6
1		BS-80-01-09-R6	0.75M _{max}	0.8M _{max}	1(2)	72.6	R (90)	378	0.15	0.12	0.26	1.00	0.04	3.2
2		BS-80-01-09-R8	0.75M _{max}	0.8M _{max}	1(2)	74.6	R (90)	362	0.14	0.11	0.20	1.00	0.03	2.7
3		BS-80-01-09-R10	0.75M _{max}	0.8M _{max}	1(2)	72.4	R (90)	344	0.14	0.13	0.18	1.00	0.03	2.7
4		NEW-80-01-09-R12	0.75M _{max}	0.8M _{max}	1(2)	77.8	R	339	0.13	0.45	0.29	1.00	0.17	3.7

ตารางที่ 3.3 (ต่อ) ค่าอัตราส่วนหนึ่งของประสิทธิผล และความหนาแน่นของเชิงโครงสร้างเคลื่อนตัวที่ได้จากเอกสารที่ 7
(สำหรับตัวอย่างสามที่น้ำไปวิเคราะห์ความคงอยู่ จะทำแรงงานไว้ในช่อง No.)

No.	Researchers	Specimen name	Load history type	f_c (MPa)	δ_y (%)	$\mu_{\Delta,env.}$	δ_r (%)	ξ_{eq} (%)	$k_{eff,N}$	E_N
1	Muguruma et al. (1989)	AH-1	2(2), 2(1)	85.7	0.51	14.2	4.34	26.08	0.06	86.17
2		AL-2	1(2), 1(1)	85.7	0.51	4.0	0.56	22.37	0.29	11.99
3		AH-2	1(2), 1(1)	85.7	0.55	8.6	3.34	31.93	0.10	69.04
4		BH-1	2(2), 2(1)	115.8	0.56	12.1	2.94	22.23	0.08	71.80
5		BH-2	2(2), 2(1)	115.8	0.54	10.5	3.86	26.86	0.07	63.35
1	Sakai et al. (1990)	B1	*2(2)	99.6	0.63	3.3	0.98	22.77	0.30	7.73
2		B2	*2(2)	99.6	0.64	6.2	0.64	17.05	0.30	10.33
3		B3	*2(2)	99.6	0.64	2.4	0.22	12.33	0.56	3.13
4		B4	*2(2)	99.6	0.63	4.8	0.99	21.77	0.26	11.22
5		B7	*2(2)	99.6	0.47	2.5	0.36	19.95	0.46	3.53
1	Bayrak and Sheikh (1998)	ES-1HT	1(2)	72.1	0.35	4.5	1.27	31.27	0.14	21.70
3		AS-3HT	1(2)	71.8	0.33	4.7	0.84	24.09	0.17	13.88
4		AS-4HT	1(2)	71.9	0.36	6.2	1.02	22.04	0.14	23.84
7		AS-7HT	1(2)	102.0	0.41	3.0	0.38	18.04	0.30	4.96
8		ES-8HT	1(2)	102.2	0.35	3.3	0.29	14.47	0.29	6.91
2		C3	0.5%(2)	81.8	0.34	6.6	0.75	20.56	0.13	32.72
3		D1	0.5%(2)	75.8	0.35	7.5	2.01	27.78	0.09	59.54
4		D2	0.5%(2)	87.0	0.38	6.2	1.07	23.70	0.13	38.01
5		D3	0.5%(2)	71.3	0.41	5.6	0.95	21.91	0.14	31.70

ตารางที่ 3.4 ค่าความหนืดและการเคลื่อนทัว และตัวแปรพารามิตต่างๆ
(สำหรับตัวอย่างเสาที่นำไปวิเคราะห์ความคงอยู่ 被淘汰เรงานี้ไว้ในช่อง No.)

No.	Researchers	Specimen name	Load history type	f_c (MPa)	δ_y (%)	$\mu_{\Delta,env.}$	δ_r (%)	ξ_{eq} (%)	$k_{eff,N}$	E_N
1	Xiao and Martirossyan (1998)	HC4-8L19-T10-0.1P	1(3), 2(3)	76.0	0.75	12.5	7.08	31.49	0.07	111.15
			C10-05N	69.7	1.10	5.4	2.77	19.32	0.18	17.54
		C10-05S	1%(2)	69.7	1.20	5.0	0.98	11.30	0.35	5.81
		C10-10N	1%(2)	67.8	0.93	7.0	3.45	24.43	0.12	35.82
		C10-10S	1%(2)	67.8	1.28	5.0	0.17	5.70	0.59	1.67
		C10-20N	1%(2)	65.5	0.93	5.8	1.40	17.53	0.15	16.27
		C10-20S	1%(2)	65.5	1.01	5.4	1.42	17.66	0.17	15.17
		C100B60N15	1(2)	92.4	0.63	12.5	4.38	25.56	0.07	66.89
		C100B60N25	1(2)	93.3	0.86	5.9	1.10	15.42	0.16	13.71
		C100B60N40	1(2)	98.2	0.86	4.4	1.89	20.61	0.15	14.95
2	Paultre and Legeron (2000)	C100B130N15	1(2)	94.8	0.62	7.5	2.18	22.48	0.11	22.79
		C100B130N25	1(2)	97.7	0.89	2.7	0.47	13.92	0.32	3.88
		C100B130N40	1(2)	104.3	0.84	2.3	0.29	13.17	0.54	1.80
		C120B60N40	1(2)	109.2	0.95	5.9	3.20	23.58	0.13	22.10
		C100BH55N40	1(2)	109.5	0.86	7.4	2.37	20.45	0.13	24.27
		C100BH80N40	1(2)	104.2	0.90	3.3	0.58	14.23	0.31	4.32
3	Paultre et al. (2001)	C100BH55N52	1(2)	104.5	0.82	3.9	1.33	21.42	0.22	10.08
		C100B60N52	1(2)	109.4	0.89	4.4	1.10	17.87	0.23	11.15

ตารางที่ 3.4 (ต่อ) ก้าวความหนาเชิงการทดสอบตัว และตัวแปรพหุตัวร่วมต่างๆ

(สำหรับตัวอย่างเตาที่นำไปวิเคราะห์ความถดถอย จะทำเรื่องไว้ในช่อง No.)

No.	Researchers	Specimen name	f_c (MPa)	b (and h) (mm)	ρ_l (%)	f_y (MPa)	$P/f_c A_g$	P/P_o	H_{max} (kN)	$M_{n,ACI}/L$ (kN)	$H_{max} / (M_{n,ACI}/L)$
1	Muguruma et al. (1989)	AH-1	85.7	200	2.5	3.80	400	0.40	243.7	193.3	1.26
2		AL-2	85.7	200	2.5	3.80	400	0.63	231.1	168.1	1.37
3		AH-2	85.7	200	2.5	3.80	400	0.63	244.5	168.1	1.45
4		BH-1	115.8	200	2.5	3.80	400	0.25	250.6	232.7	1.08
5		BH-2	115.8	200	2.5	3.80	400	0.42	0.45	287.2	241.8
1		B1	99.6	250	2.0	2.43	379	0.35	0.38	402.4	376.8
2		B2	99.6	250	2.0	2.43	379	0.35	0.38	408.6	376.8
3		B3	99.6	250	2.0	2.43	379	0.35	0.38	423.3	376.2
4	Sakai et al. (1990)	B4	99.6	250	2.0	2.43	379	0.35	0.38	394.2	376.8
5		B7	99.6	250	2.0	1.83	339	0.35	0.39	375.9	366.5
1		AS-3H	54.1	305	6.0	2.45	508	0.62	0.59	118.6	113.4
2		AS-18H	54.7	305	6.0	2.45	508	0.64	0.61	124.3	111.3
3		AS-20H	53.6	305	6.0	2.45	508	0.64	0.60	139.0	110.1
1		ES-1HT	72.1	305	6.0	2.58	454	0.50	0.50	140.1	147.9
2		AS-2HT	71.7	305	6.0	2.58	454	0.36	0.36	149.1	154.1
3		AS-3HT	71.8	305	6.0	2.58	454	0.50	0.50	145.4	148.2
4	Sheikh et al. (1994)	AS-4HT	71.9	305	6.0	2.58	454	0.50	0.50	142.4	147.6
5		AS-5HT	101.8	305	6.0	2.58	454	0.45	0.48	190.7	198.4
6		AS-6HT	101.9	305	6.0	2.58	454	0.46	0.49	183.3	198.0
7		AS-7HT	102.0	305	6.0	2.58	454	0.45	0.48	164.4	199.7
8		ES-8HT	102.2	305	6.0	2.58	454	0.47	0.50	172.4	197.8
											0.87

ตารางที่ 3.5 ค่าความสามารถของกำลังตัดในการรับแรงด้านซี่ง (flexural capacity) ที่คำนวณได้ตามข้อมูลงาน ACI 318-99

No.	Researchers	Specimen name	f_c^c (MPa)	b (and h) (mm)	L/h	ρ_l (%)	f_y (MPa)	$P/f_c A_g$	P/P_o	H_{max} (kN)	$M_{n,ACI} / L$ (kN)	$H_{max} / (M_{n,ACI} / L)$
1	Li (1994)	Unit 2	98.0	350	4.6	2.95	446	0.30	0.31	293.3	334.8	0.88
2		Unit 4	93.0	350	4.6	2.95	446	0.60	0.62	226.3	292.9	0.77
1	Thomsen and Wallace (1994)	C2	74.6	152	3.9	2.45	476	0.10	0.10	49.1	44.7	1.10
2		C3	81.8	152	3.9	2.45	476	0.20	0.21	56.4	57.6	0.98
3		D1	75.8	152	3.9	2.45	476	0.20	0.20	56.5	54.8	1.03
4	Xiao and Martirosyan (1998)	D2	87.0	152	3.9	2.45	476	0.20	0.21	60.9	60.0	1.02
5		D3	71.3	152	3.9	2.45	476	0.20	0.20	52.7	52.7	1.00
1		HC4-8L19-T10-0.1P	76.0	254	2.0	3.55	510	0.10	0.09	316.3	306.4	1.03
2	(1998)	HC4-8L19-T10-0.2P	76.0	254	2.0	3.55	510	0.20	0.19	371.7	355.1	1.05
3		HC4-8L16-T10-0.1P	86.0	254	2.0	2.46	510	0.10	0.10	263.0	268.0	0.98
4		HC4-8L16-T10-0.2P	86.0	254	2.0	2.46	510	0.19	0.20	315.2	327.8	0.96
1	Xiao and Yun (2002)	FHC1-0.2	64.1	510	3.5	2.54	469	0.20	0.20	755.0	626.3	1.21
2		FHC2-0.34	62.1	510	3.5	2.54	469	0.33	0.33	874.0	662.3	1.32
3		FHC3-0.22	62.1	510	3.5	2.54	469	0.22	0.22	783.0	637.6	1.23
4		FHC4-0.33	62.1	510	3.5	2.54	469	0.32	0.32	879.0	662.5	1.33
5		FHC5-0.2	64.1	510	3.5	2.54	469	0.20	0.20	769.0	626.3	1.23
6		FHC6-0.2	64.1	510	3.5	2.54	469	0.20	0.20	766.0	626.3	1.22
1	Matamoros (1999)	C10-05N	69.7	203	3.0	1.92	586	0.05	0.05	67.7	72.8	0.93
2		C10-05S	69.7	203	3.0	1.92	586	0.05	0.05	66.4	72.4	0.92
3		C10-10N	67.8	203	3.0	1.92	572	0.10	0.10	94.4	92.6	1.02

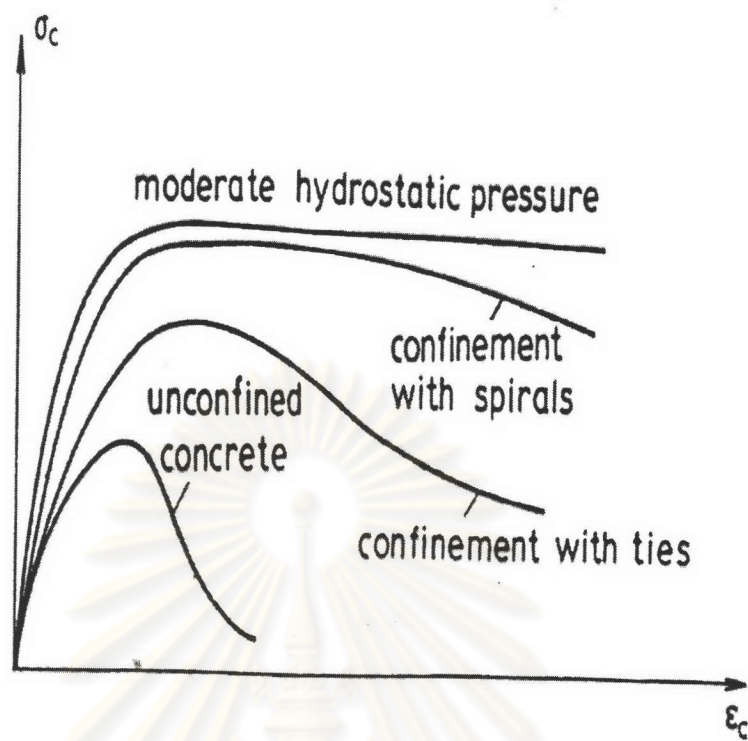
ตารางที่ 3.5 (ต่อ) ค่าความถาวรของกำลังต้านทานในการรับแรงด้านหน้า (flexural capacity) ที่คำนวณได้ตามข้อมูลกำหนด ACI 318-99

No.	Researchers	Specimen name	f_c (MPa)	b (and h) (mm)	ρ_l (%)	f_y (MPa)	$P/f_c A_g$	P/P_o	H_{max} (kN)	$M_{n,ACI}/L$ (kN)	$H_{max}/(M_{n,ACI}/L)$
4	Matamoros (1999)	C10-10S	67.8	203	3.0	1.92	573	0.10	93.5	92.7	1.01
5		C10-20N	65.5	203	3.0	1.92	572	0.21	104.3	120.1	0.87
6		C10-20S	65.5	203	3.0	1.92	573	0.21	102.3	109.3	0.94
4	Ahn et al. (2000)	H3-20-3N	52.0	240	2.1	1.48	525	0.30	0.30	244.0	177.5
6		H3-37-3N	52.0	240	2.1	1.48	525	0.30	0.30	219.5	177.5
7		H3-37-5N	52.0	240	2.1	1.48	525	0.50	0.51	278.5	178.7
12		U3-20-3N	59.0	240	2.1	1.48	525	0.30	0.31	244.0	194.5
14		U3-37-3N	59.0	240	2.1	1.48	525	0.30	0.31	251.0	194.5
15		U3-37-5N	70.0	240	2.1	1.48	525	0.50	0.53	299.0	229.6
1		C100B60N15	92.4	305	6.6	2.15	468	0.14	0.15	118.9	125.2
2		C100B60N25	93.3	305	6.6	2.15	456	0.28	0.30	154.2	163.2
3	Paultre and Legeron (2000)	C100B60N40	98.2	305	6.6	2.15	457	0.39	0.42	178.3	174.1
4		C100B130N15	94.8	305	6.6	2.15	468	0.14	0.15	108.0	126.1
5		C100B130N25	97.7	305	6.6	2.15	456	0.26	0.28	160.0	167.0
6		C100B130N40	104.3	305	6.6	2.15	457	0.37	0.40	172.9	182.8
1		C80B60N40	78.7	305	6.6	2.15	467	0.40	0.41	168.1	145.9
2		C120B60N40	109.2	305	6.6	2.15	467	0.41	0.45	198.1	190.8
3	Paultre et al. (2001)	C100BH55N40	109.5	305	6.6	2.15	467	0.35	0.38	189.2	191.1
4		C100BH80N40	104.2	305	6.6	2.15	467	0.37	0.40	193.6	183.9
5		C100BH55N52	104.5	305	6.6	2.15	481	0.53	0.57	193.9	177.0
6		C100B60N52	109.4	305	6.6	2.15	481	0.51	0.55	208.4	186.5

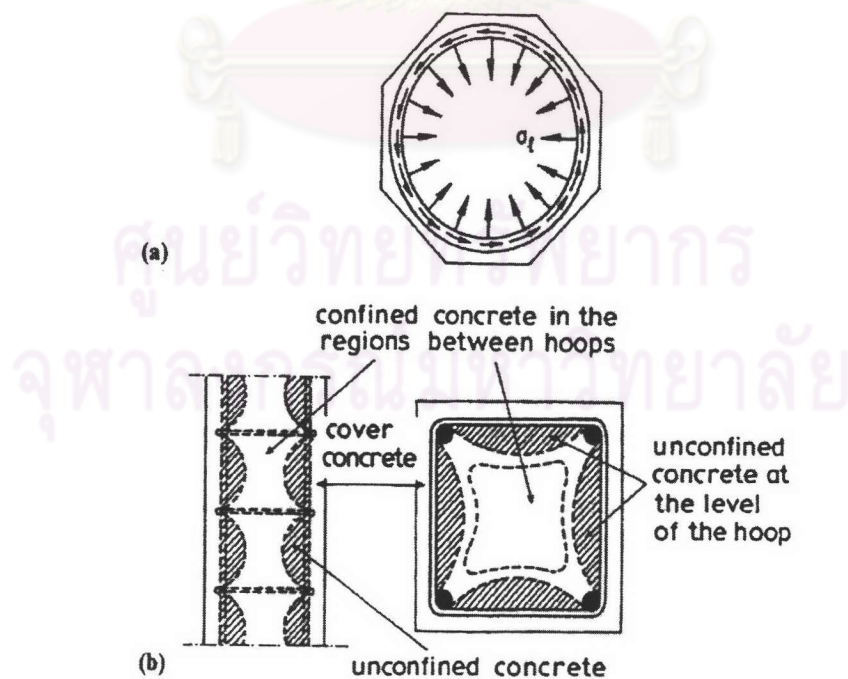
ตารางที่ 3.5 (ต่อ) ค่าความถาวรของกำลังต้านในการรับแรงด้านข้าง (flexural capacity) ที่คำนวณได้ตามที่ขอกำหนด ACI 318-99

No.	Researchers	Specimen name	Comments	f_c^c (MPa)	L/h	H_{max} (kN)	$\mu_{\Delta, rep.}$	$H_{max} / V_{ASCE/ACI}$	H_{max} / V_{ACI}	$H_{max} / V_{Priestley}$	H_{max} / V_{Xiao}	
5	Xiao and Martirossyan (1998)	HC4-8L16-T6-0.1P	1st steel yield	test	86.0	2.0	268.5	8.9	0.79	0.84	0.73	0.78
6		HC4-8L16-T6-0.2P	1st steel yield	test	86.0	2.0	317.9	6.8	0.83	0.87	0.77	0.87
1		H1-60-5N	initial tangent	0.8H _{max}	52.0	2.1	250.5	1.5	1.04	1.08	1.44	1.29
2		H2-30-3N	initial tangent	0.8H _{max}	52.0	2.1	228.0	2.2	0.86	0.86	0.79	0.75
3		H2-30-5N	initial tangent	0.8H _{max}	52.0	2.1	248.5	1.8	0.79	0.81	1.32	1.19
5	Ahn et al. (2000)	H3-20-5N	initial tangent	0.8H _{max}	52.0	2.1	275.5	1.9	0.71	0.73	1.35	1.24
8		U1-60-3N	initial tangent	0.8H _{max}	62.0	2.1	275.0	2.6	1.31	1.28	1.10	1.09
9		U1-60-5N	initial tangent	0.8H _{max}	59.0	2.1	291.0	1.3	1.12	1.13	1.70	1.51
10		U2-30-3N	initial tangent	0.8H _{max}	59.0	2.1	247.5	2.3	0.89	0.88	0.82	0.79
11		U2-30-5N	initial tangent	0.8H _{max}	70.0	2.1	276.5	1.7	0.76	0.74	1.44	1.28

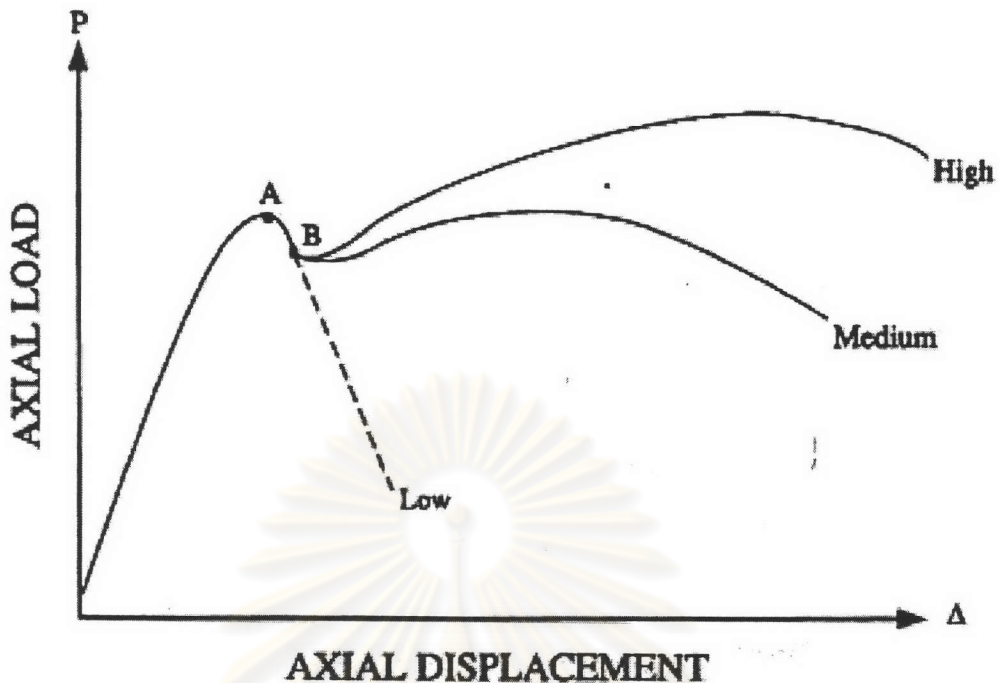
ตารางที่ 3.6 ค่ากำลังรับแรงเฉือน (shear strength) ที่คำนวณได้โดยสมการต่างๆ



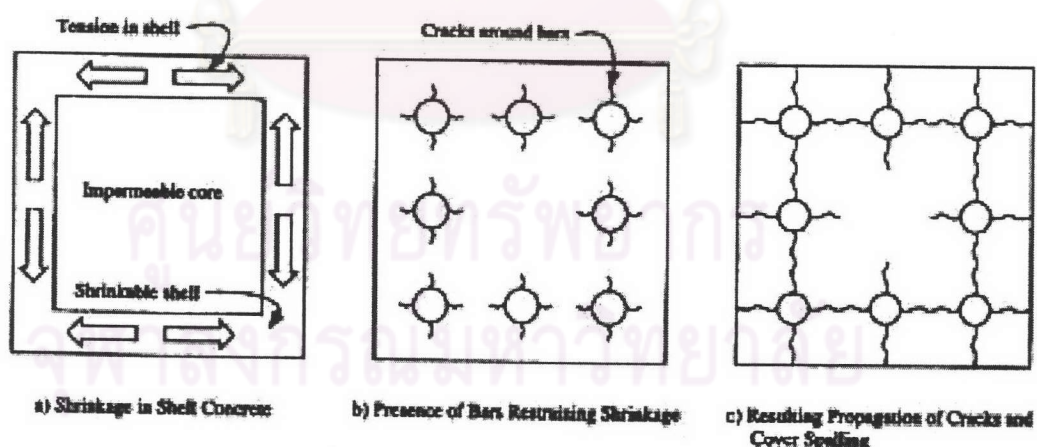
รูปที่ 2.1 อิทธิพลของการ โอบรัดชนิดต่าง ๆ ต่อพฤติกรรมความเค้น-ความเครียด
(Penelis and Kappos [1997])



รูปที่ 2.2 ชนิดของการ โอบรัด (Penelis and Kappos [1997])

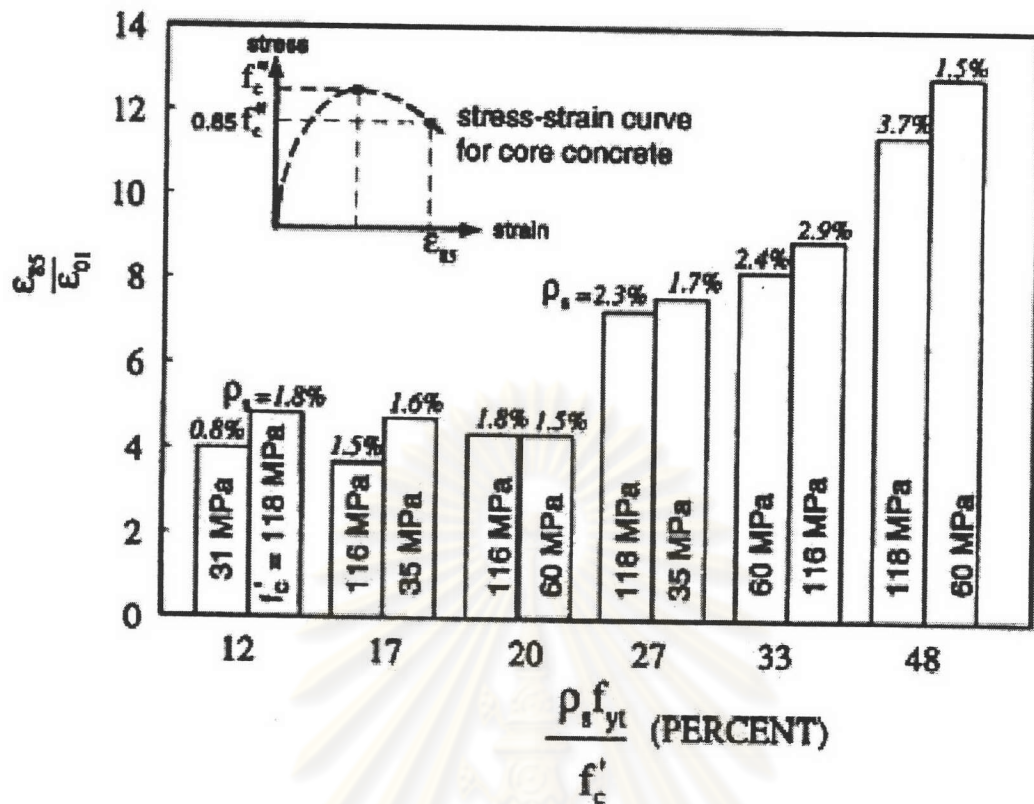


รูปที่ 2.3 ความสัมพันธ์ของแรงตามแนวแกนและการหดตัวของเสากองกรีตกำลังสูง
(ACI – ASCE Committee 441 [1997])

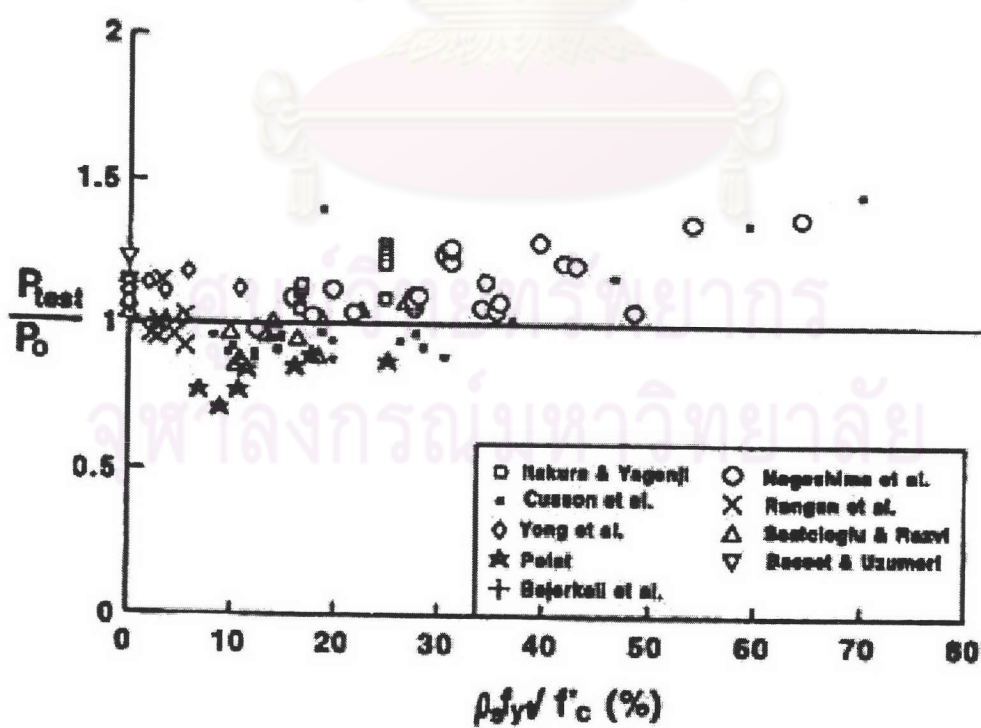


รูปที่ 2.4 กลไกการกระเทาะออกของกองกรีตหุ้ม

(ACI – ASCE Committee 441 [1997])

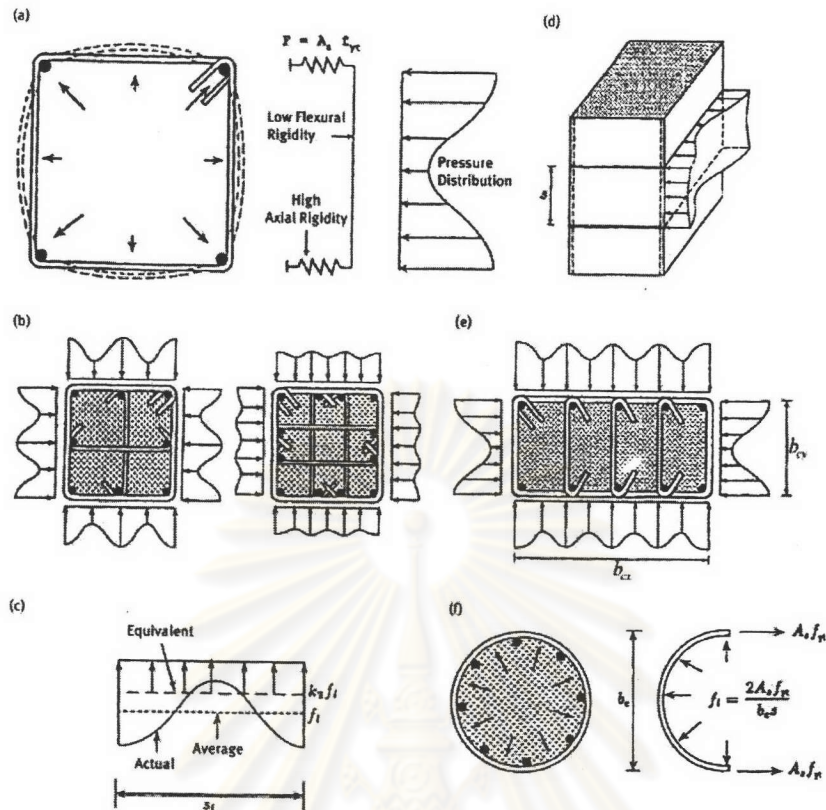


รูปที่ 2.5 ผลของเหล็กปลอกต่อความหนืดตามแนวแกนของเสากองกรีตกำลังสูง
(ACI – ASCE Committee 441 [1997])

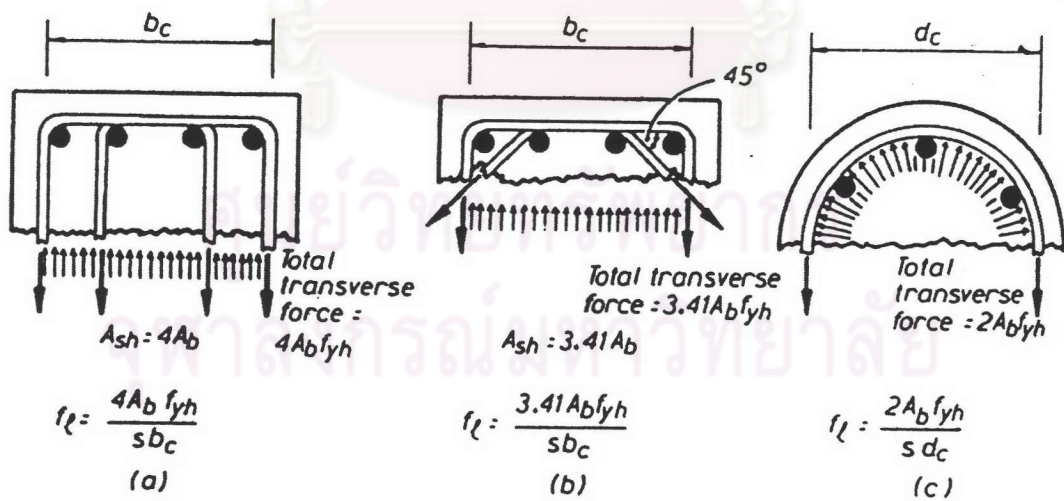


รูปที่ 2.6 ผลของเหล็กปลอกต่อกำลังอัดของกองกรีตกำลังสูง

(ACI – ASCE Committee 441 [1997])

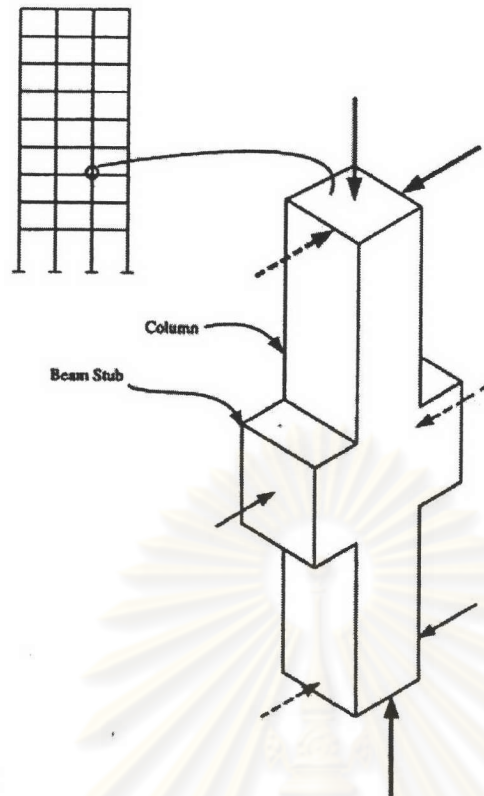


รูปที่ 2.7 ผลของการจัดเรียงเหล็กปลอกต่อการกระจายหน่วยแรง โดยรัศมี
(Saatcioglu and Razvi [2002])



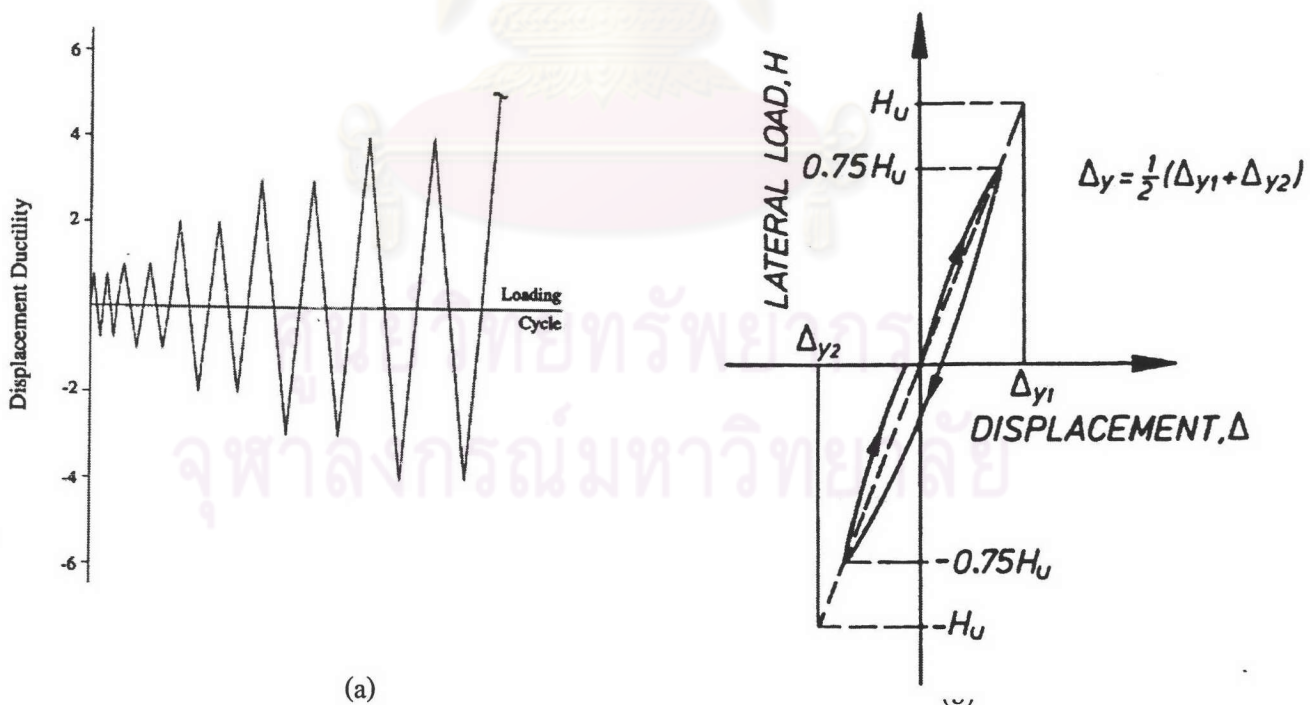
รูปที่ 2.8 สมดุลย์ของแรงดัน โดยรัศมีต่อแกนคอนกรีต

(Watson et al. [1994])



รูปที่ 2.9 ตัวอย่างเสาทดสอบในห้องปฏิบัติการ

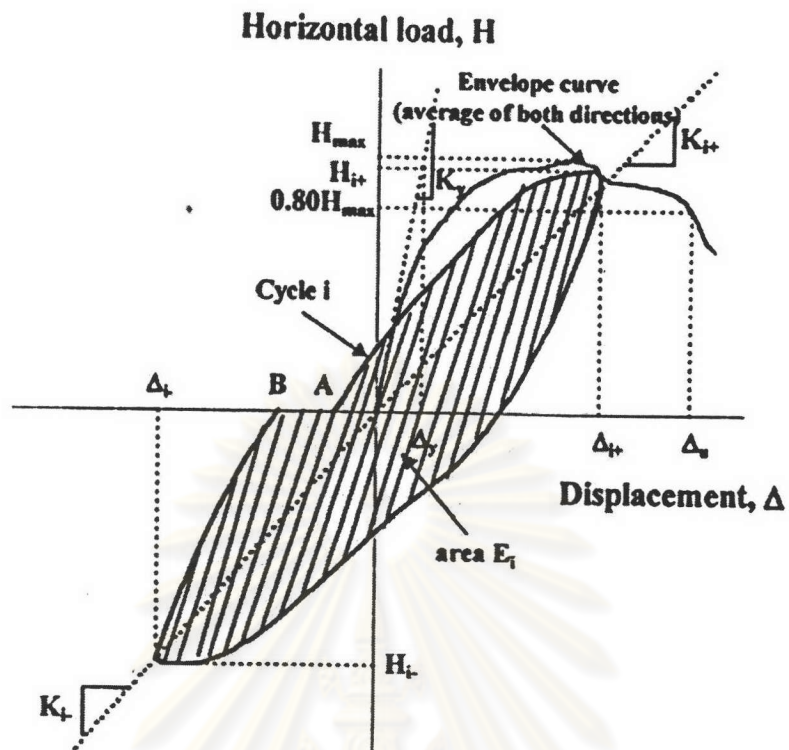
(ACI – ASCE Committee 441 [1997])



(ACI – ASCE Committee 441 [1997])

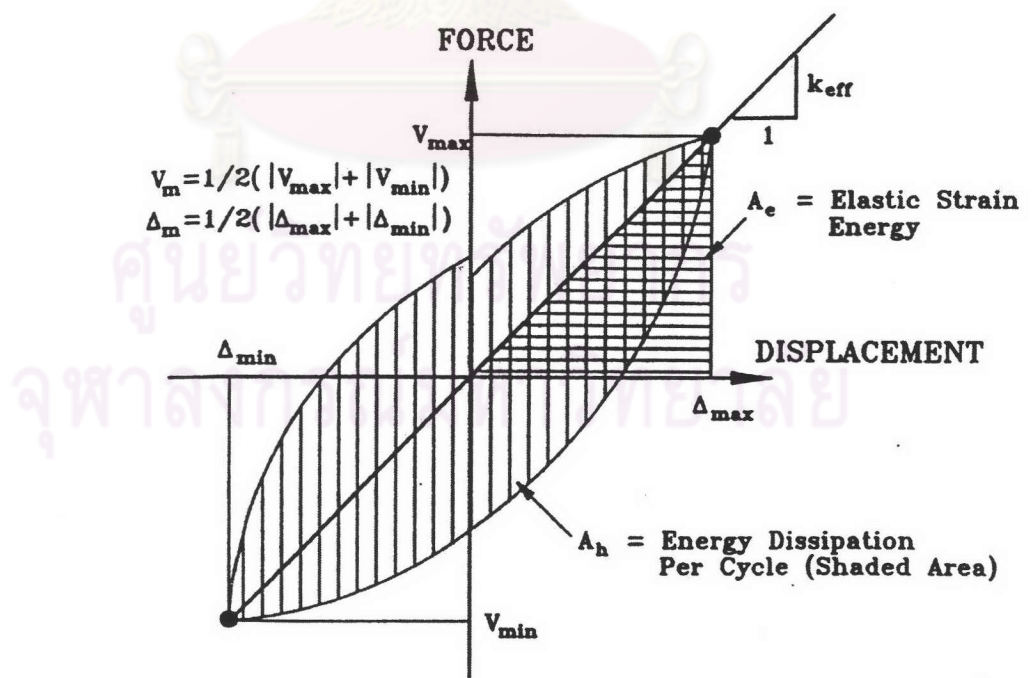
(Watson and Park [1994])

รูปที่ 2.10 ประวัติการให้แรงกระทำต่อเสาทดสอบ



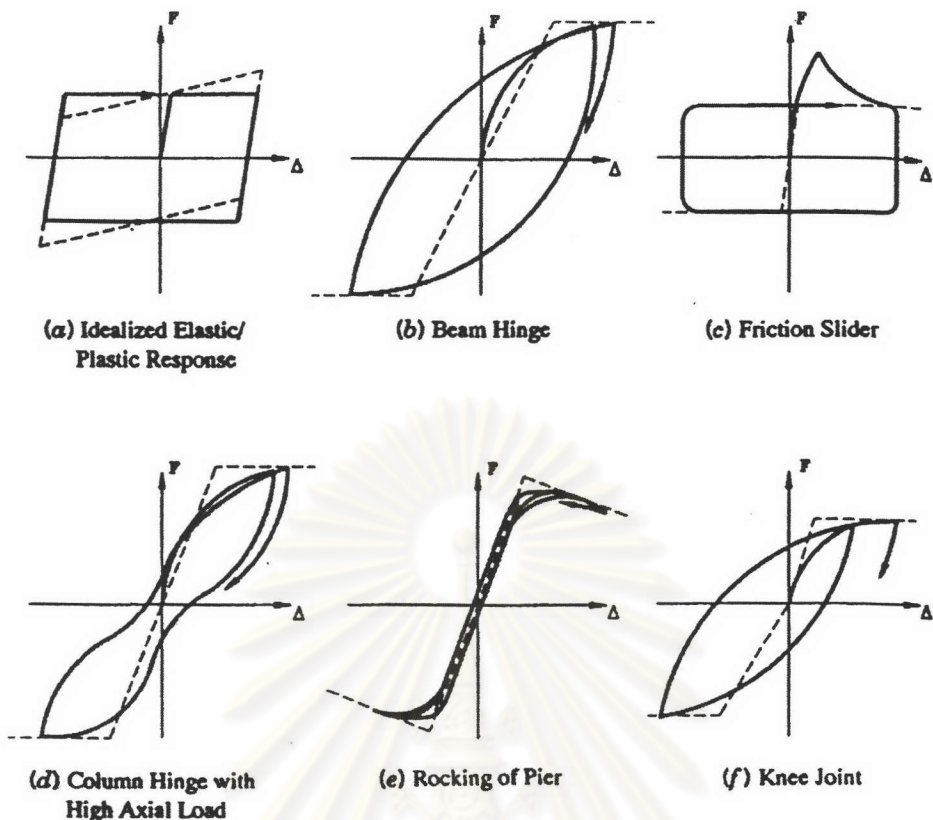
รูปที่ 2.11 วิธีการประเมินค่าความหนืดยิวเชิงการเคลื่อนตัว

(Lukkunaprasit and Thepmangkorn [2004])

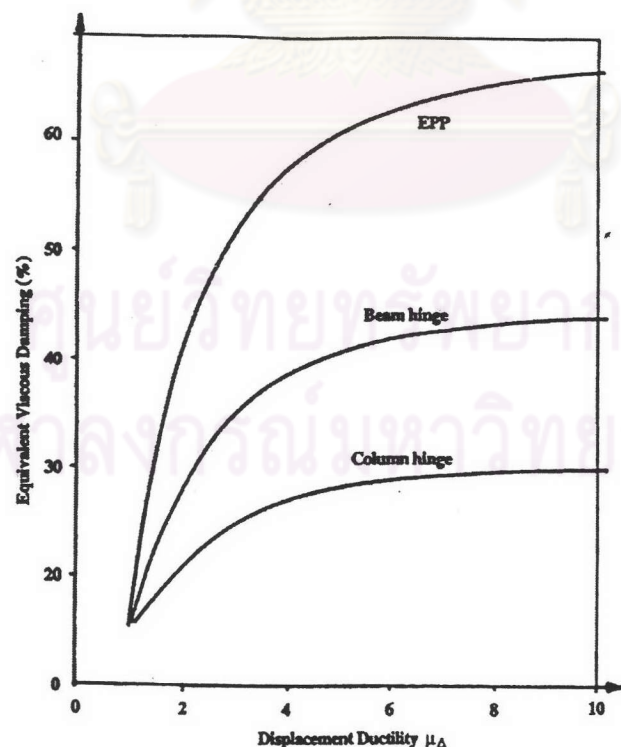


รูปที่ 2.12 อัตราส่วนความหน่วงเชิงหนึดเทียบเท่า

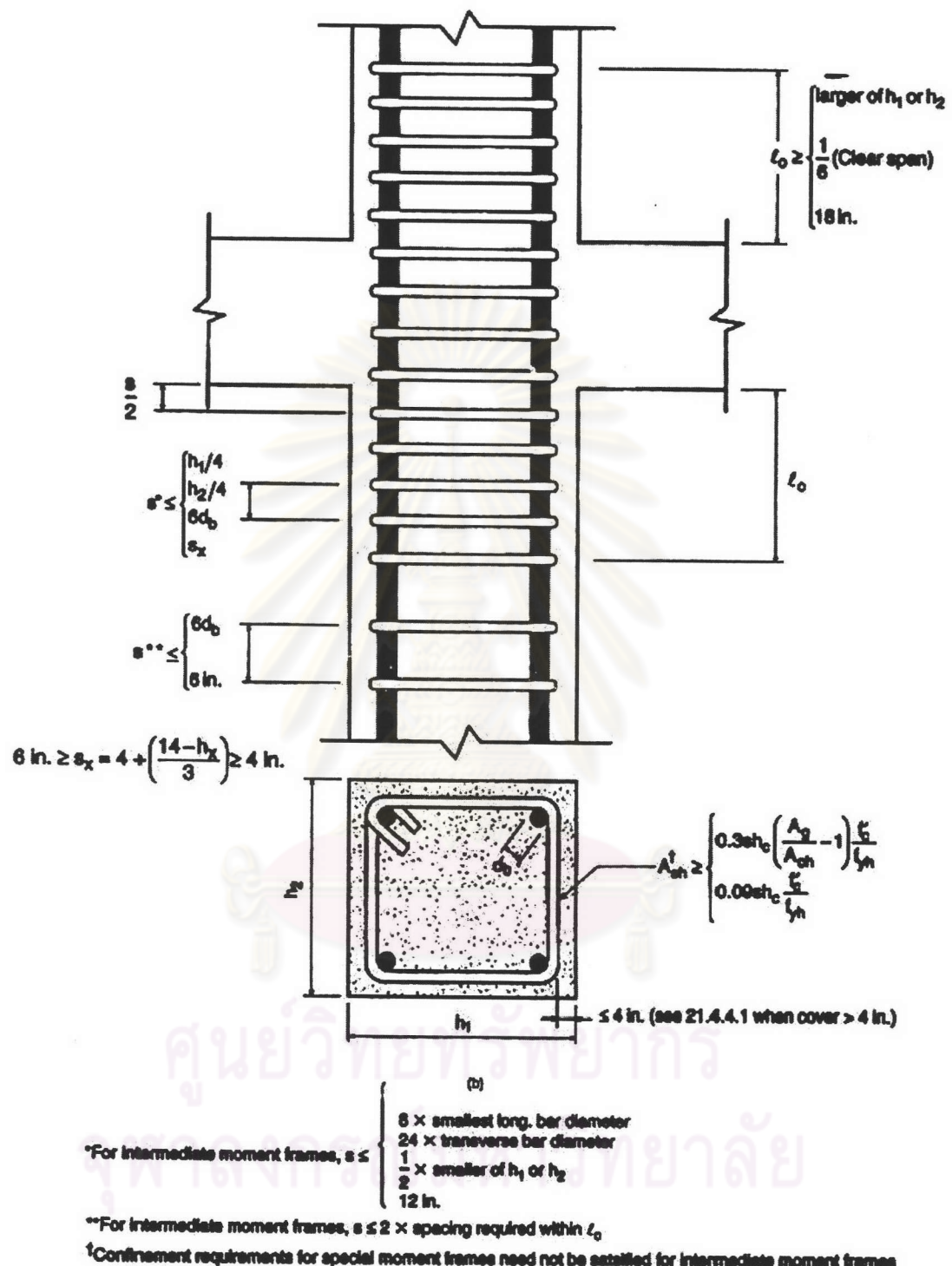
(Priestley et al. [1996])



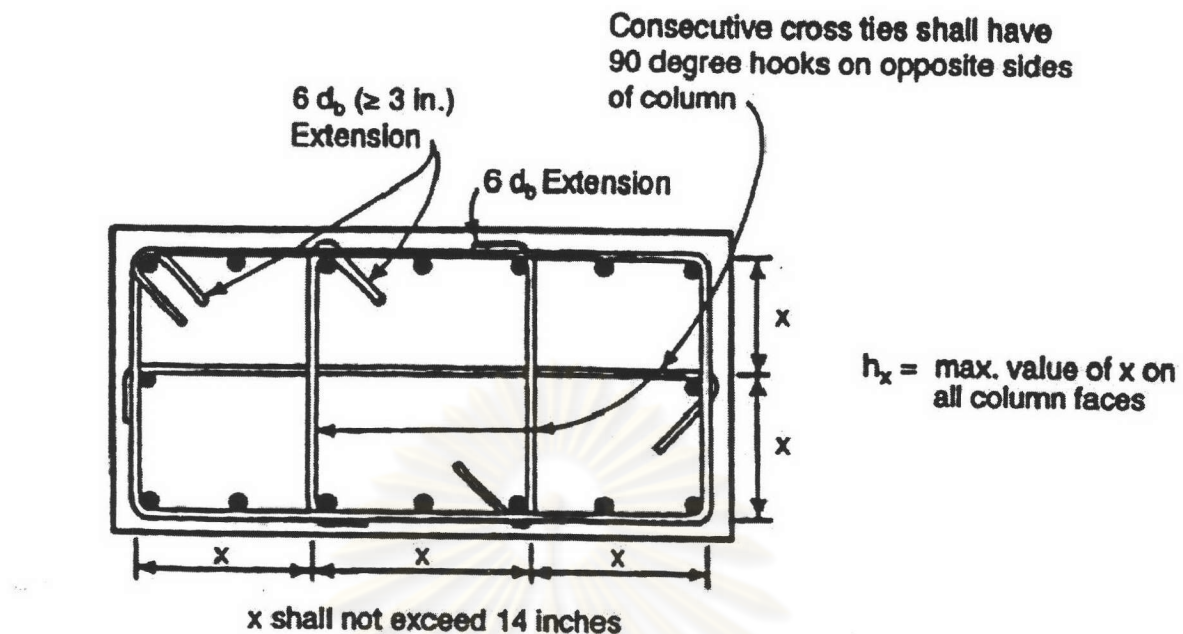
รูปที่ 2.13 วงรอบอิสเทียรีชิสของส่วนโครงสร้างต่างๆ (Priestley et al [1996])



รูปที่ 2.14 ความสัมพันธ์ระหว่างความเหนียวกับอัตราส่วนความหน่วง (Priestley [1997])

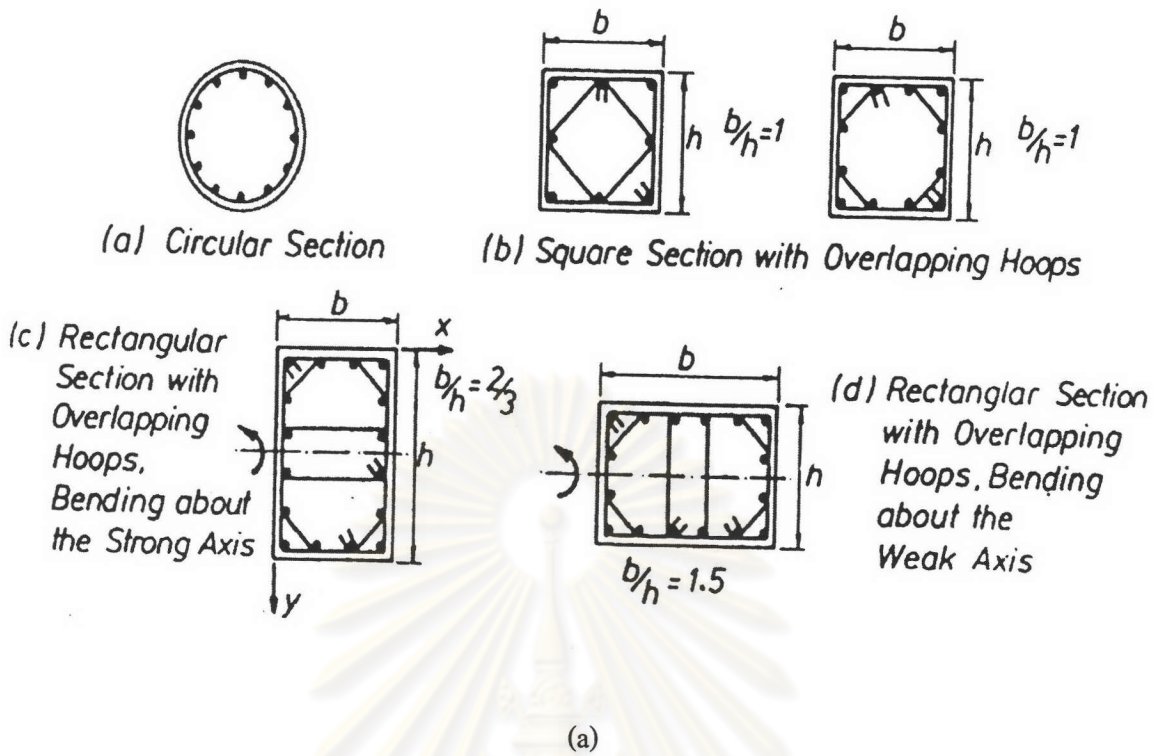


รูปที่ 2.15 การให้รายละเอียดเหล็กปลอกตามความยาวของเสาตามข้อกำหนด ACI
(PCA)



รูปที่ 2.16 การให้รายละเอียดเหล็กปลอกในหน้าตัดเสาตามข้อกำหนด ACI (PCA)

ศูนย์วิทยทรัพยากร
จุฬาลงกรณ์มหาวิทยาลัย



Parameter (1)	Range (2)
ϕ_u/ϕ_y	10-20
$P/f'_c A_g$	0.2-0.7
f'_c [MPa (psi)]	20-40 (2,900-5,800)
$\rho_t m$	0.1-0.4
c/h	0.02-0.08
c/D	0.06

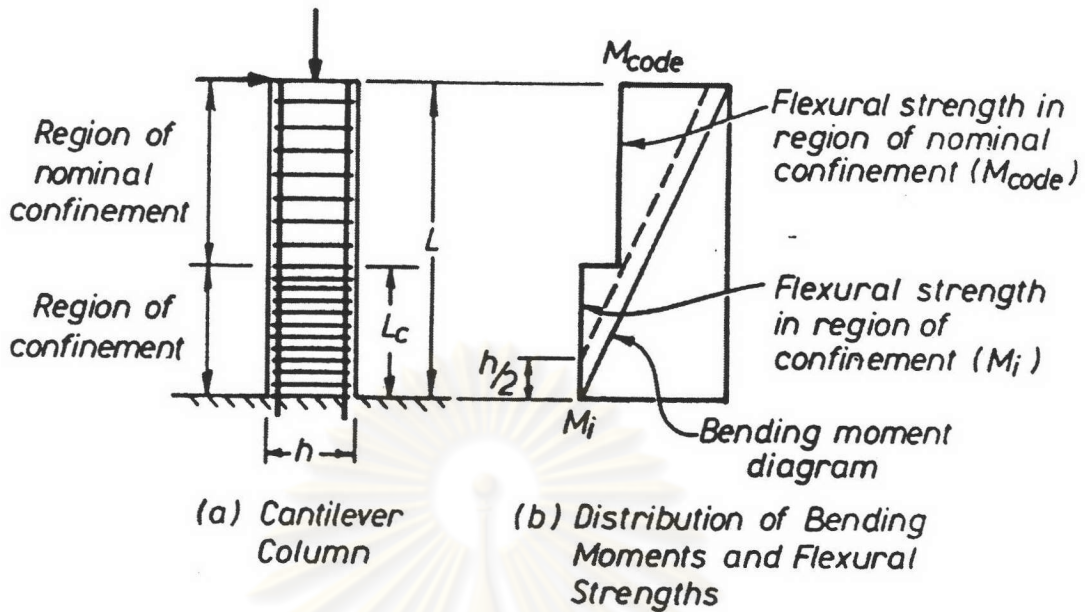
จุฬาลงกรณ์มหาวิทยาลัย

(b)

รูปที่ 2.17 ตัวอย่างเส้าที่ใช้ในการพัฒนาสมการออกแบบเหล็กปลอกของ Watson, Zahn และ

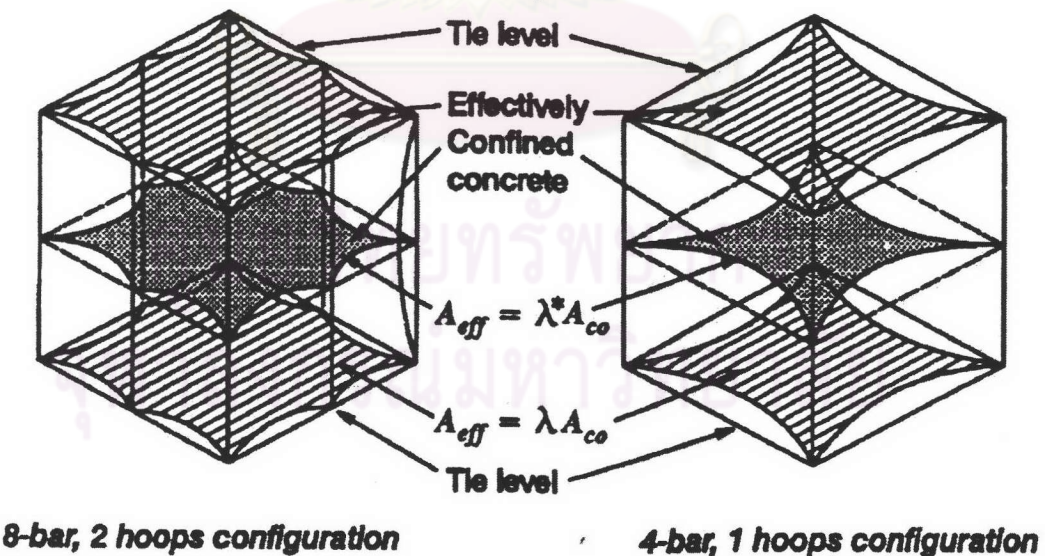
Park [1994]

(Watson et al. [1994])



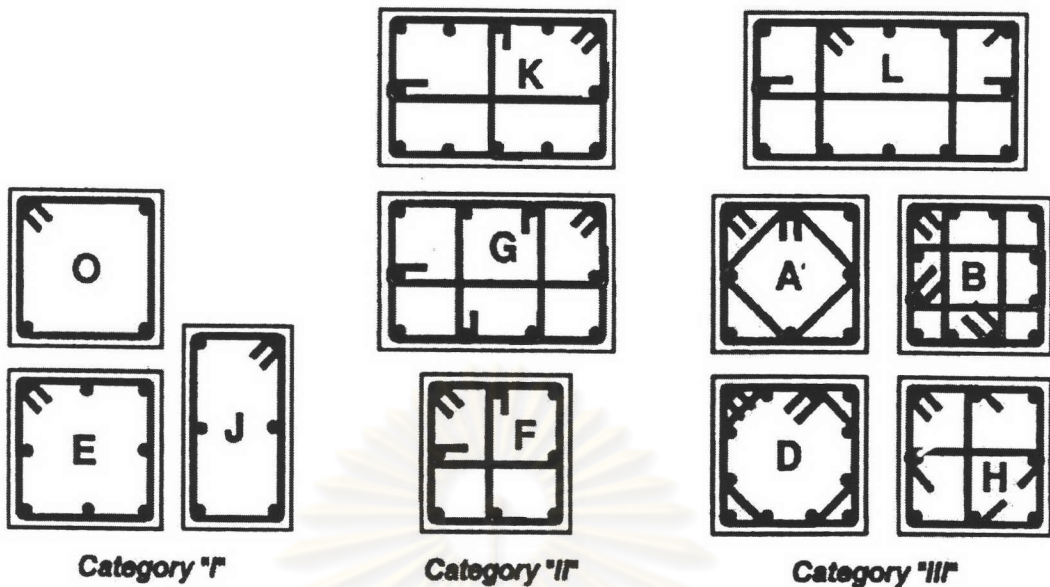
รูปที่ 2.18 ความยาวที่ต้องการการโอบรัดของเสา

(Watson and Park [1994])



รูปที่ 2.19 แนวคิดพื้นที่แกนคอนกรีตที่ถูกโอบรัดอย่างมีประสิทธิภาพ

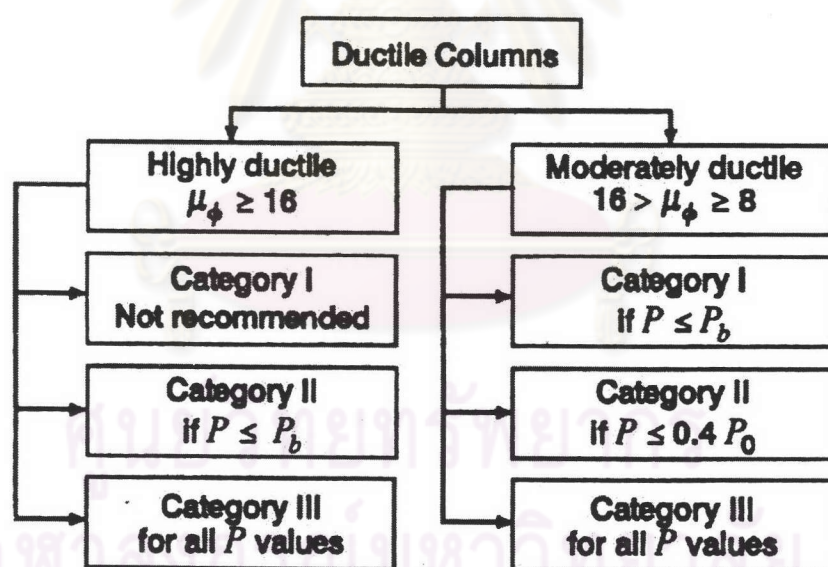
(Sheikh and Khoury [1997])



Category "I"

Category "II"

Category "III"



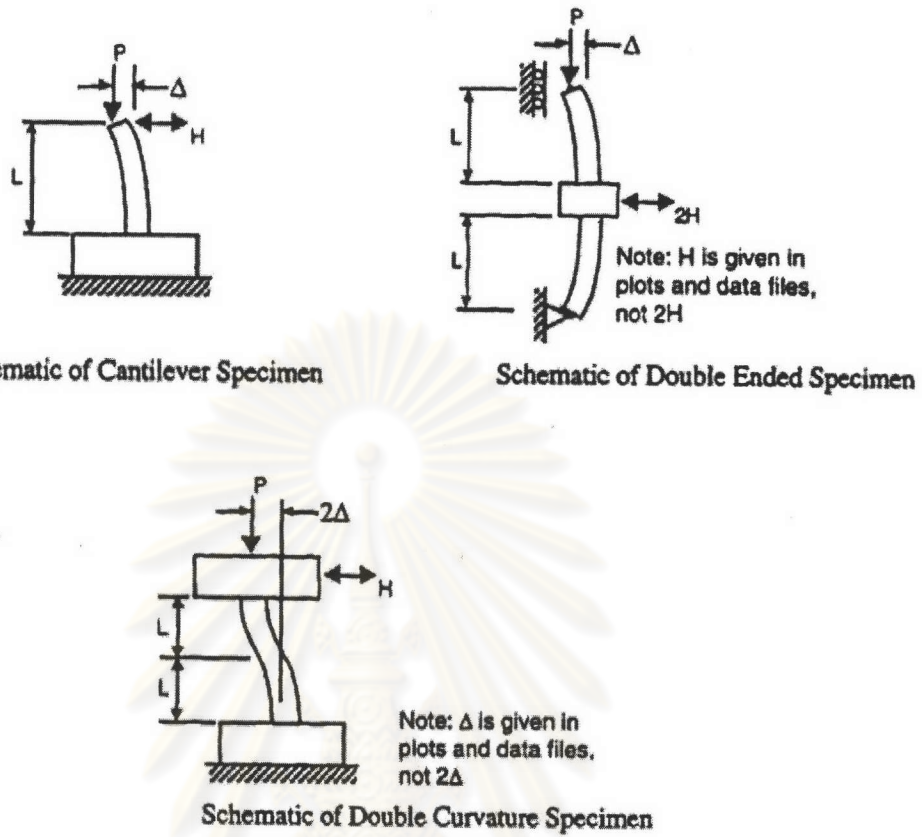
Category I Section with only 4 corner bars laterally supported by tie bends

Category II At least three bars on each face of the section laterally supported by tie bends including hooks not anchored in the core

Category III Same as category II but all hooks anchored in the core

รูปที่ 2.20 ประเภทของการจัดเรียงเหล็กปลอกตาม Sheikh และ Khoury [1997]

(Sheikh and Khoury [1997])

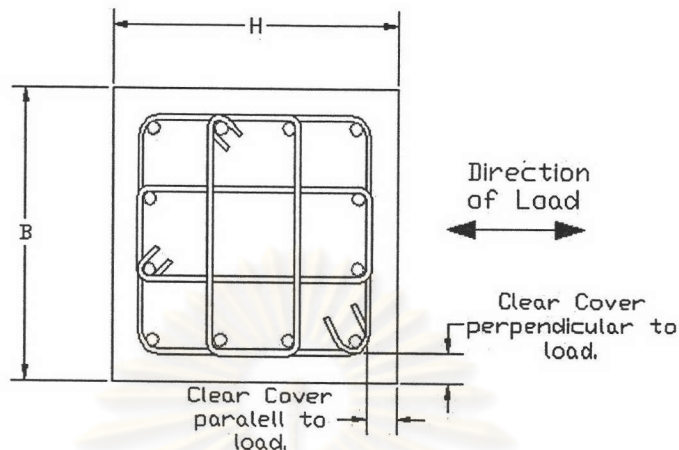


รูปที่ 3.1 ชนิดของเสาทดสอบที่ใช้ในการวิเคราะห์

(Taylor et al. [1997])

ศูนย์วิทยทรัพยากร
จุฬาลงกรณ์มหาวิทยาลัย

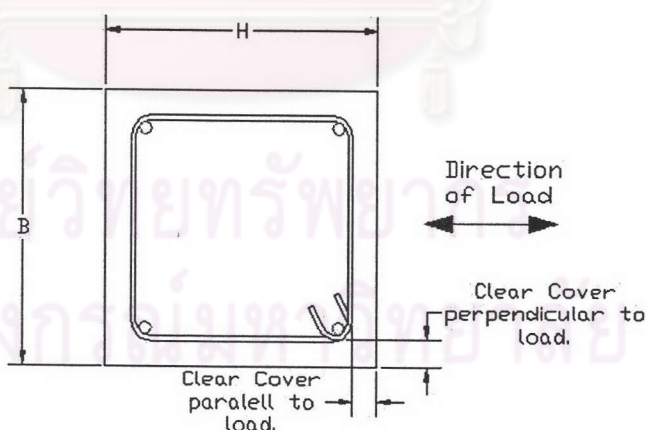
Confinement Type RI



Notes:-
 -Shown For
 -Total No. of Long. bars = 12
 -No. of Intermediate bars = 2

(a)

Confinement Type R



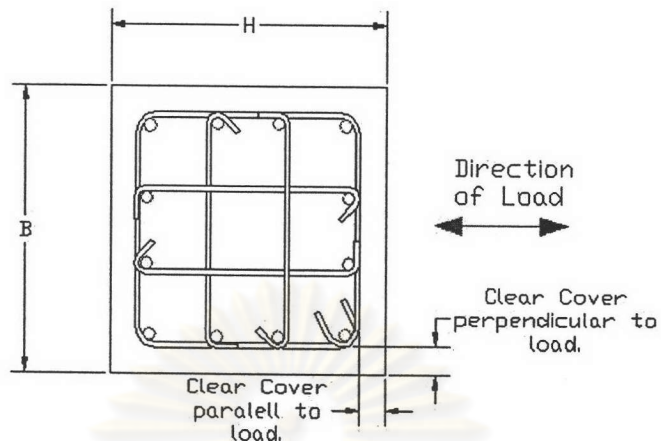
Notes:-
 -Shown For
 -Total # of Long. bars = 4
 -No. of Intermediate bars = 0

(b)

รูปที่ 3.2 ชนิดของการจัดเรียงเหล็กปลอกที่ใช้ในการวิเคราะห์

(<http://maximus.ce.washington.edu/~peeral>)

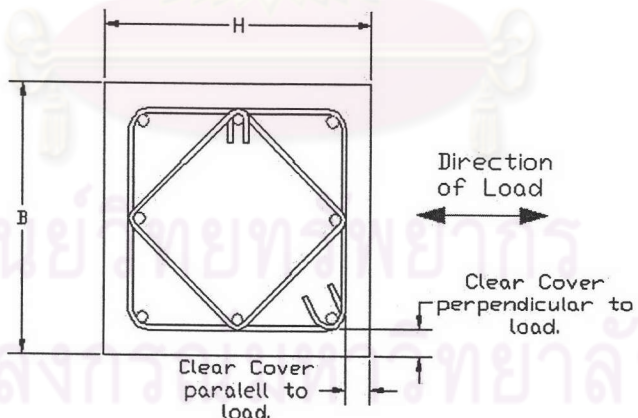
Confinement Type RJ



Notes:-
 -Shown For
 -Total No. of Long. bars = 12
 -No. of Intermediate bars = 2

(c)

Confinement Type RD

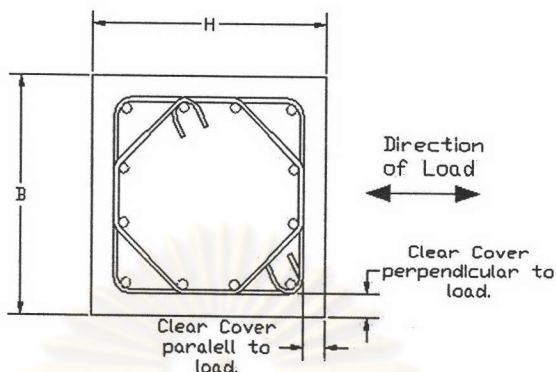


Notes:-
 -Shown For
 -Total No. of Long. bars = 8
 -No. of Intermediate bars = 1

(d)

รูปที่ 3.2 (ต่อ) ชนิดของการจัดเรียงเหล็กปลอกที่ใช้ในการวิเคราะห์

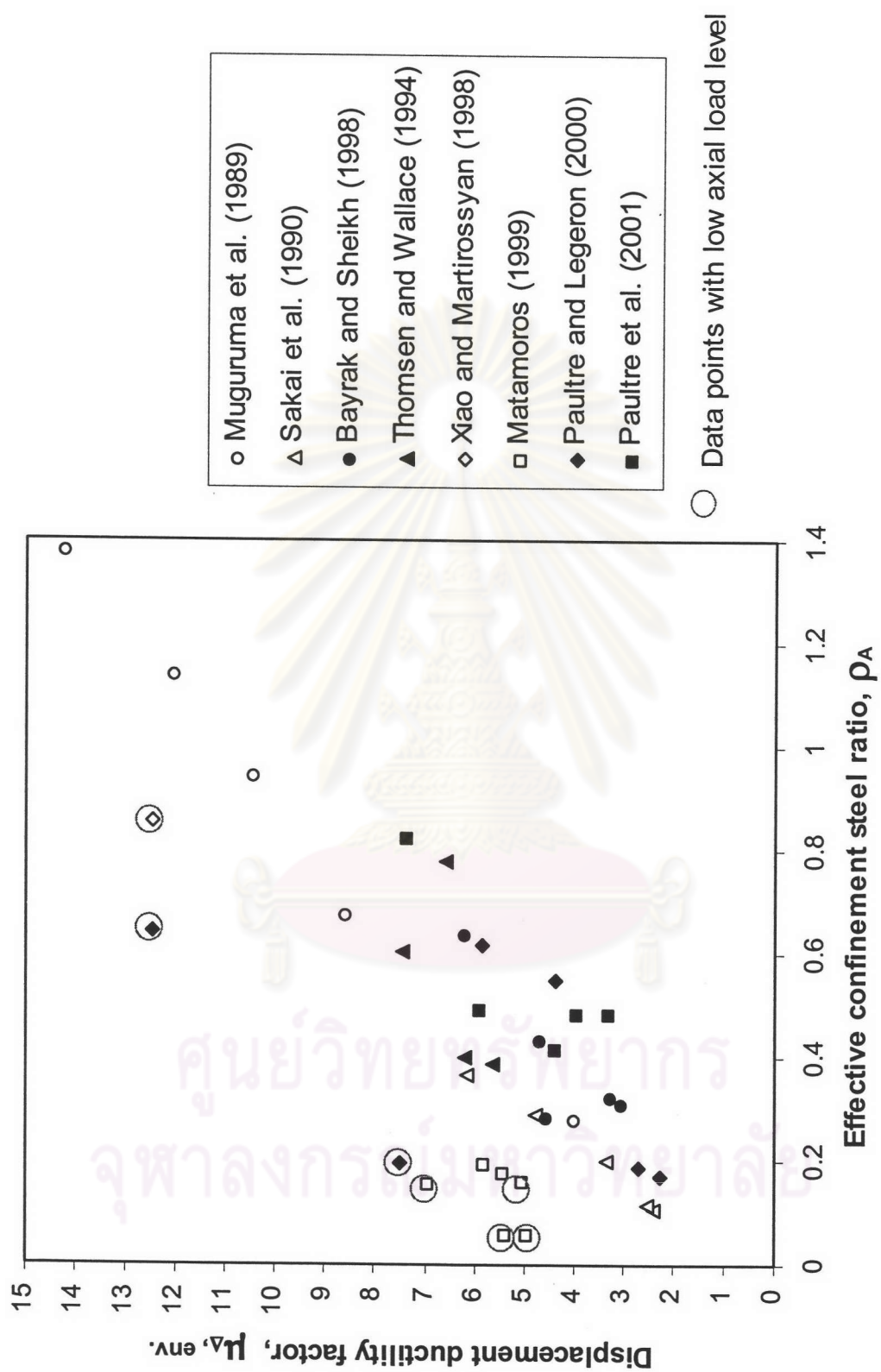
Confinement Type RC



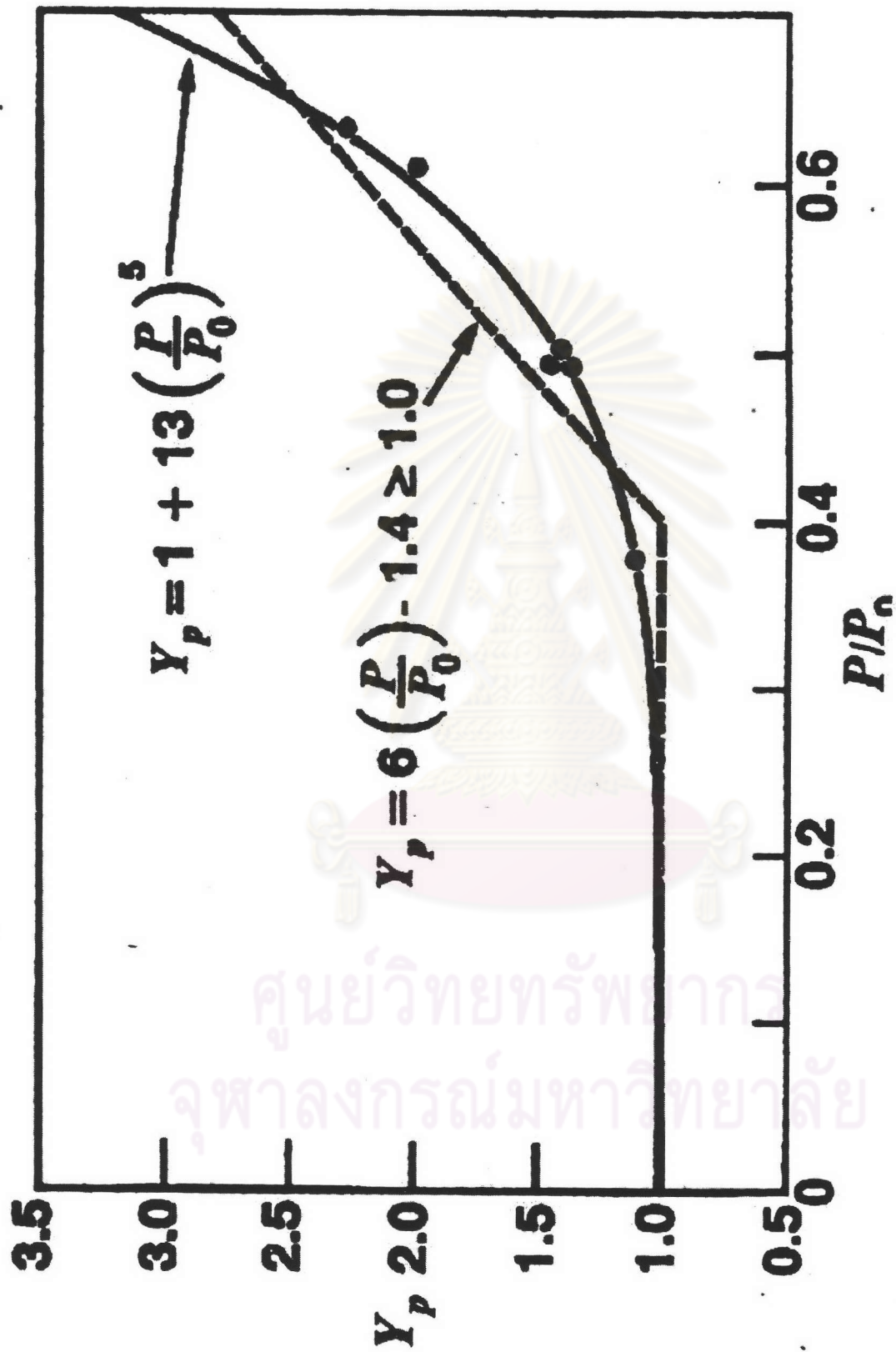
(e)

รูปที่ 3.2 (ต่อ) ชนิดของการจัดเรียงเหล็กปลอกที่ใช้ในการวิเคราะห์

ศูนย์วิทยทรัพยากร
จุฬาลงกรณ์มหาวิทยาลัย

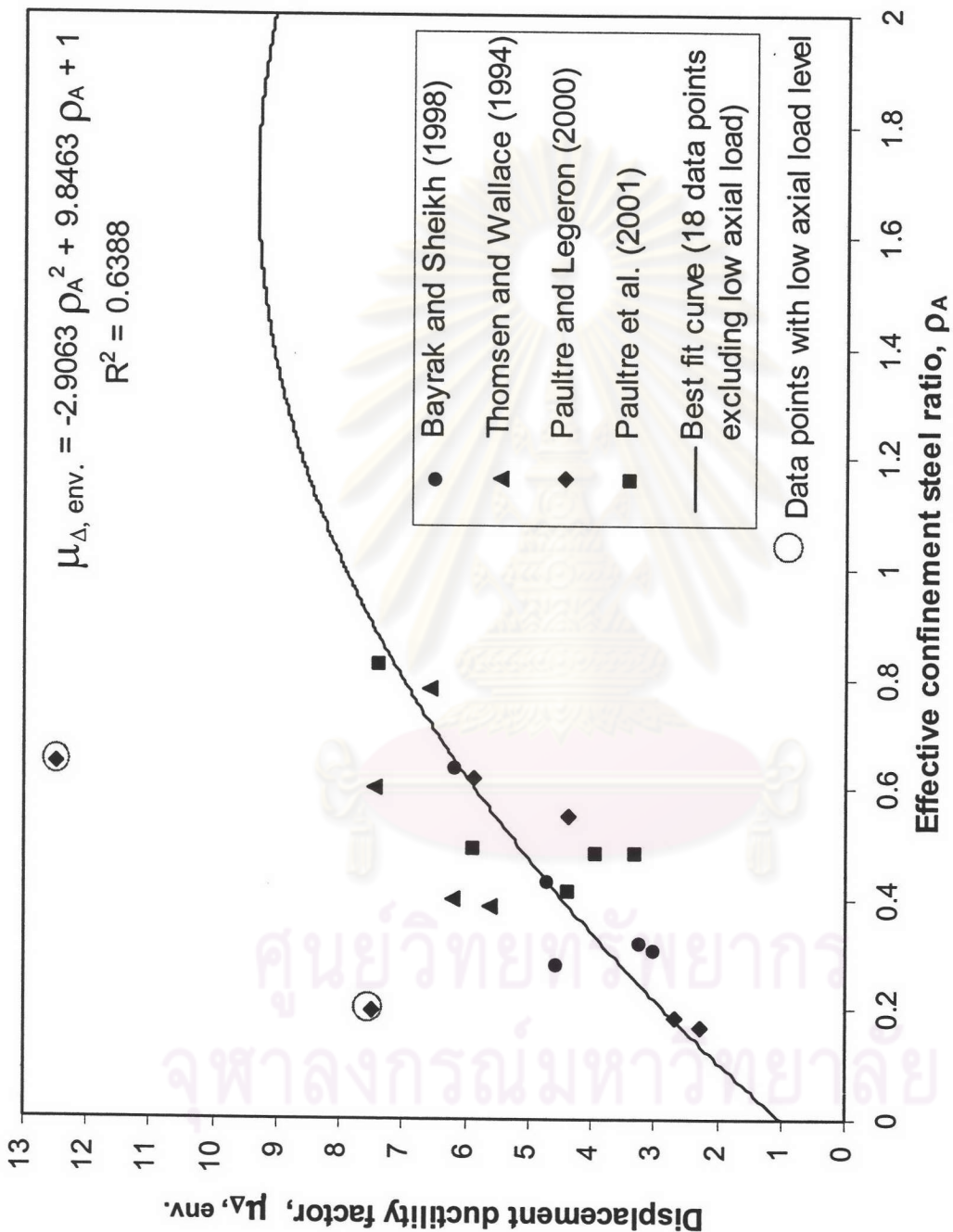


รูปที่ 3.3 ความสัมพันธ์ระหว่างอัตราต่ำงแผ่นเหล็กปลอกกับประสิทธิผลกับความหนืดของเชิงการเดี่ยวนั้นตัวที่ได้จากการตรึงสำนักงานศึกษาศาสตร์ สถาบันเทคโนโลยีไทย-ญี่ปุ่น

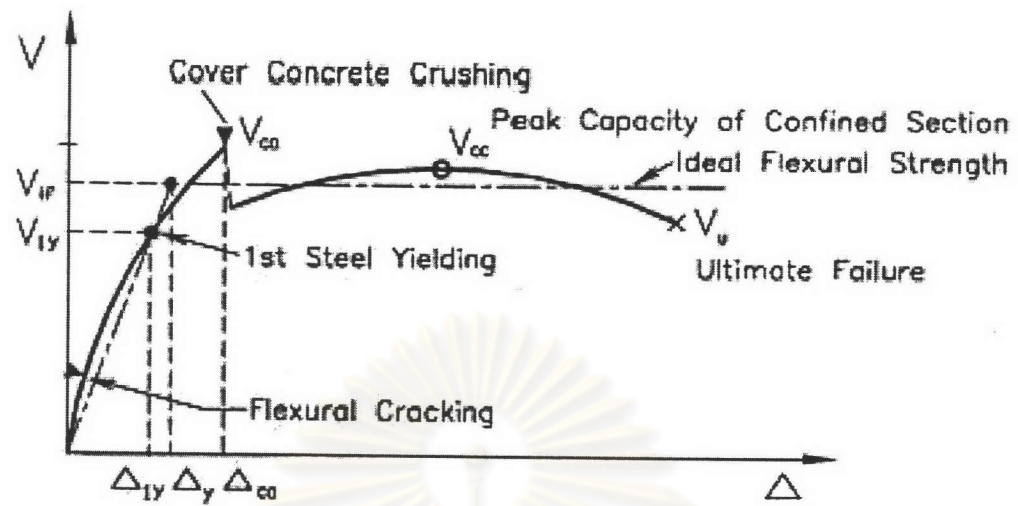


รูปที่ 3.4 ตัวแปรคงของแรงตามแนวแกน (Y_p) ที่станอโดย Sheikh และ Khoury [1997]

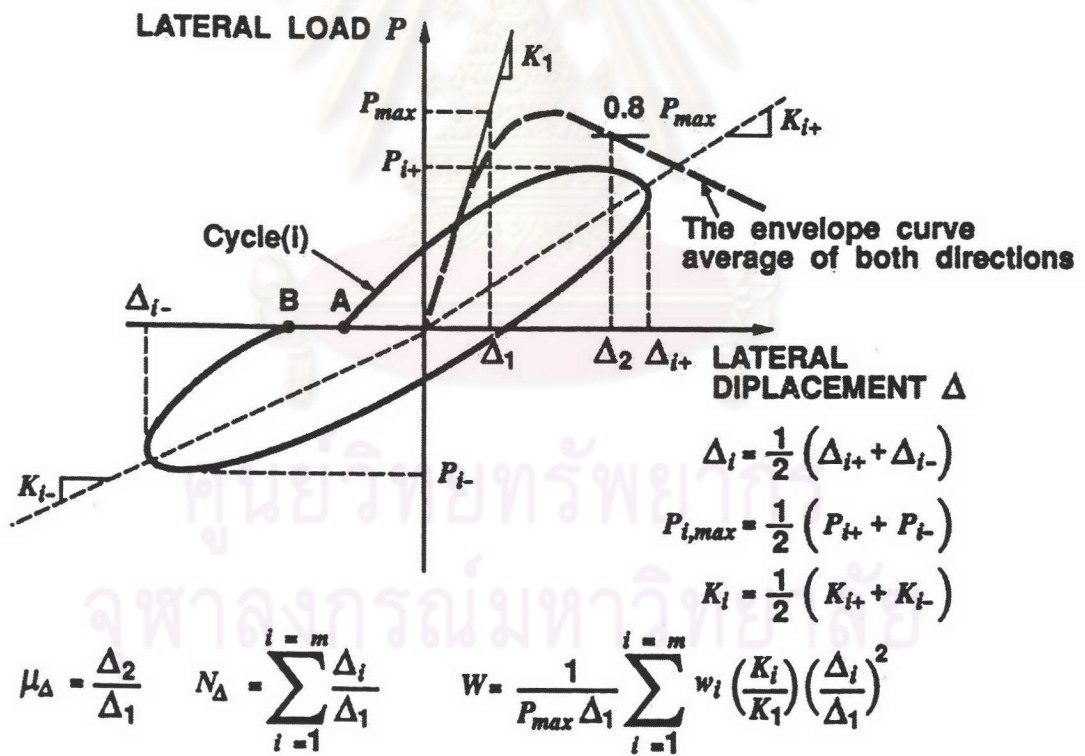
(Sheikh and Khoury [1997])



รูปที่ 3.5 วิเคราะห์พารามิเตอร์ของความต้านทานระหว่างหัวตราช่วงบนของโครงสร้างคอนกรีตเสริมเหล็กที่ได้จากการสำรวจเด่น ໄก์ โกล์ฟ คดุ

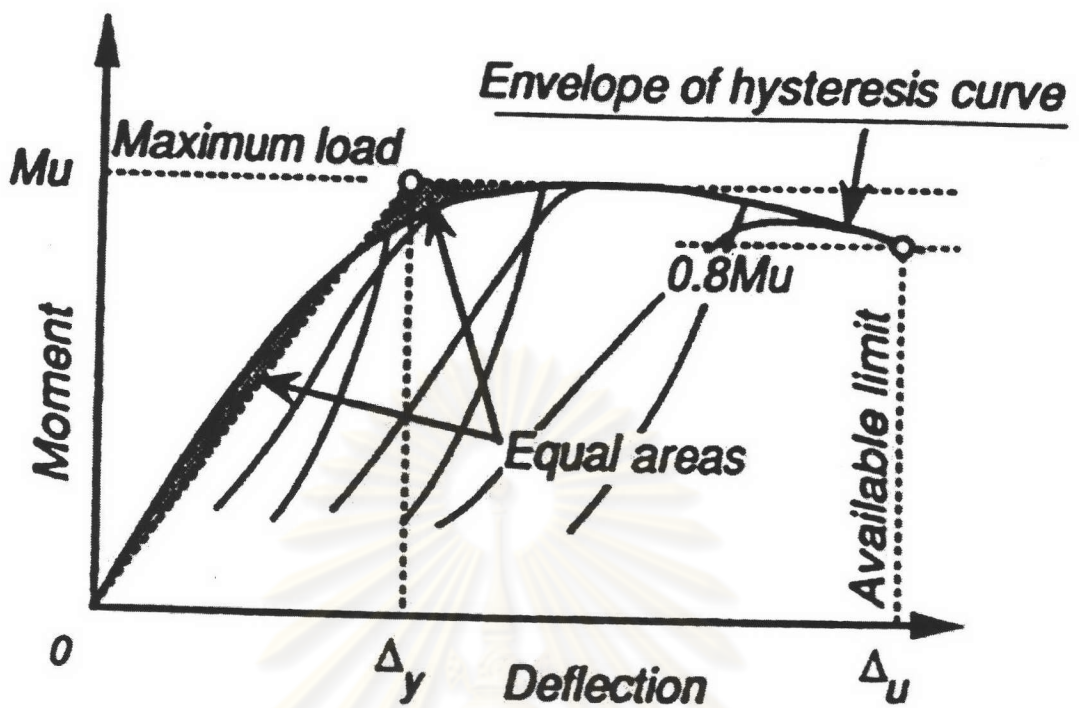


(a) (Xiao and Yun [2002])

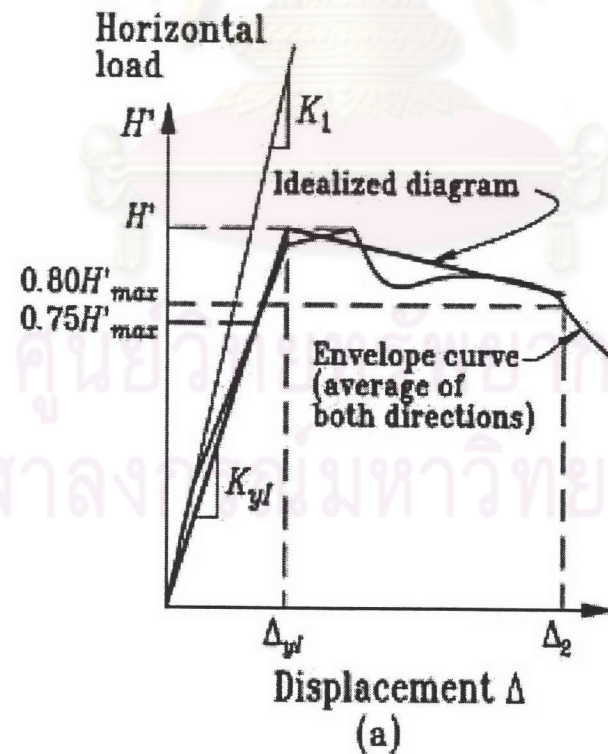


(b) (Bayrak and Sheikh [1998])

รูปที่ 3.6 วิธีการหาค่าการเคลื่อนตัวจุดครากของนักวิจัยต่าง ๆ



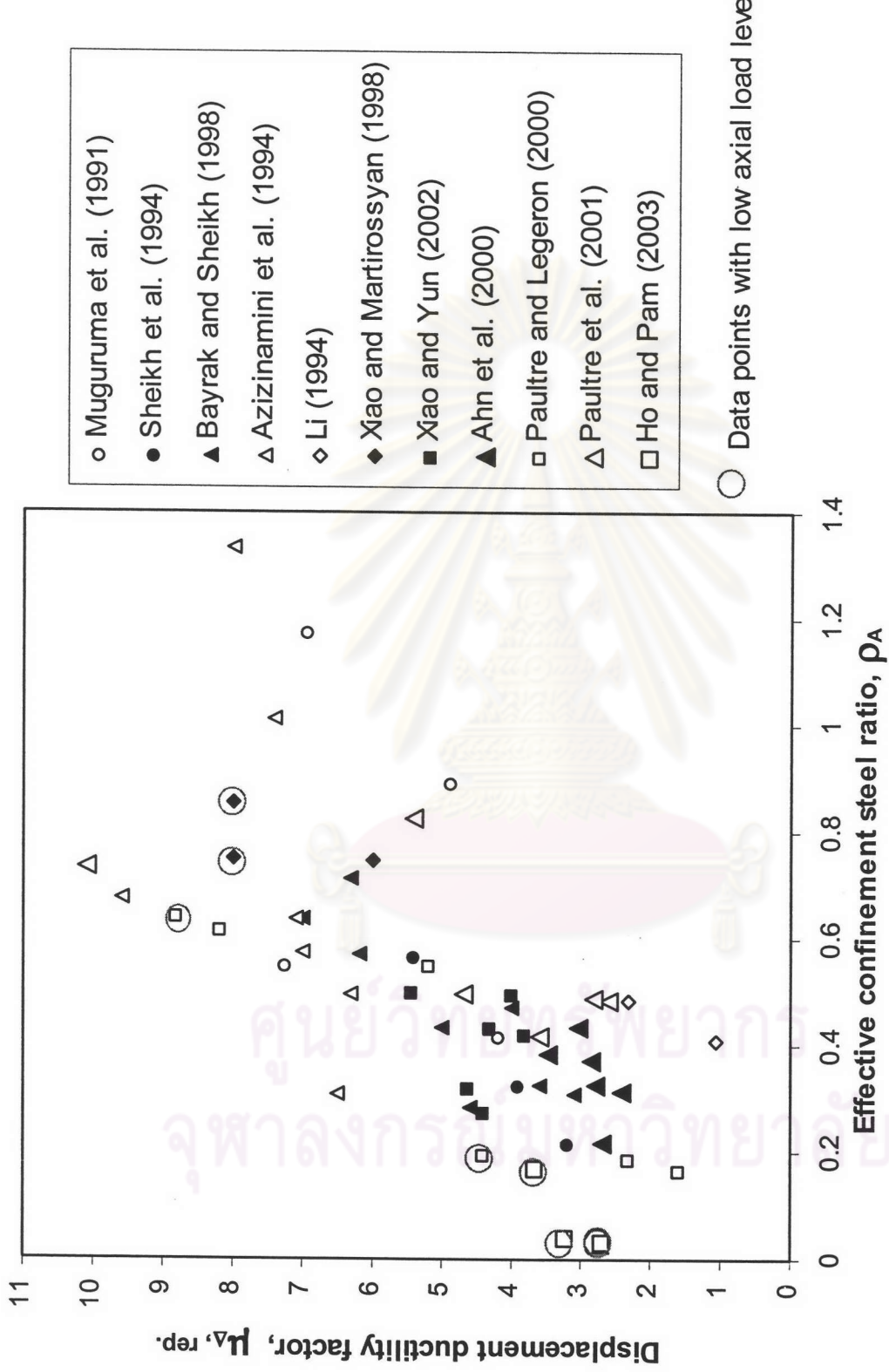
(c) (Muguruma et al.)



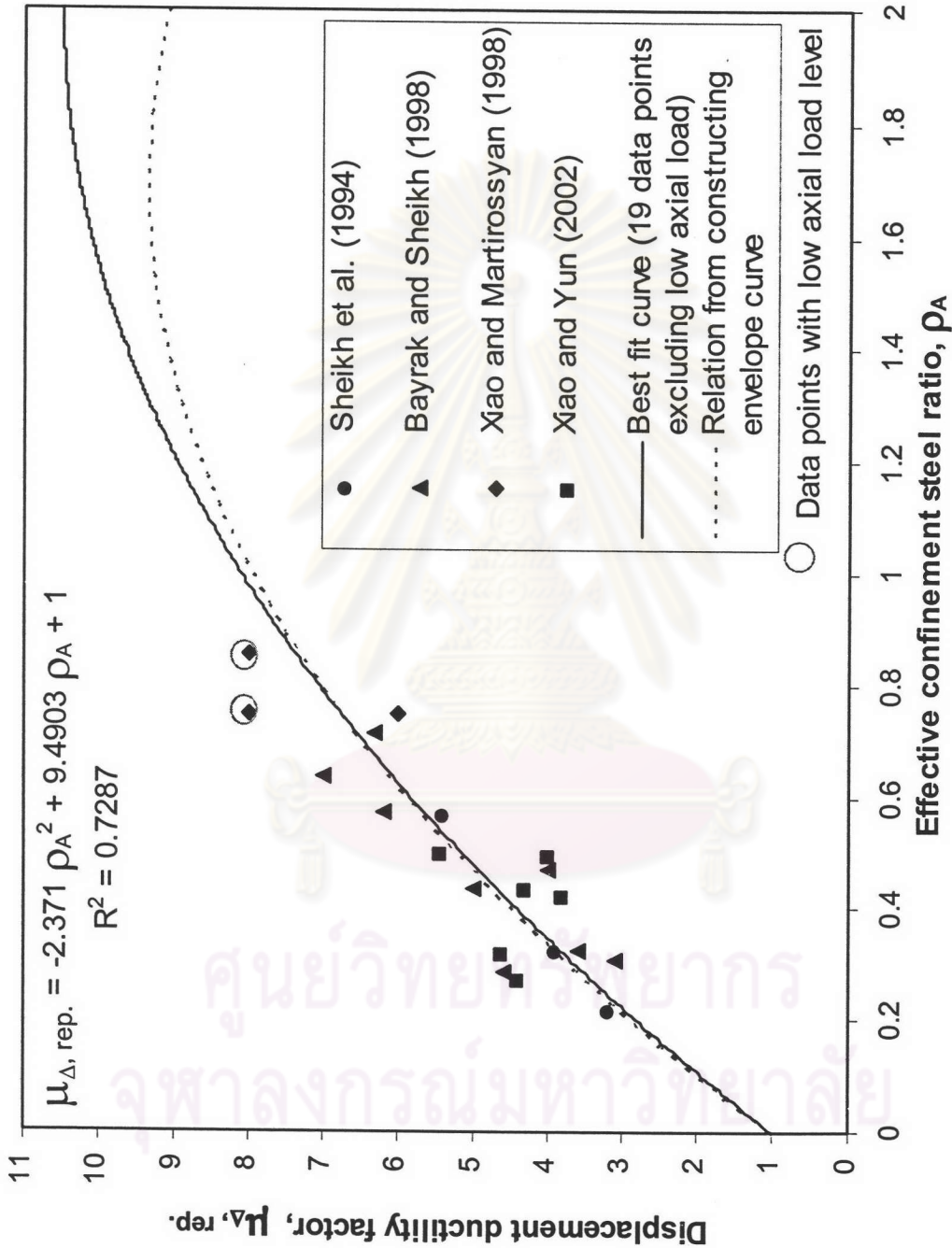
(a)

(d) (Legeron and Paultre [2002])

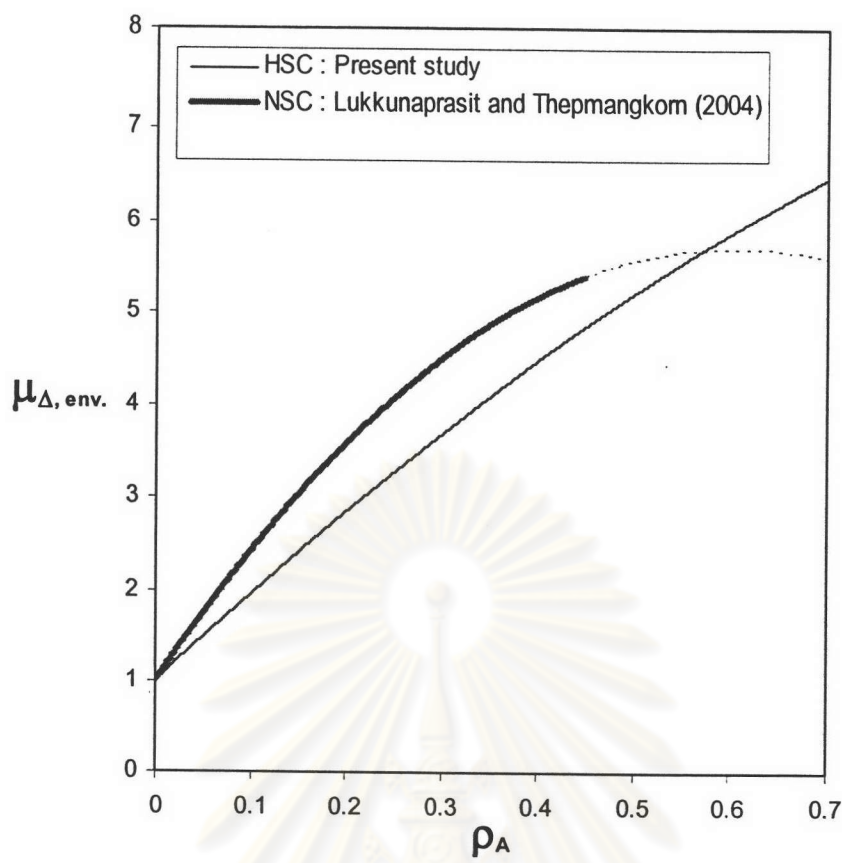
รูปที่ 3.6 (ต่อ) วิธีการหาค่าการเคลื่อนตัวจุดครากของนกกวิจัยต่าง ๆ



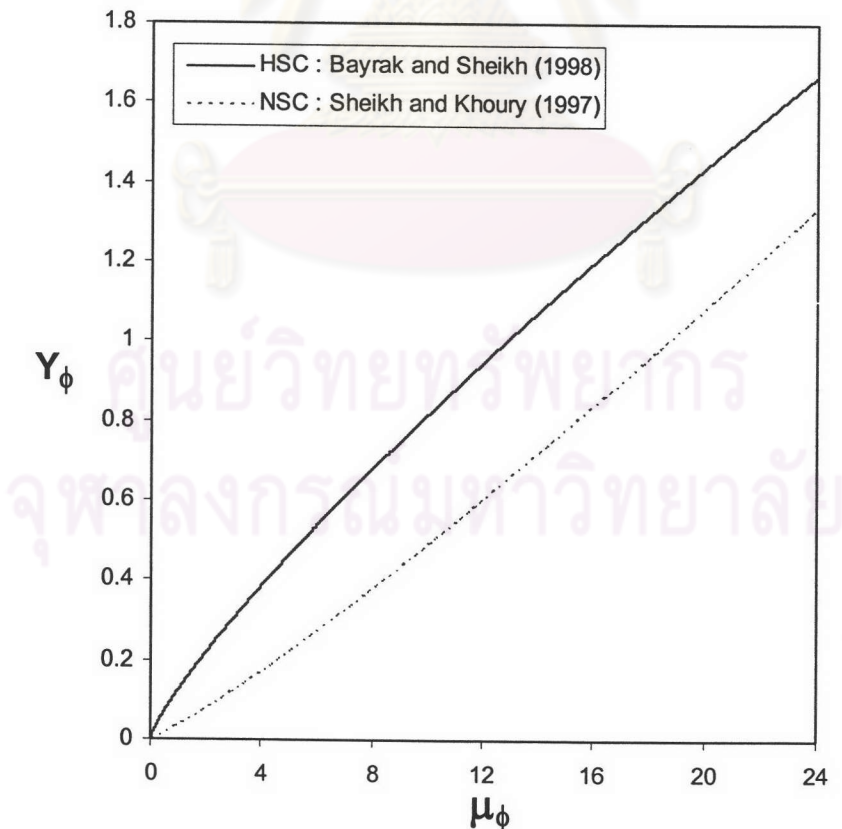
รูปที่ 3.7 ความสัมพันธ์ระหว่างอัตราส่วนหนาแน่นของเหล็กปลอกประทิษฐิกับความหนืดของเชิงการทดสอบตัวที่ร่างงานใน例外สถานการณ์



รูปที่ 3.8 วิเคราะห์ความติดต่อของความถ่วงพื้นที่ระหว่างส่วนหลักประกอบของเส้นที่มีผลกับความหนืดในการเคลื่อนตัวที่ร้ายงานในอนาคตการรั่ว

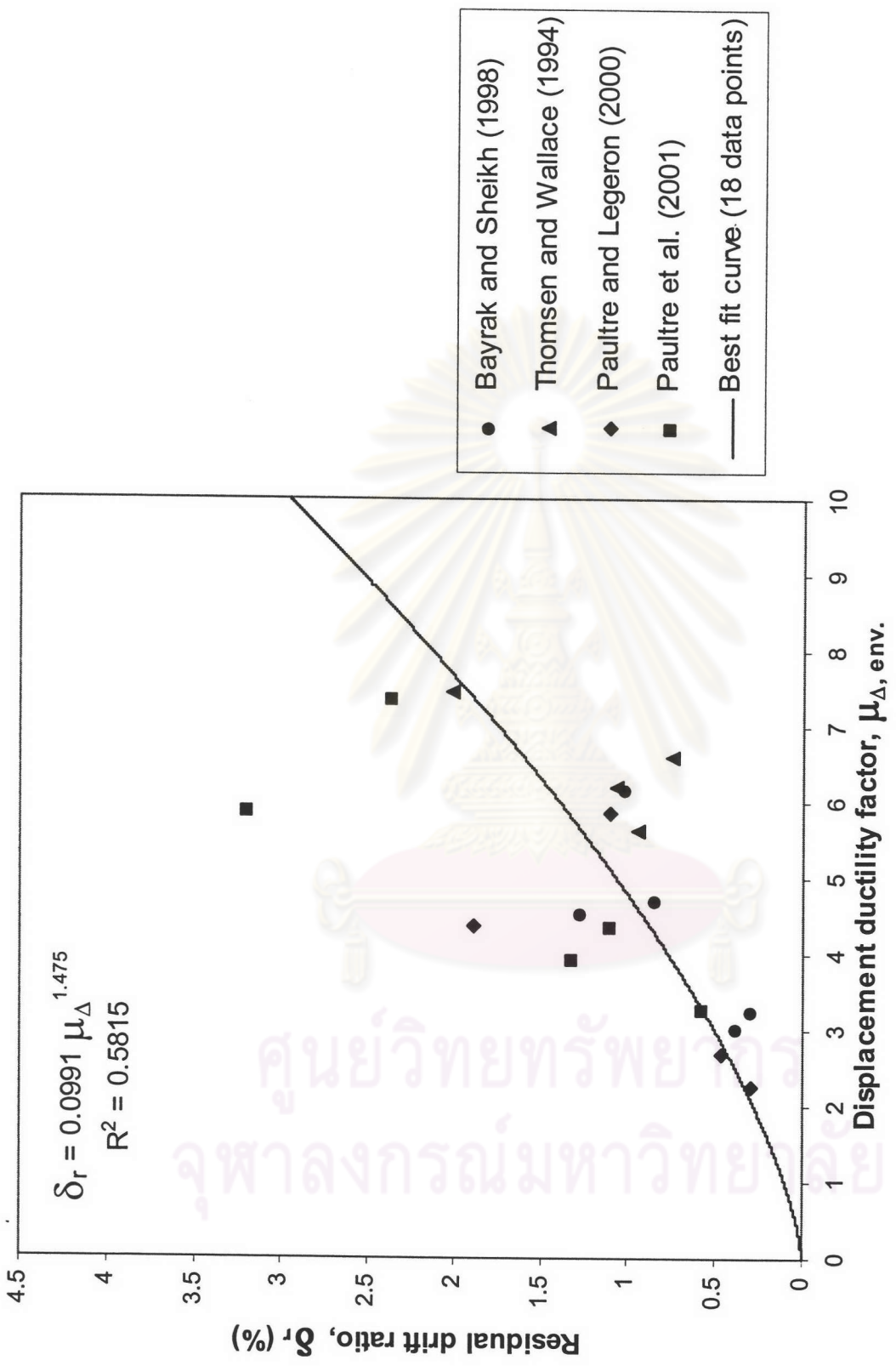


(a)

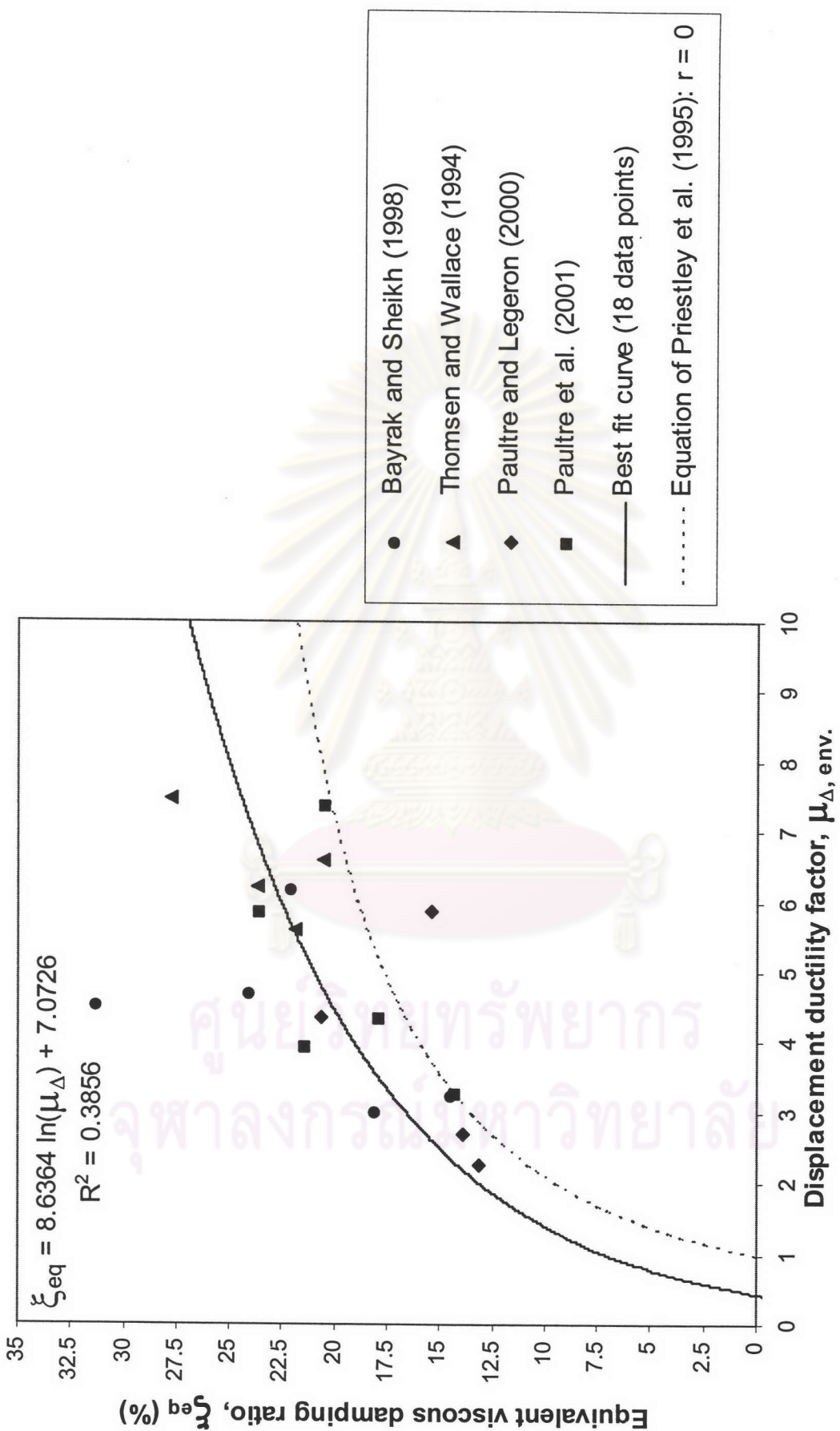


(b)

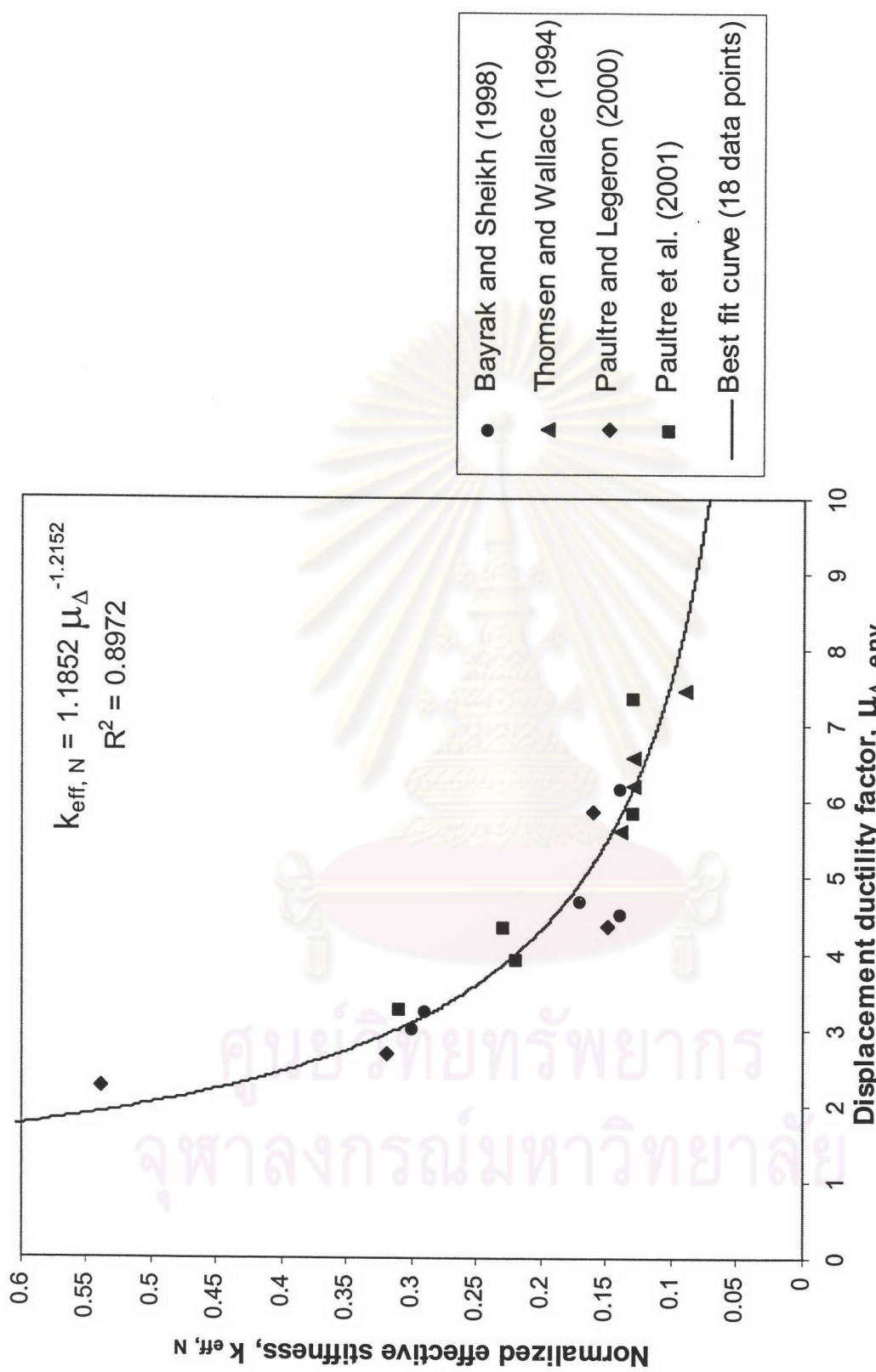
รูปที่ 3.9 เปรียบเทียบผลของการโอบรัดที่มีต่อความหนาแน่นของเสากองกรีตกำลังสูง
และเสากองกรีตกำลังธรรมด้า



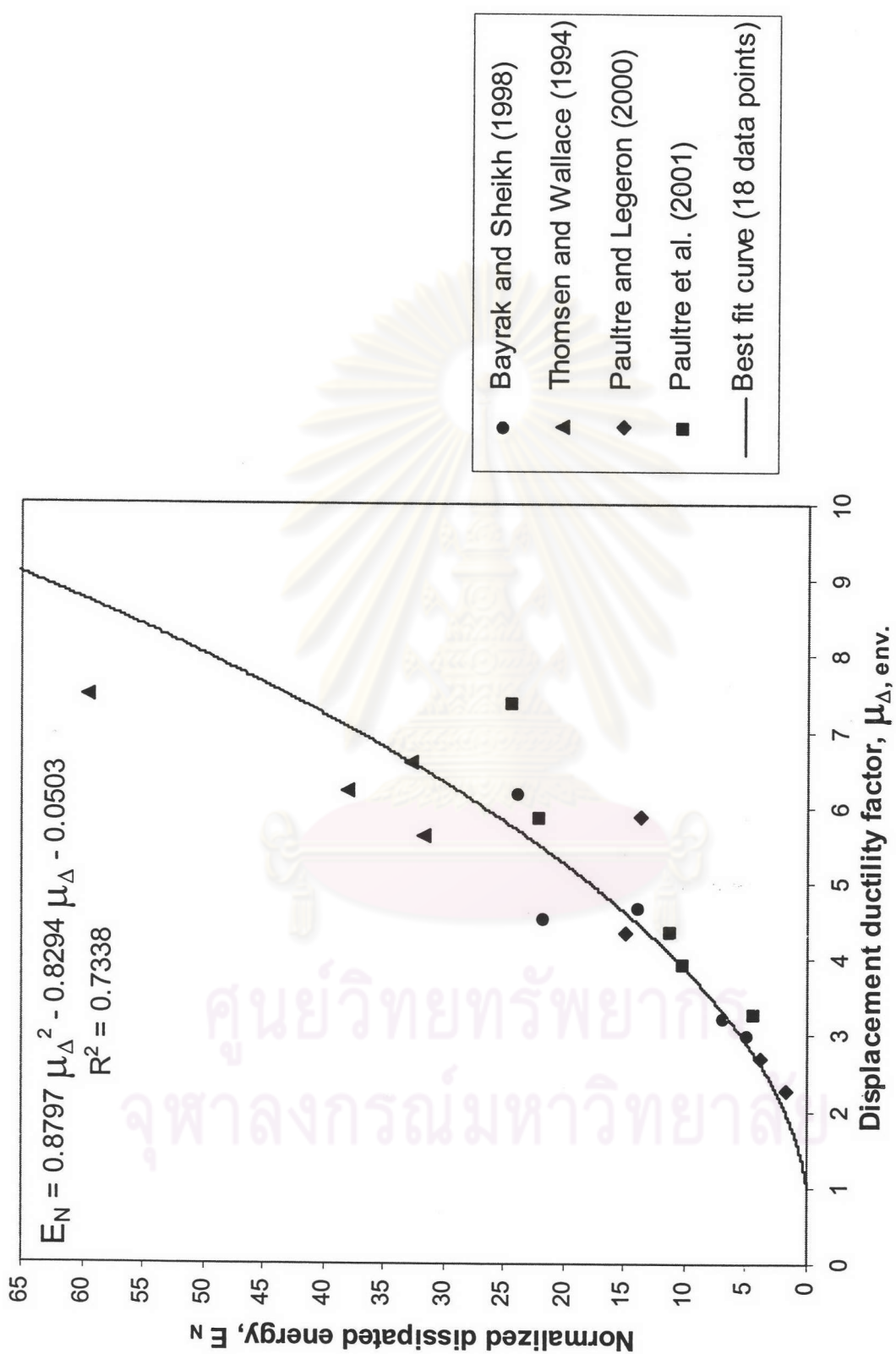
รูปที่ 3.10 วิเคราะห์ความสัมพันธ์ระหว่างความหนาเท็จและการเคลื่อนตัวกับอัตราส่วนการเคลื่อนตัวคงที่



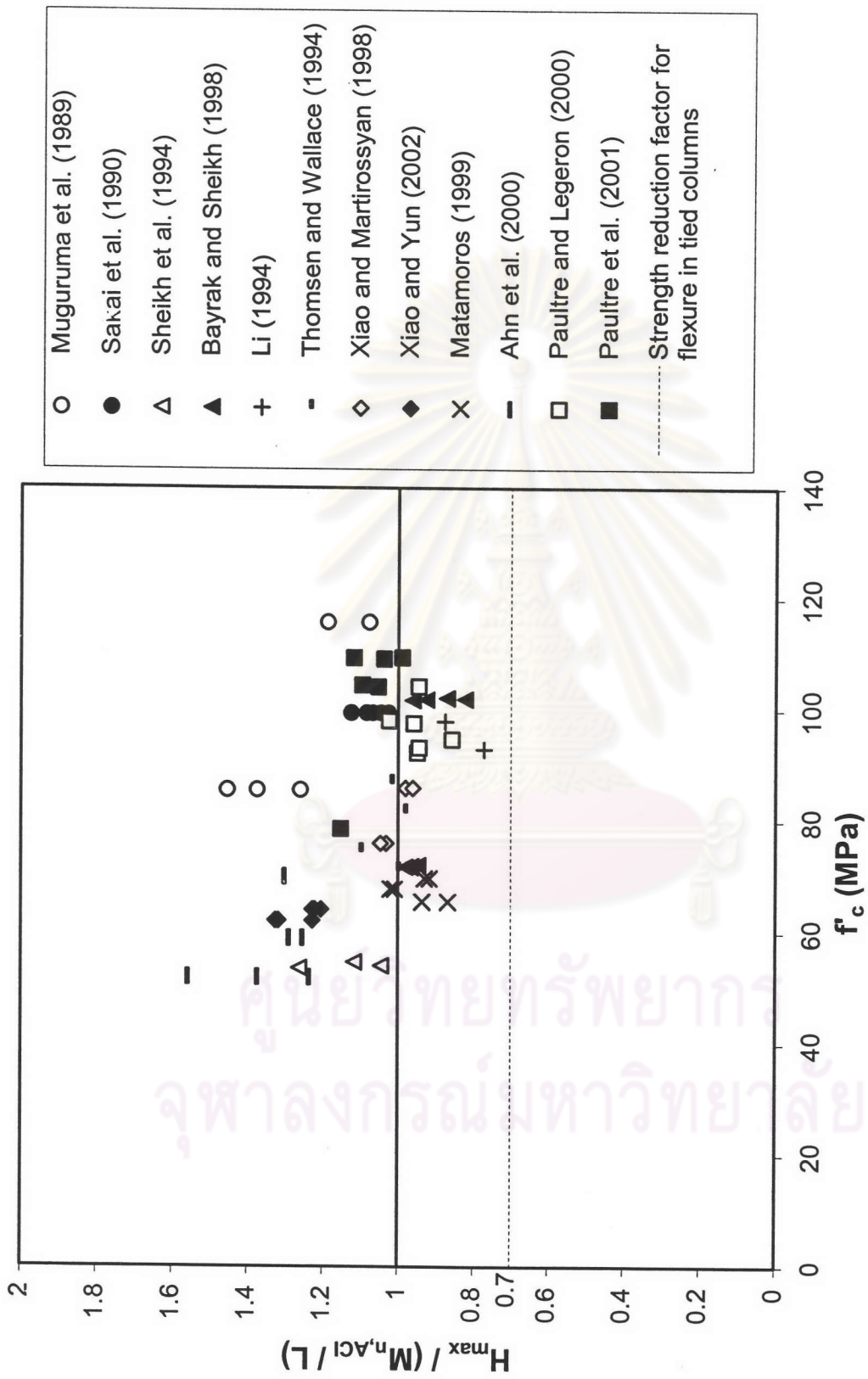
รูปที่ 3.11 วิเคราะห์ความติดอยู่ของความถันพื้นที่ระหว่างความหนาชั้งการเคลื่อนตัวกับอัตราส่วนความหน่วงซึ่งหนึ่งเดียวที่



รูปที่ 3.12 วิศวาระที่ความติดของความตึงพันธุ์ระหว่างความหนืดและการเคลื่อนทัวและสภาพแบบรากน้ำมันไดซ์

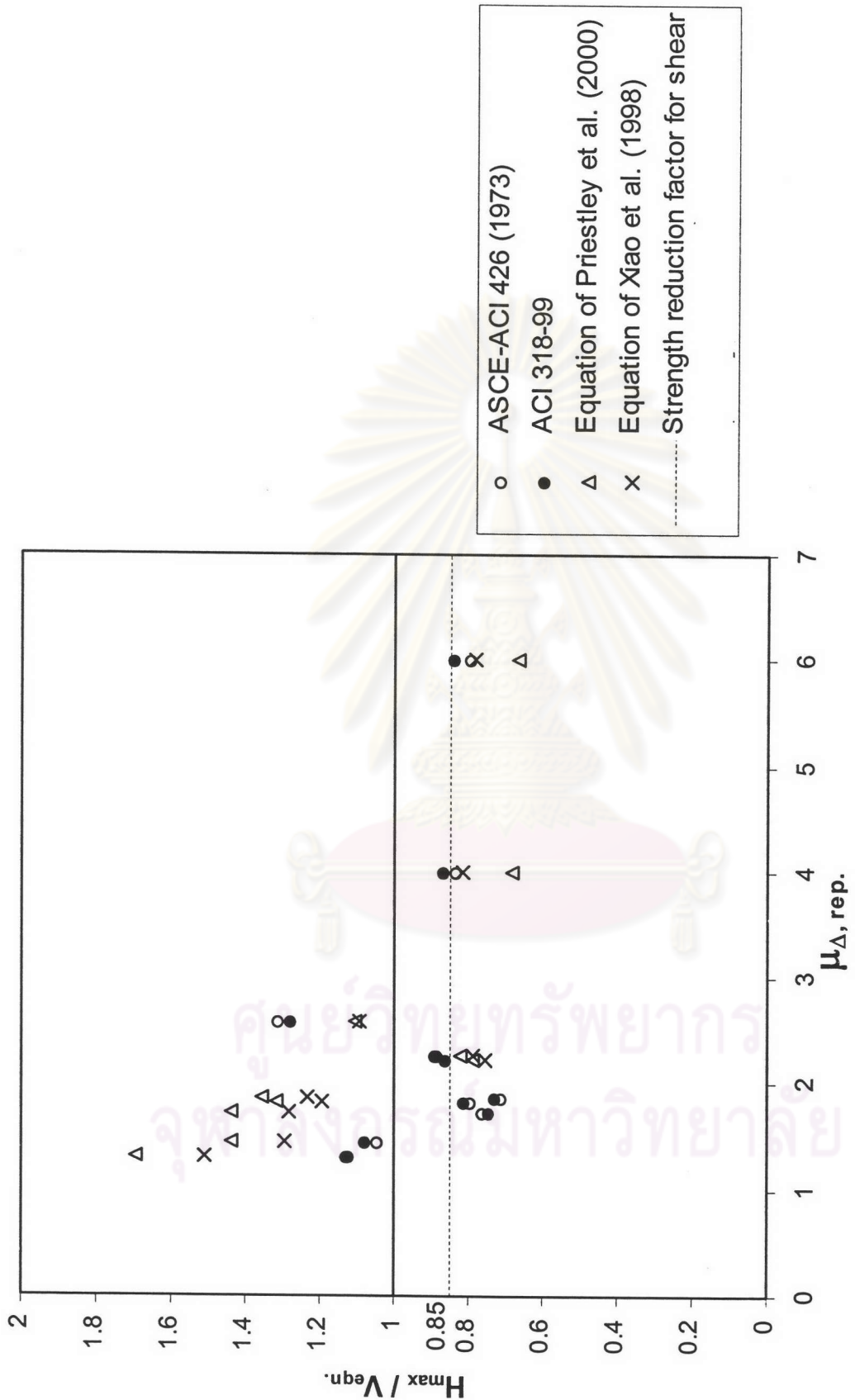


รูปที่ 3.13 วิเคราะห์ความถดถอยของความต้านทานพื้นฐานระหว่างความหนืดและการเคลื่อนที่ว้าและภารพลังงานนอร์มัล ได้แก่



รูปที่ 3.14 ความสัมพันธ์ระหว่างกำลังค้อนน้ำและอัตราส่วนของแรงด้านข้างต่อแรงด้านข้างตามที่คำนวณตาม ACI ของแต่ละสถาบันที่เกิดการวินิจฉัย

ของแต่ละสถาบันที่เกิดการวินิจฉัย



۳

ความสัมพันธ์ที่มีอยู่ในสังคมไทยนั้น ทำให้เกิดการหลอกลวงทางเพศ ทำให้เกิดความเสื่อมเสียทางเพศ

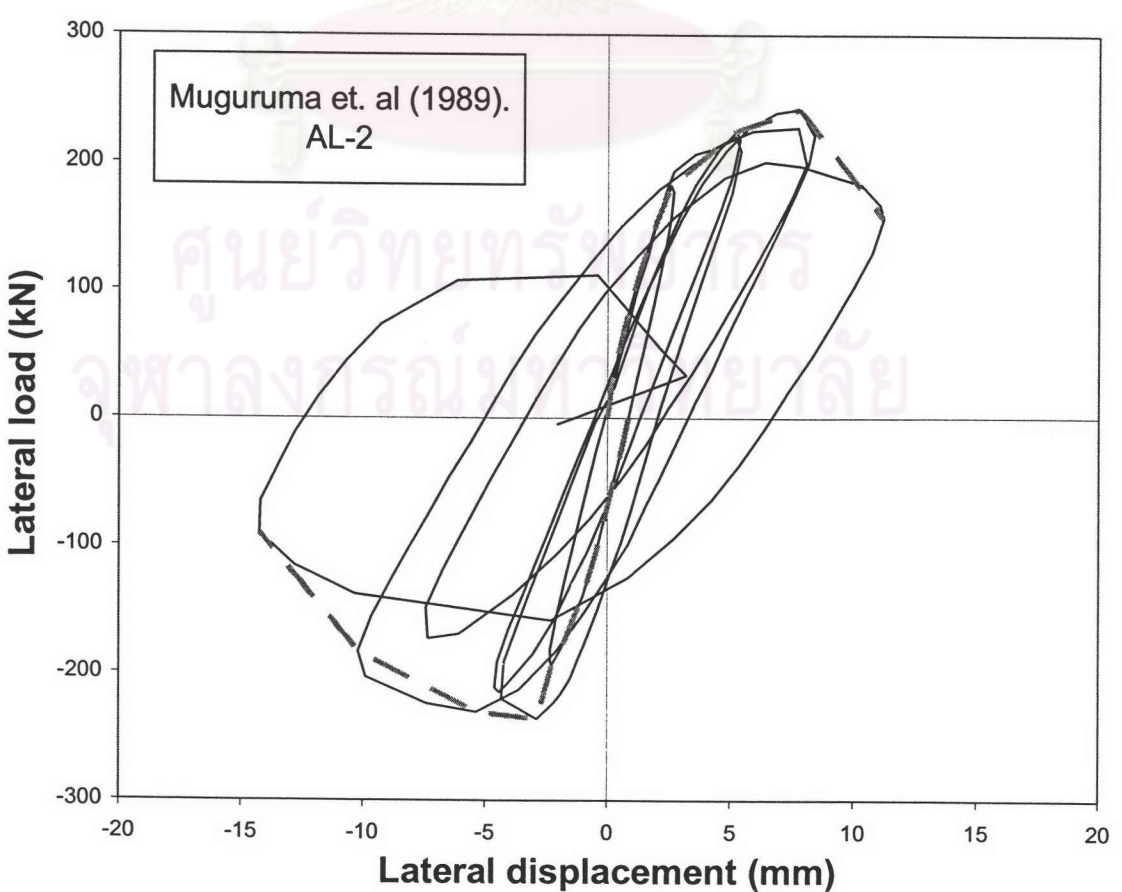
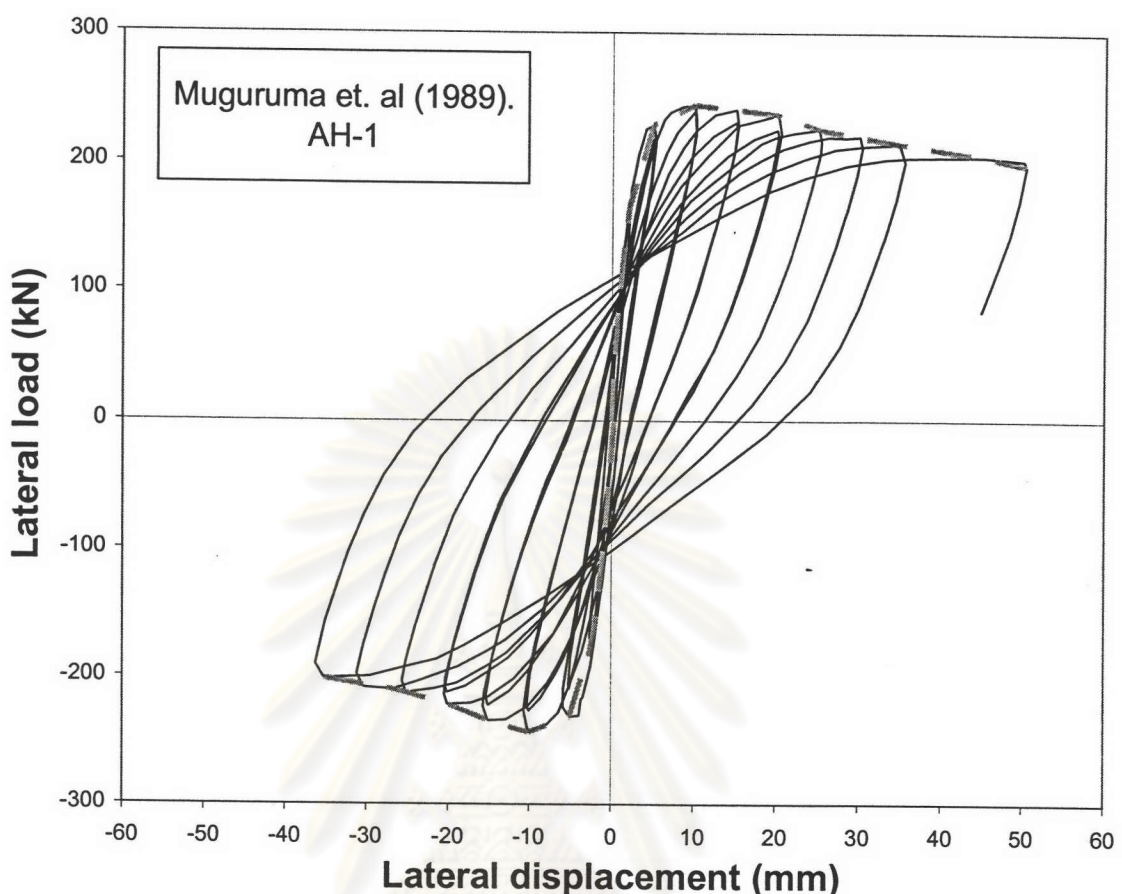
ของเสาทางตอนที่เกิดการวิบัติโดยการเจือน

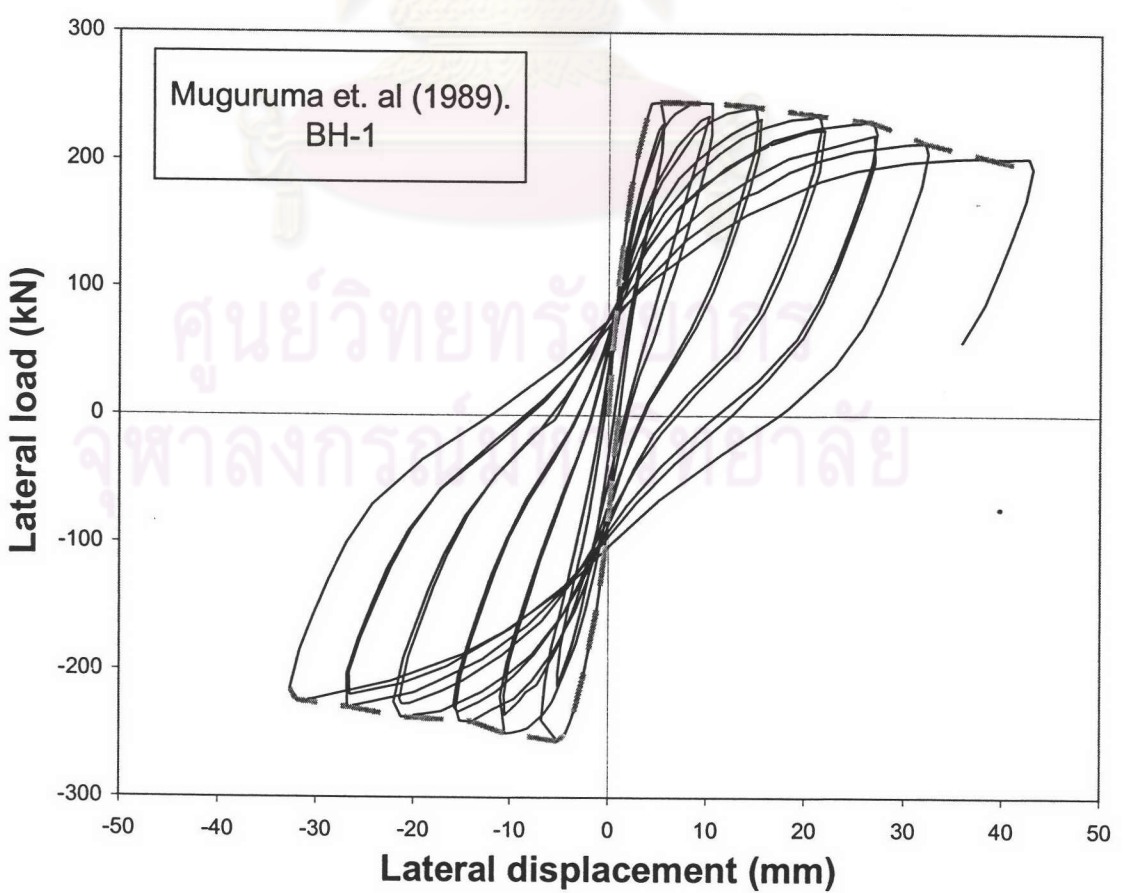
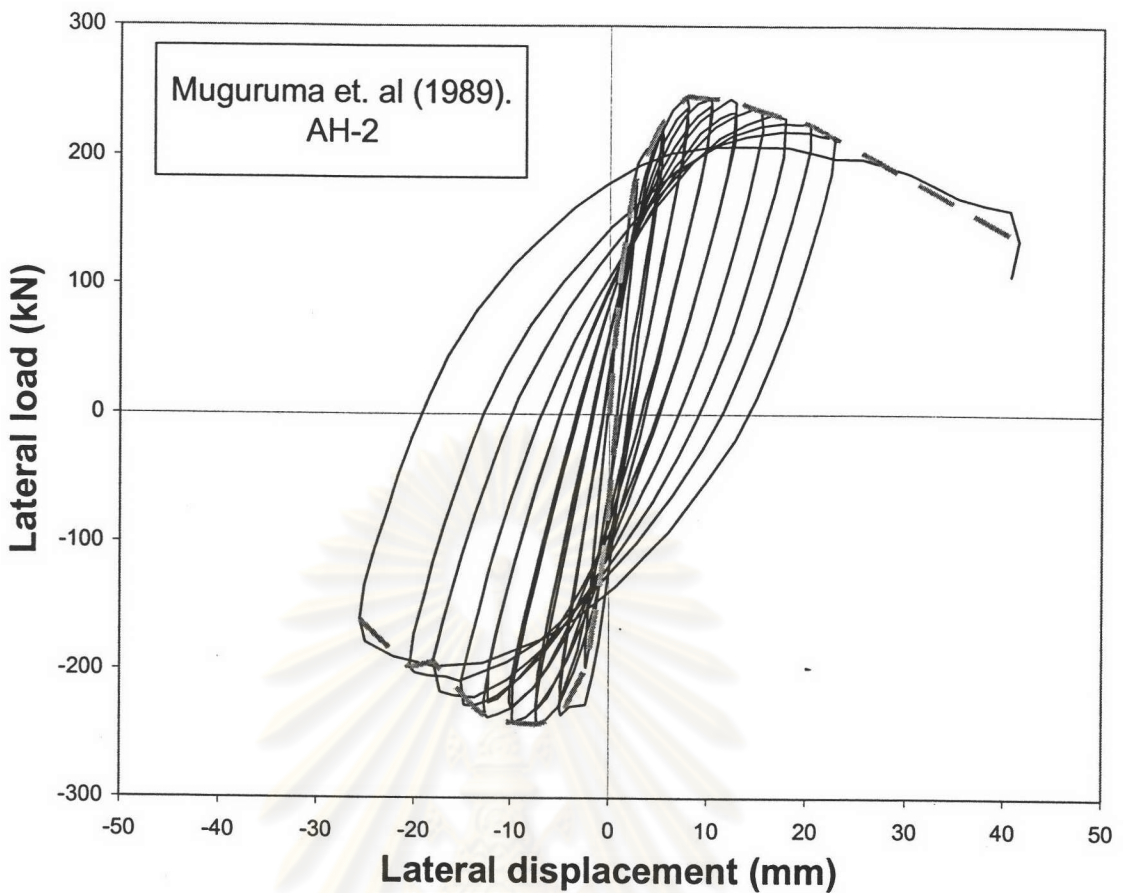


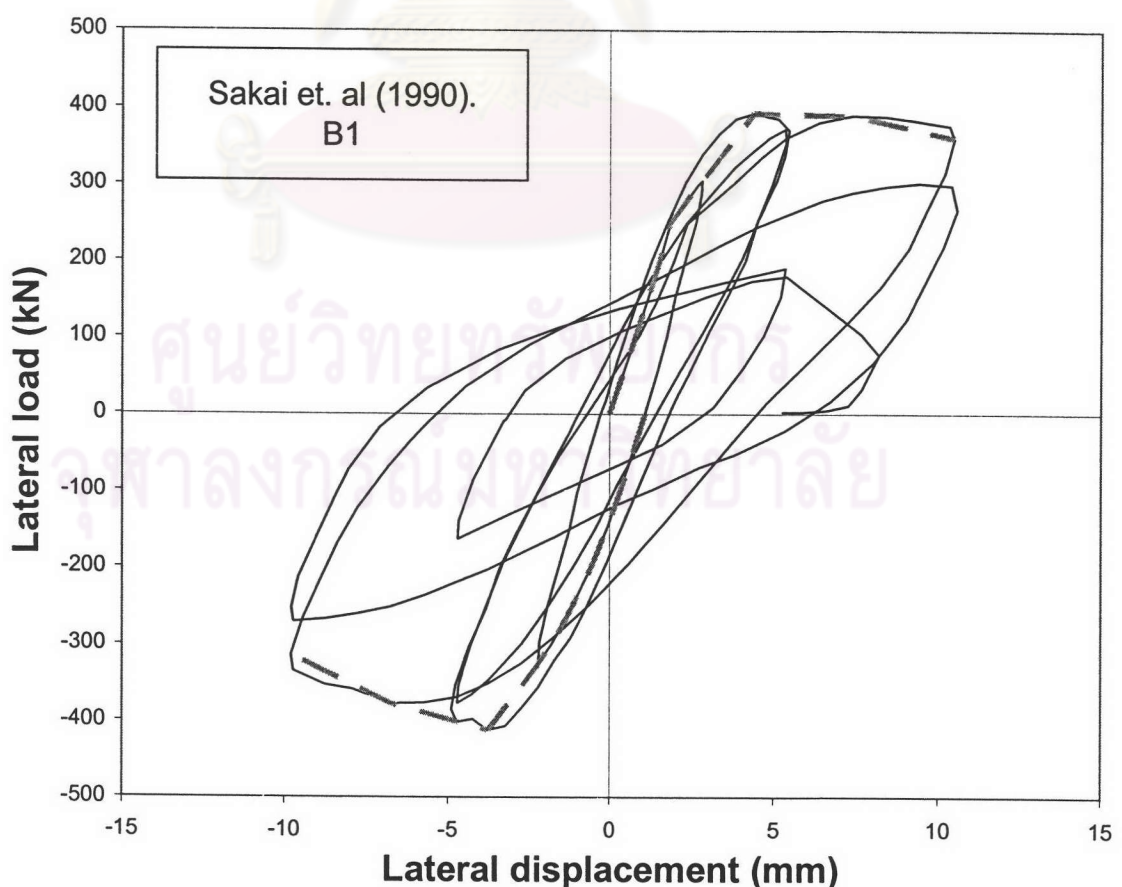
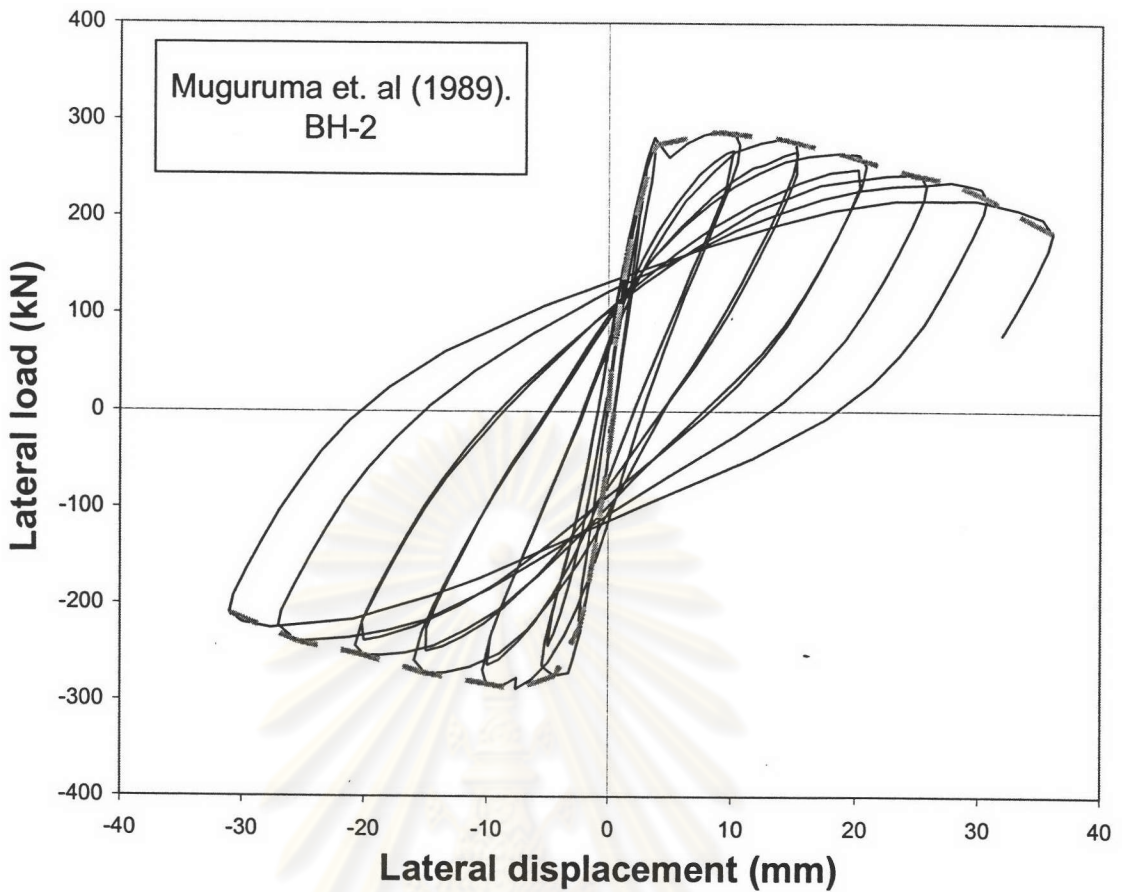
ภาควิชานวัตกรรม

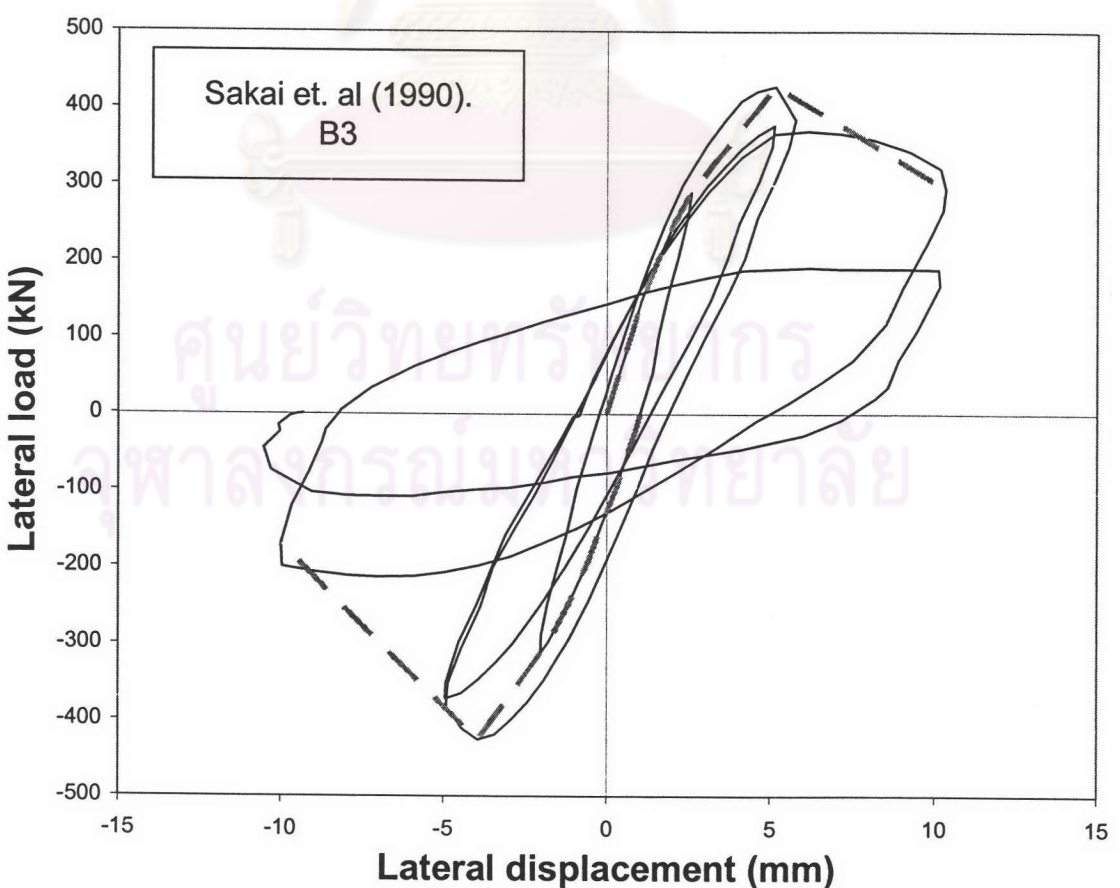
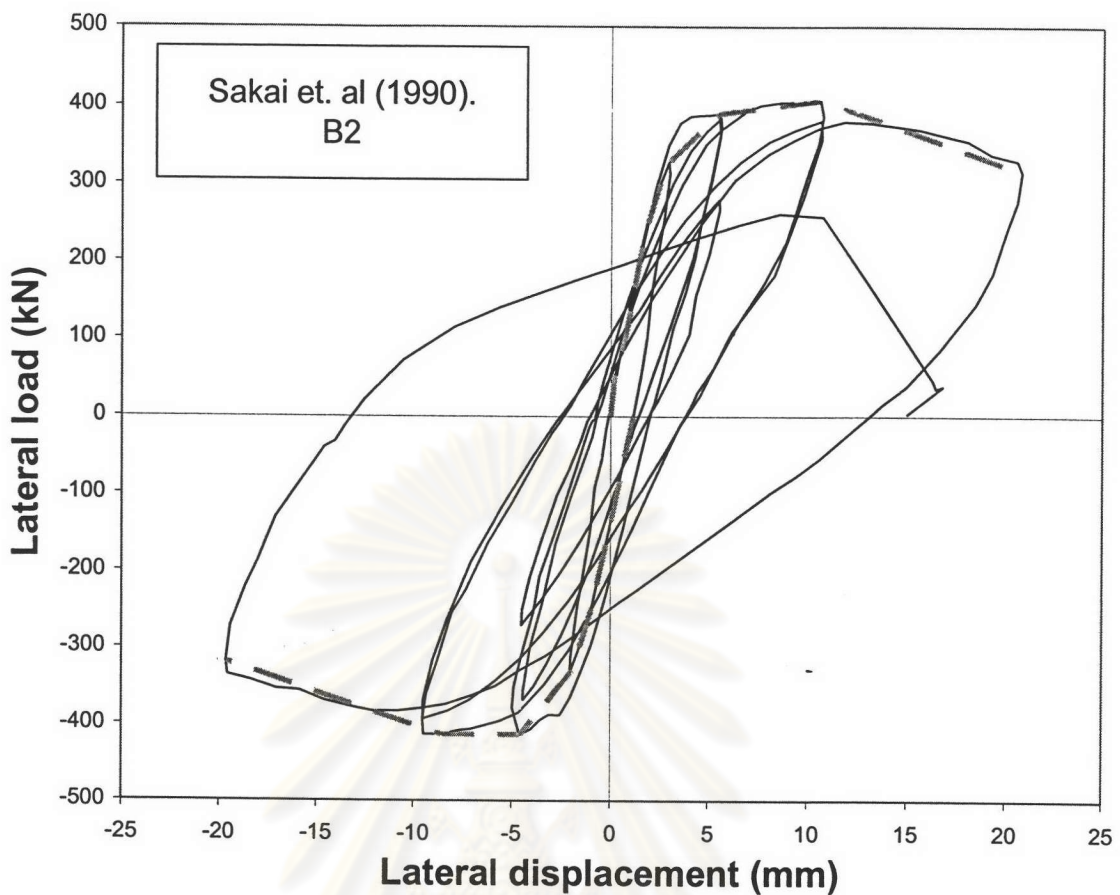
ศูนย์วิทยทรัพยากร จุฬาลงกรณ์มหาวิทยาลัย

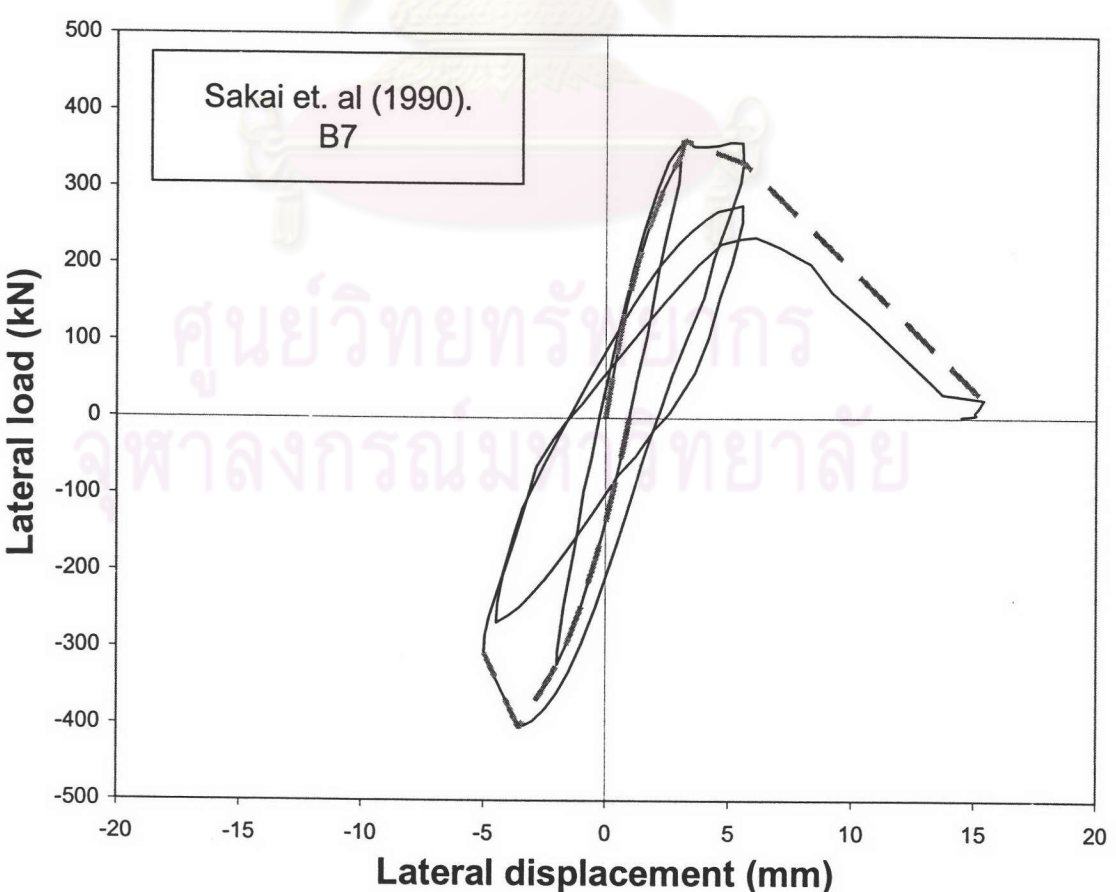
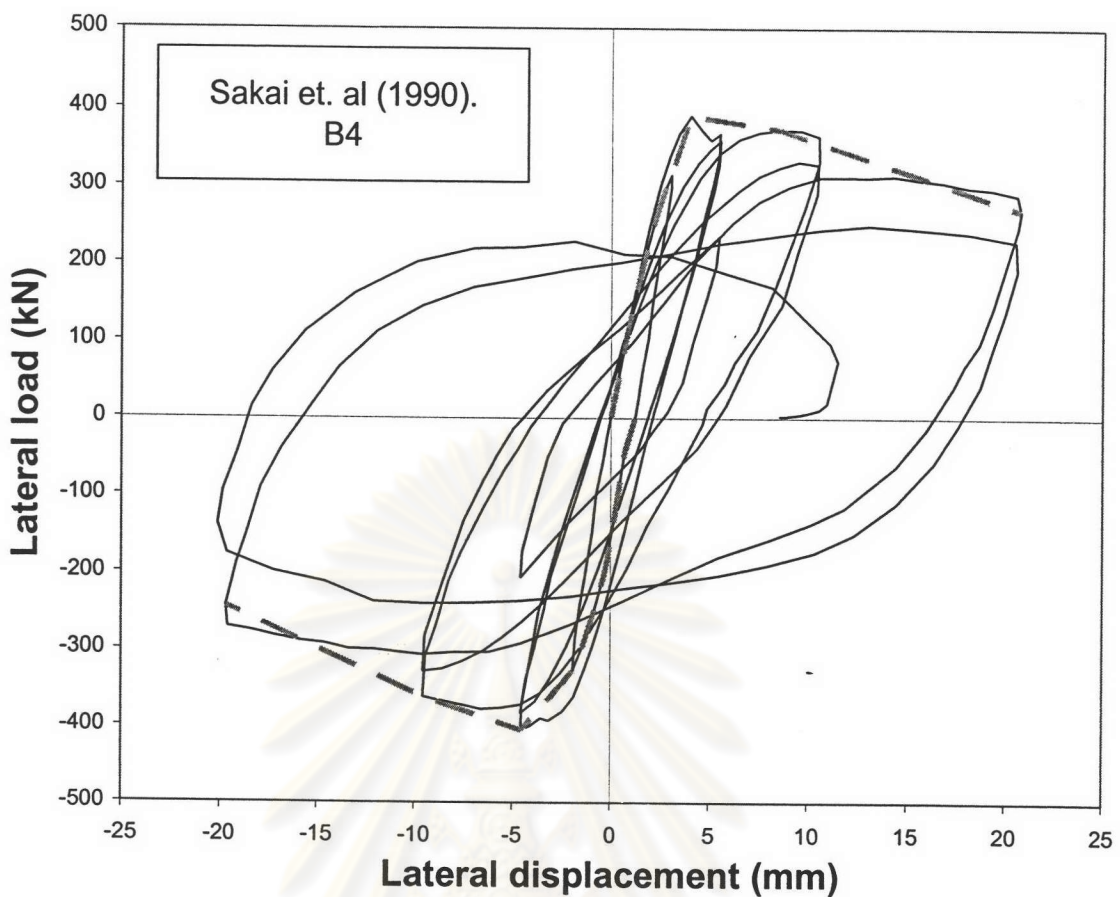
ภาคผนวก ก รูปเส้นโค้ง荷重ค่าเฉลี่ยของวงรอบอิสเทียรีชีสสำหรับเสาทดสอบที่มีข้อมูลเชิงเลข

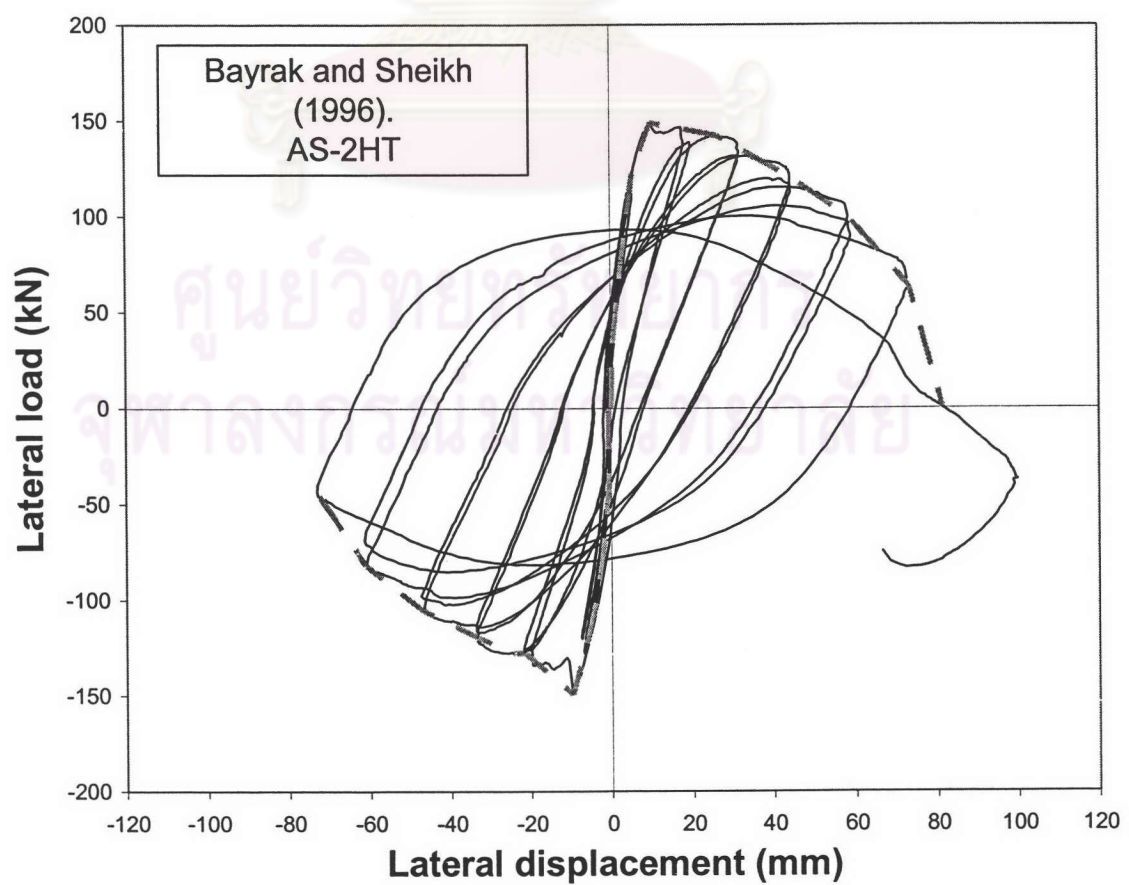
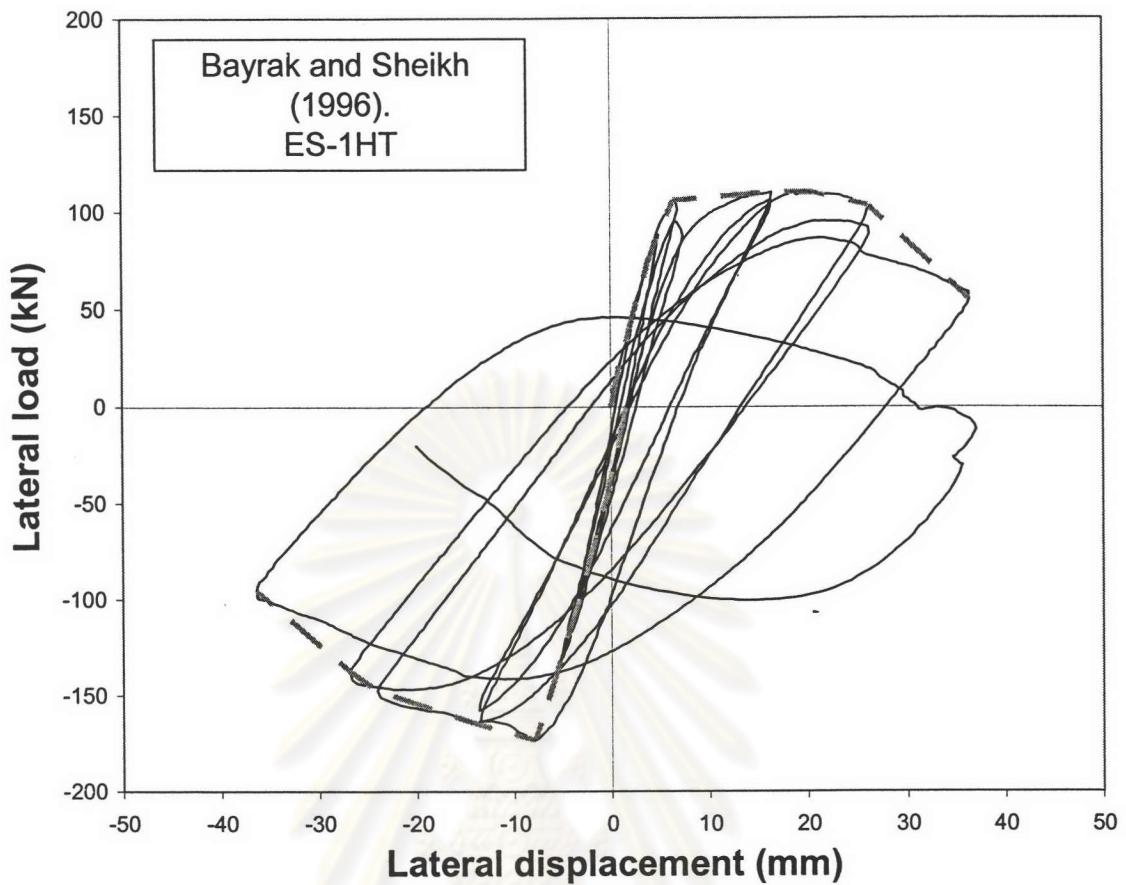


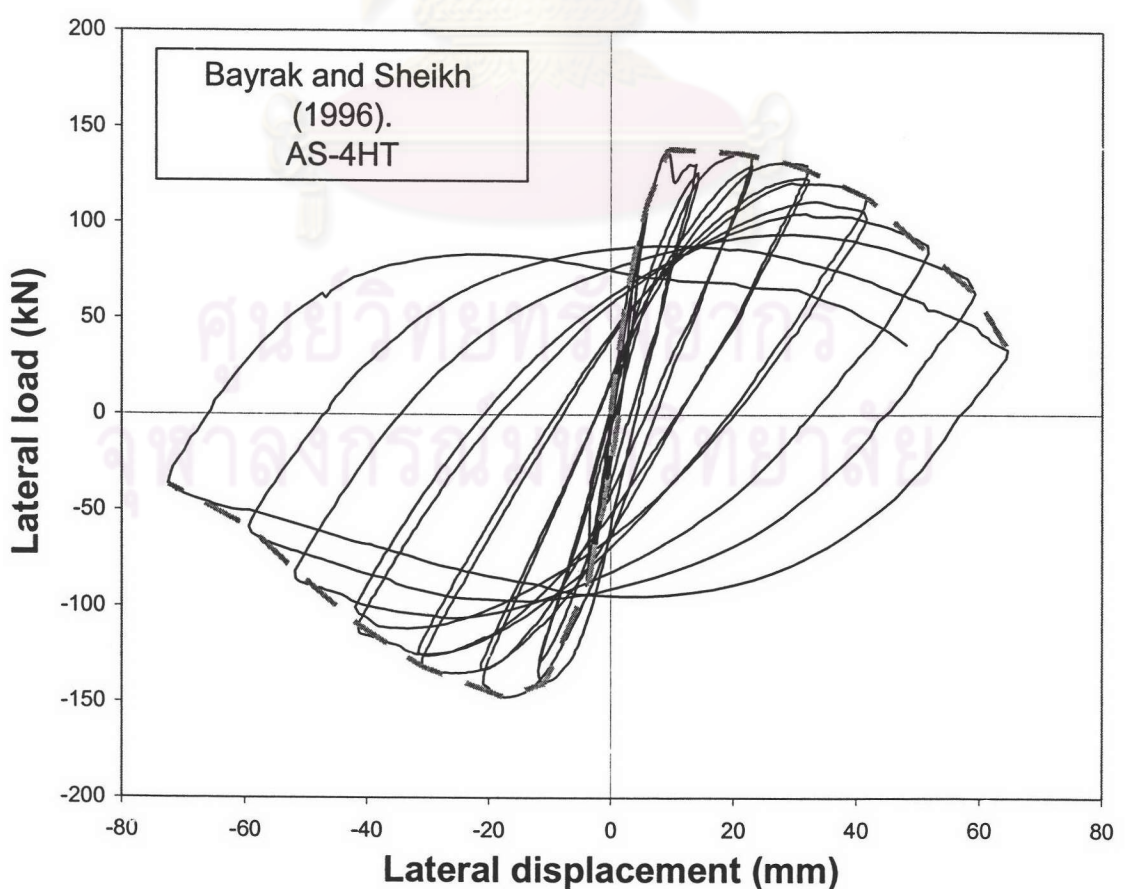
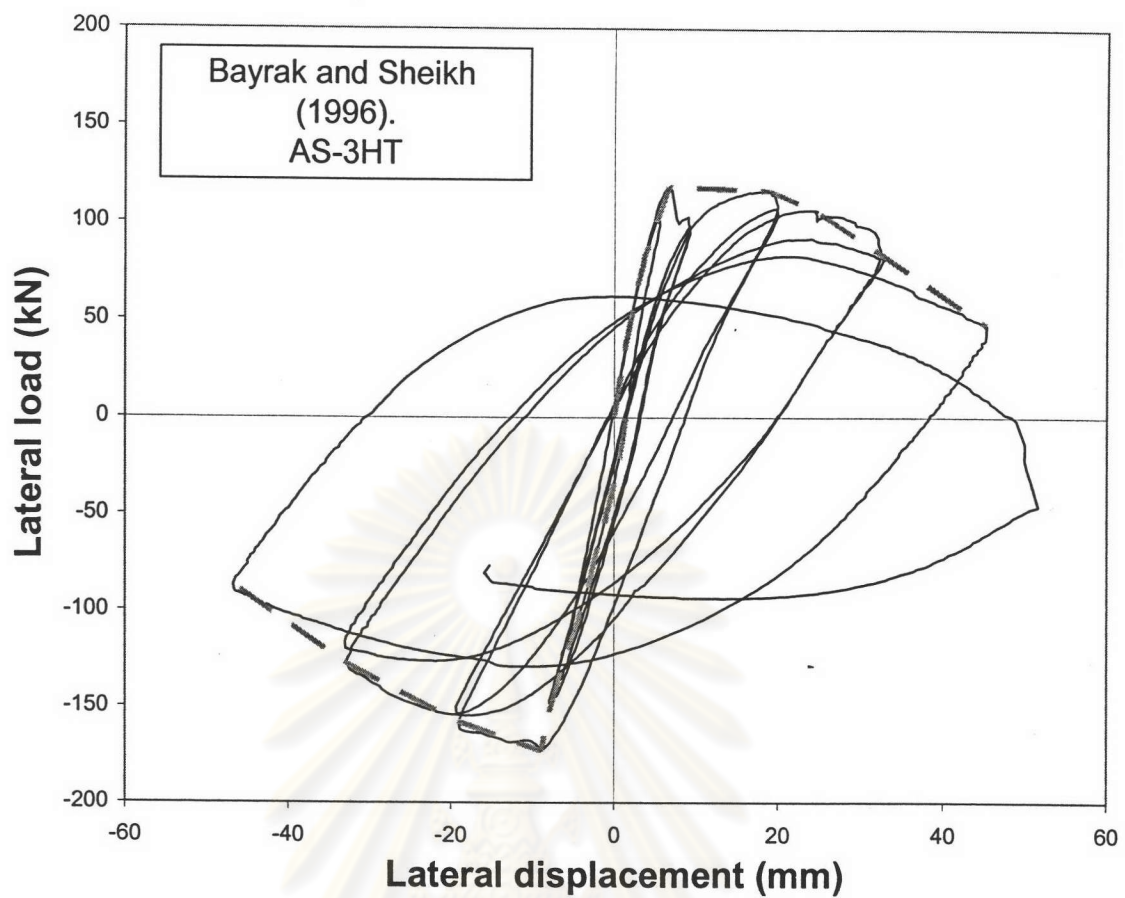


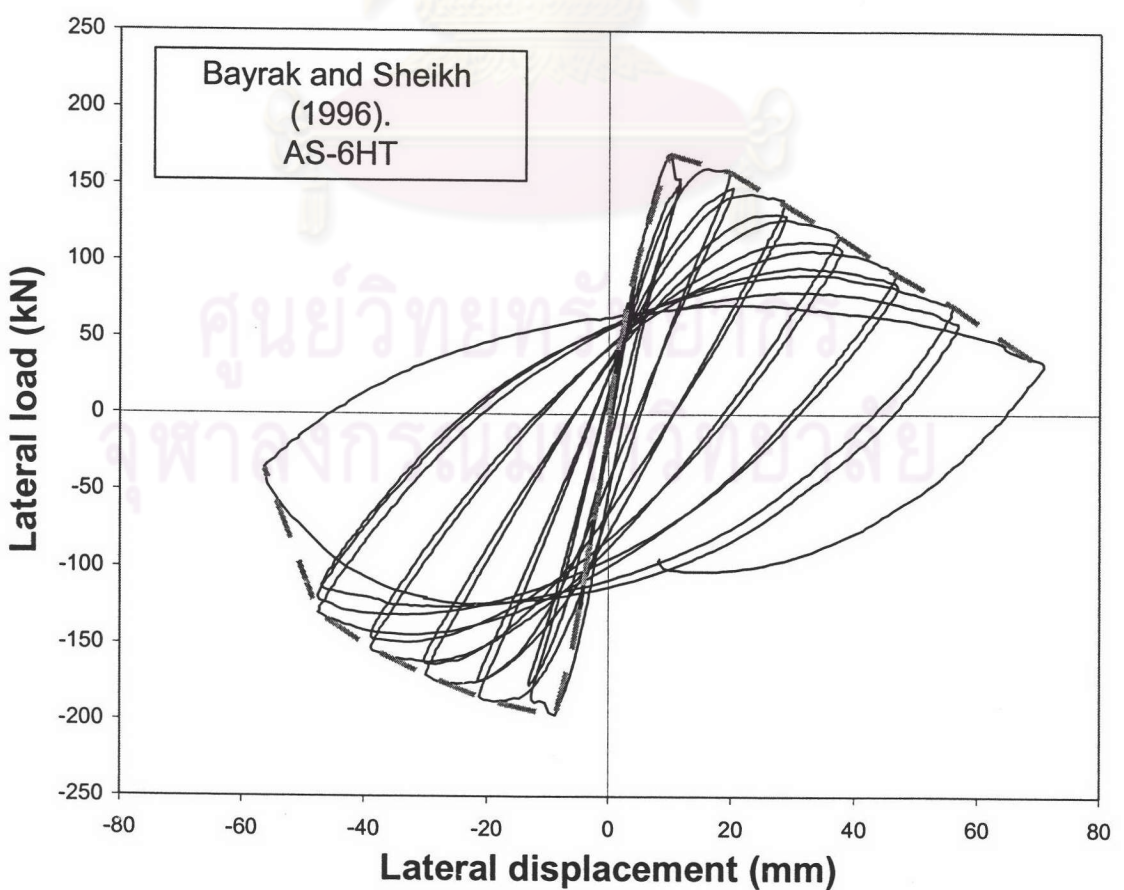
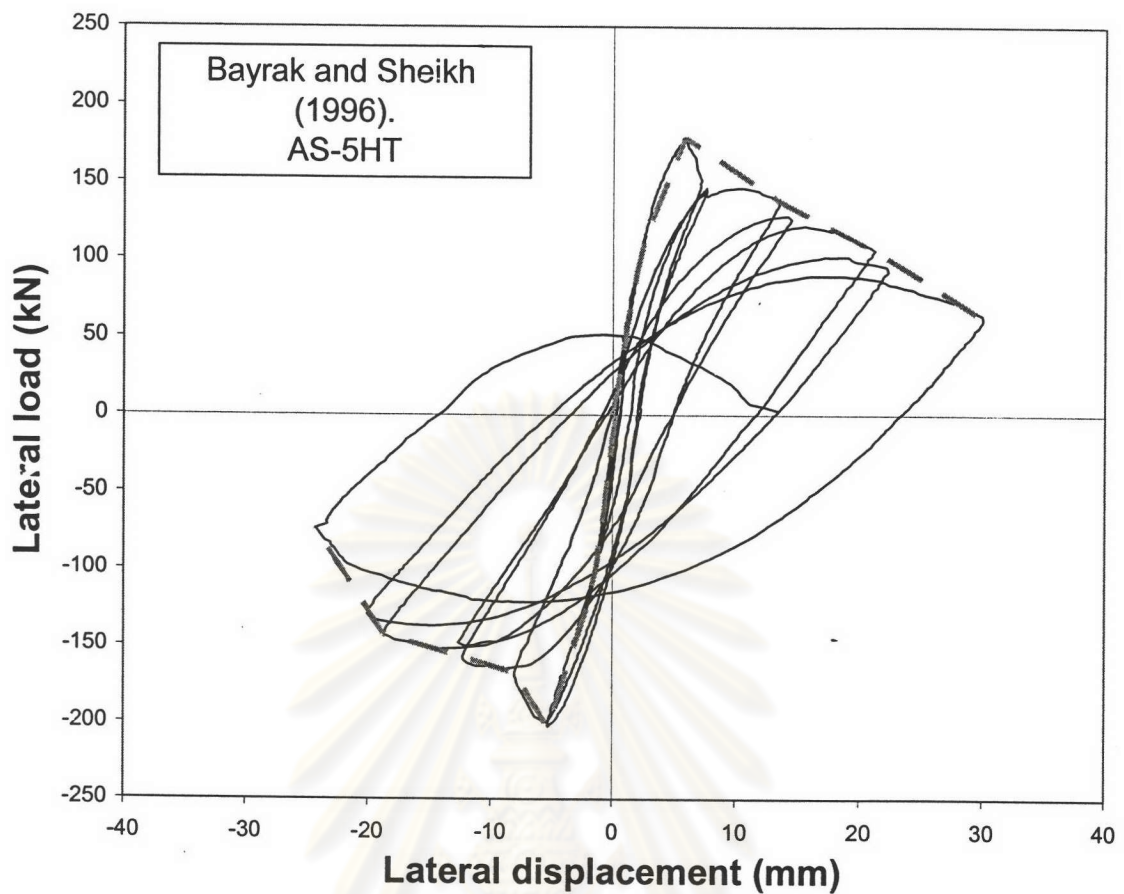


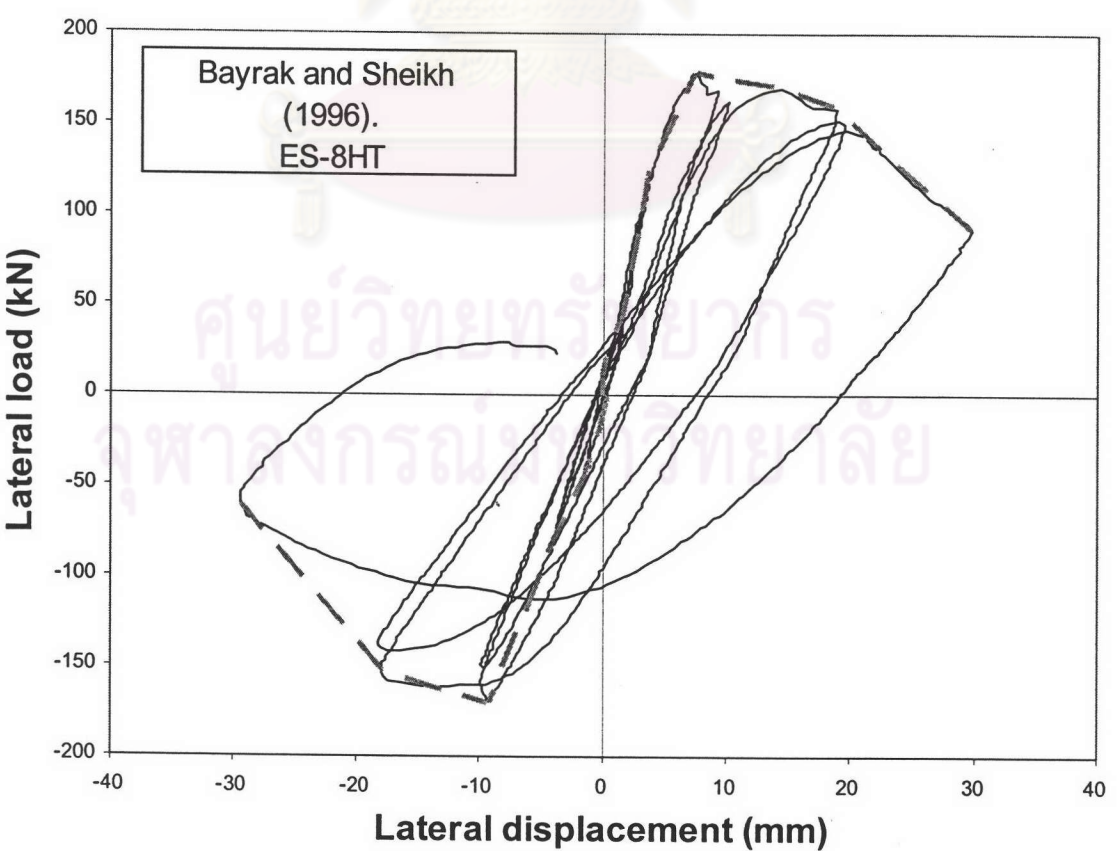
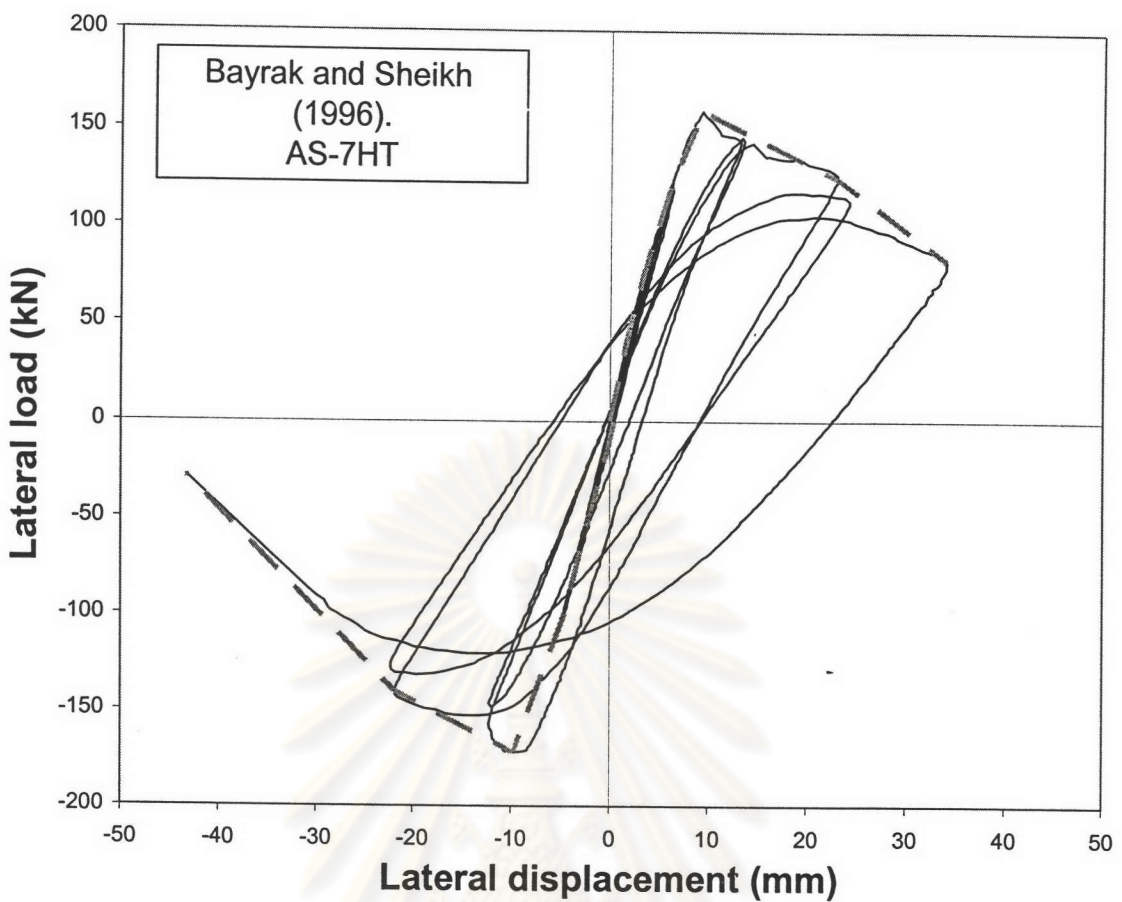


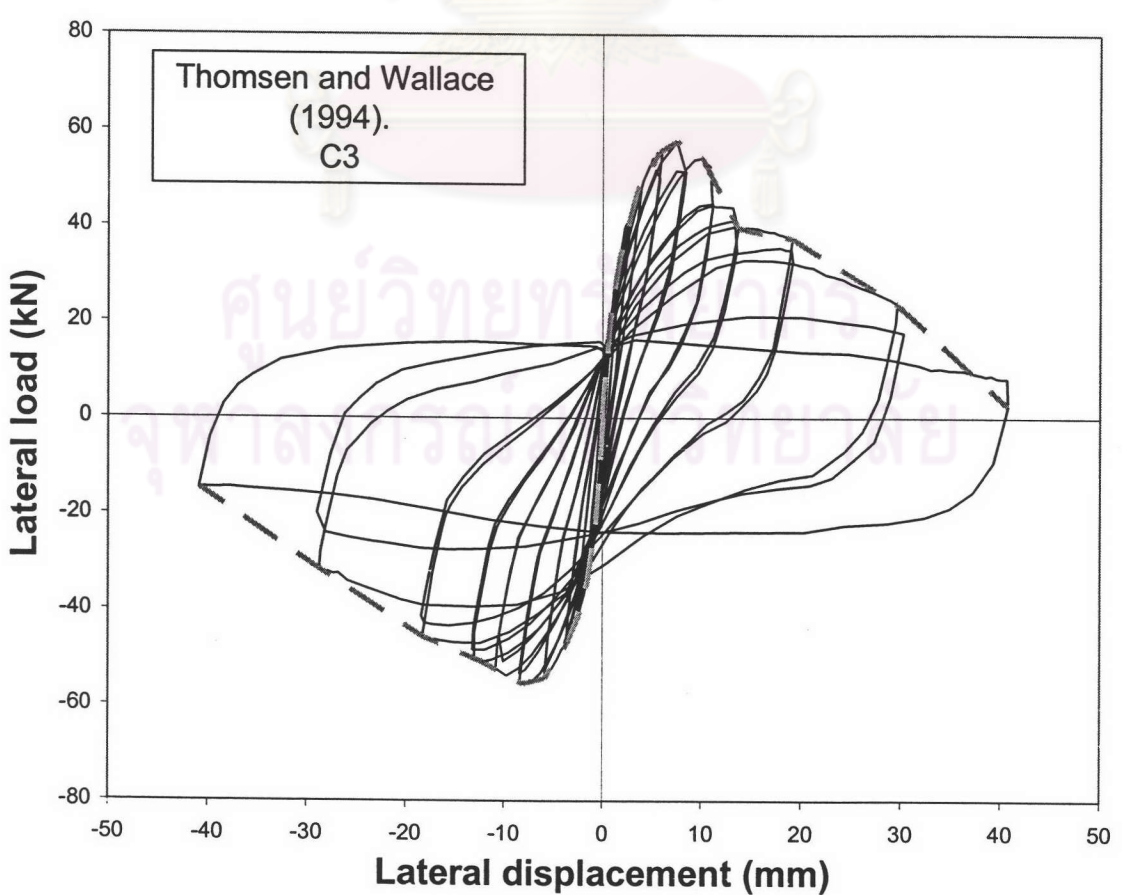
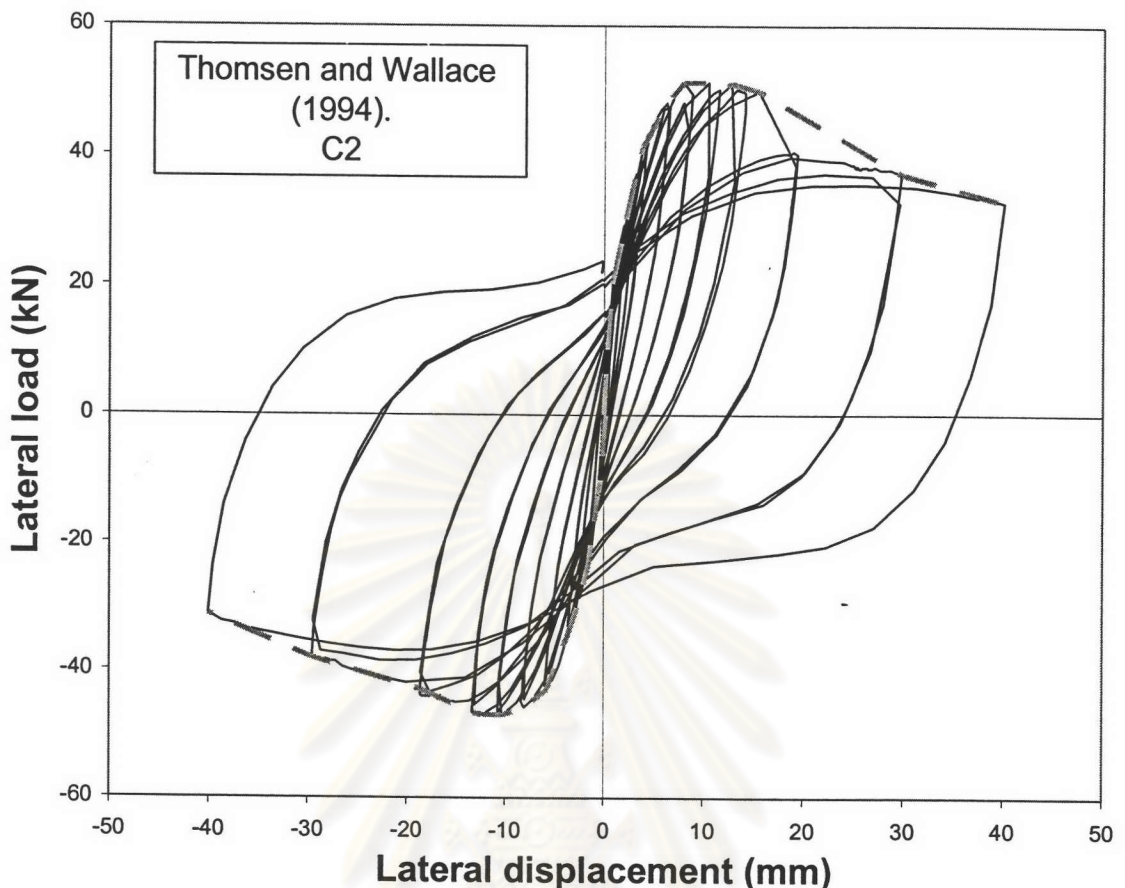


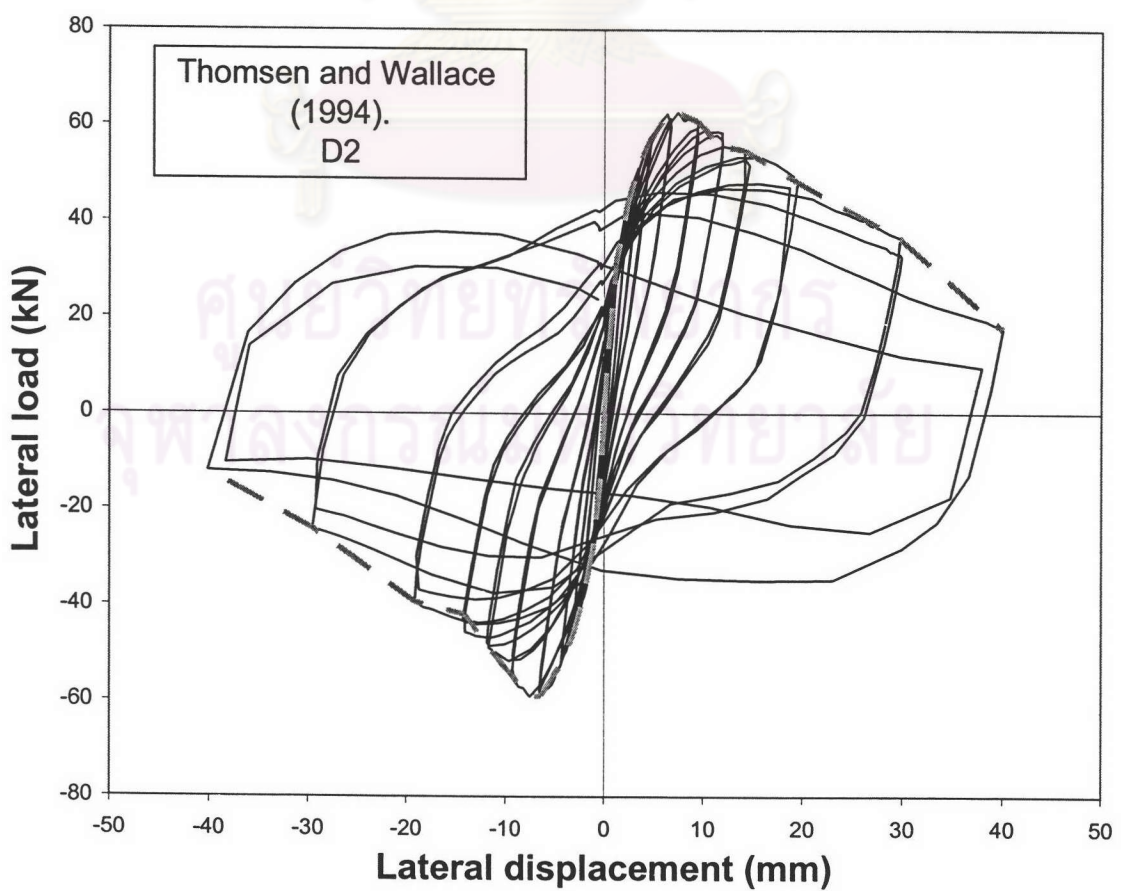
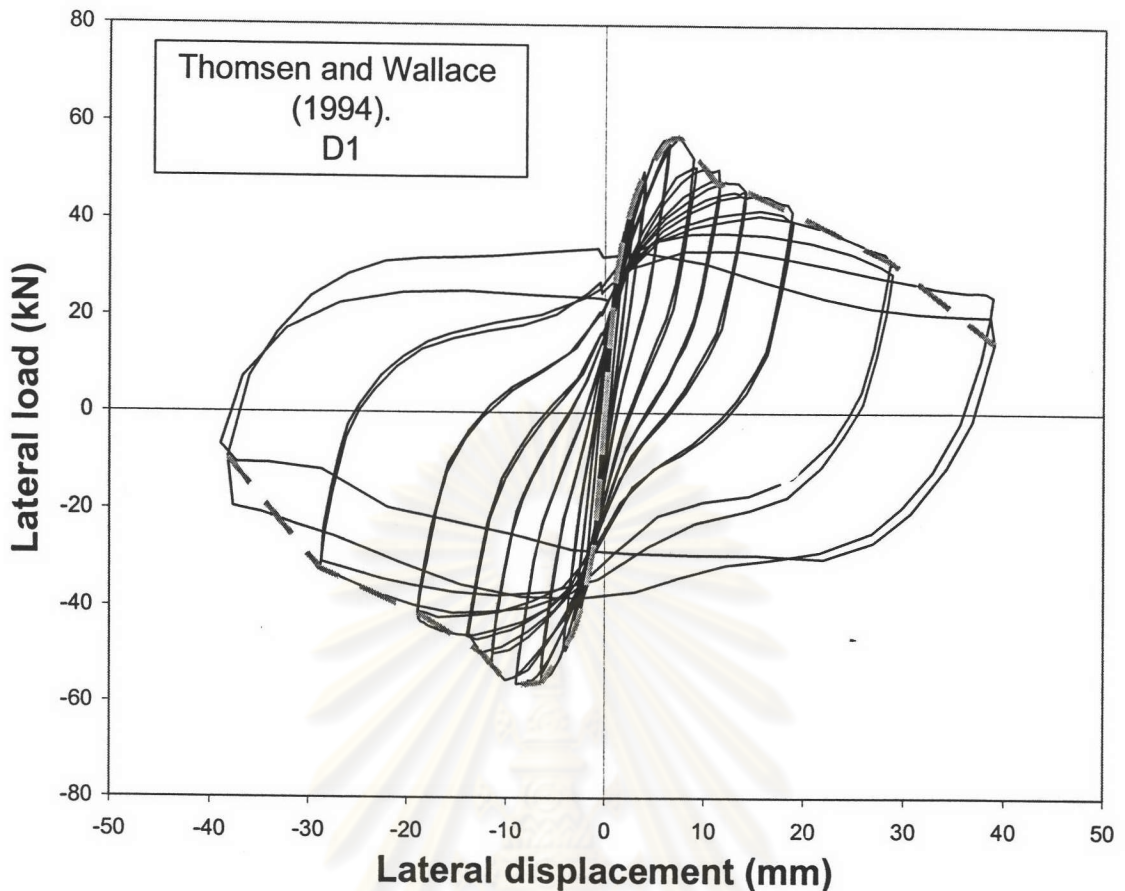


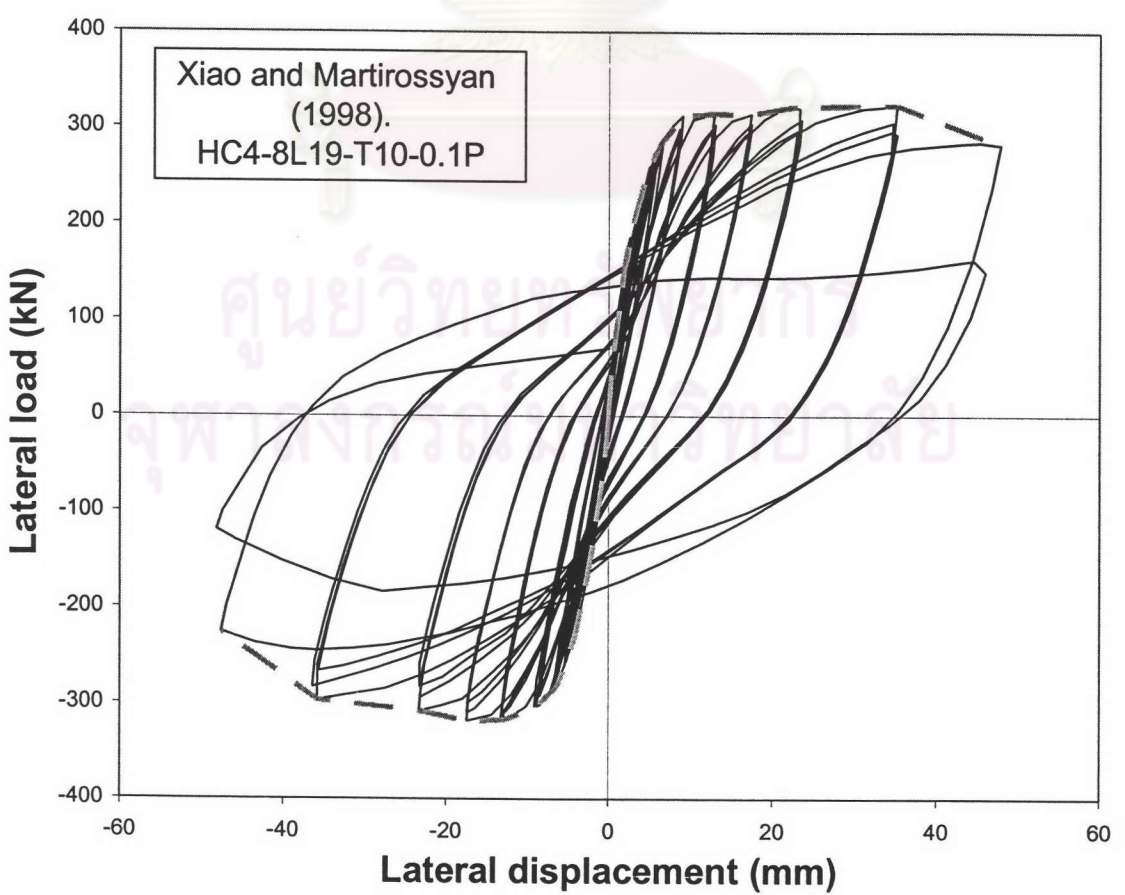
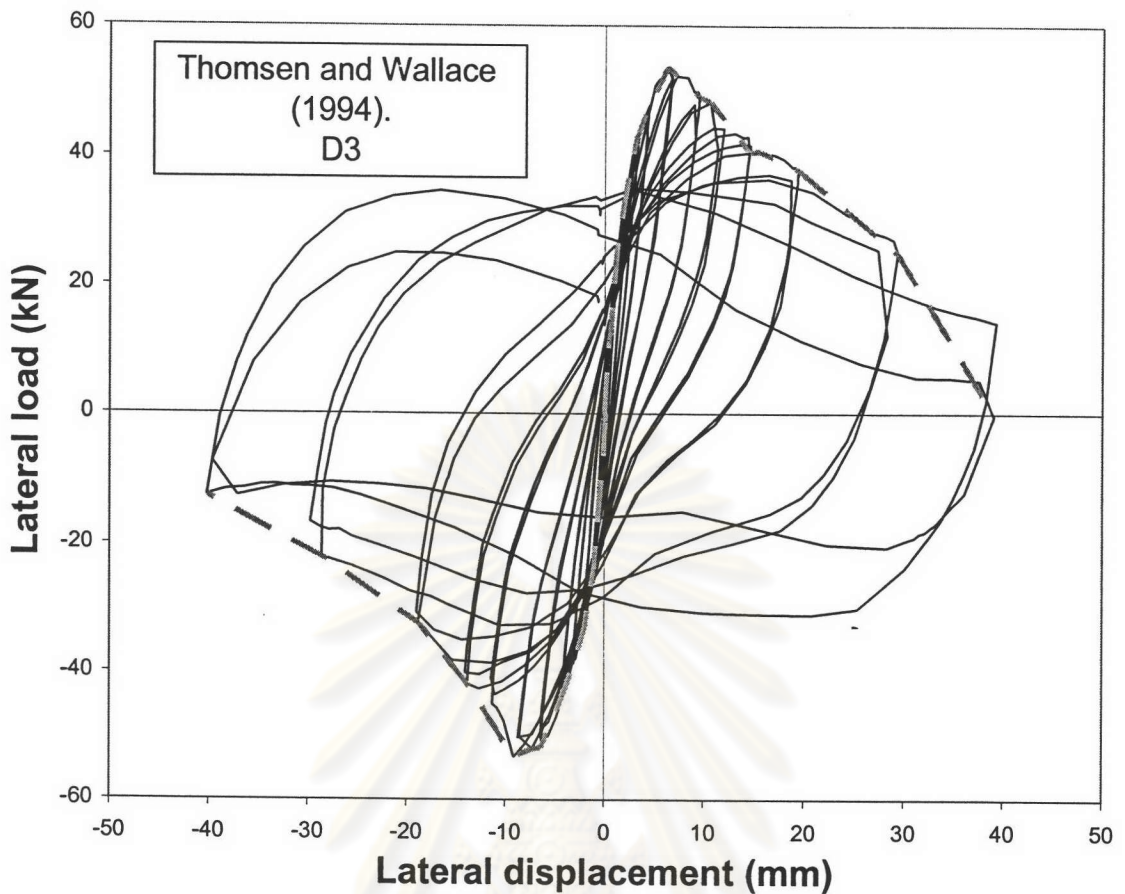


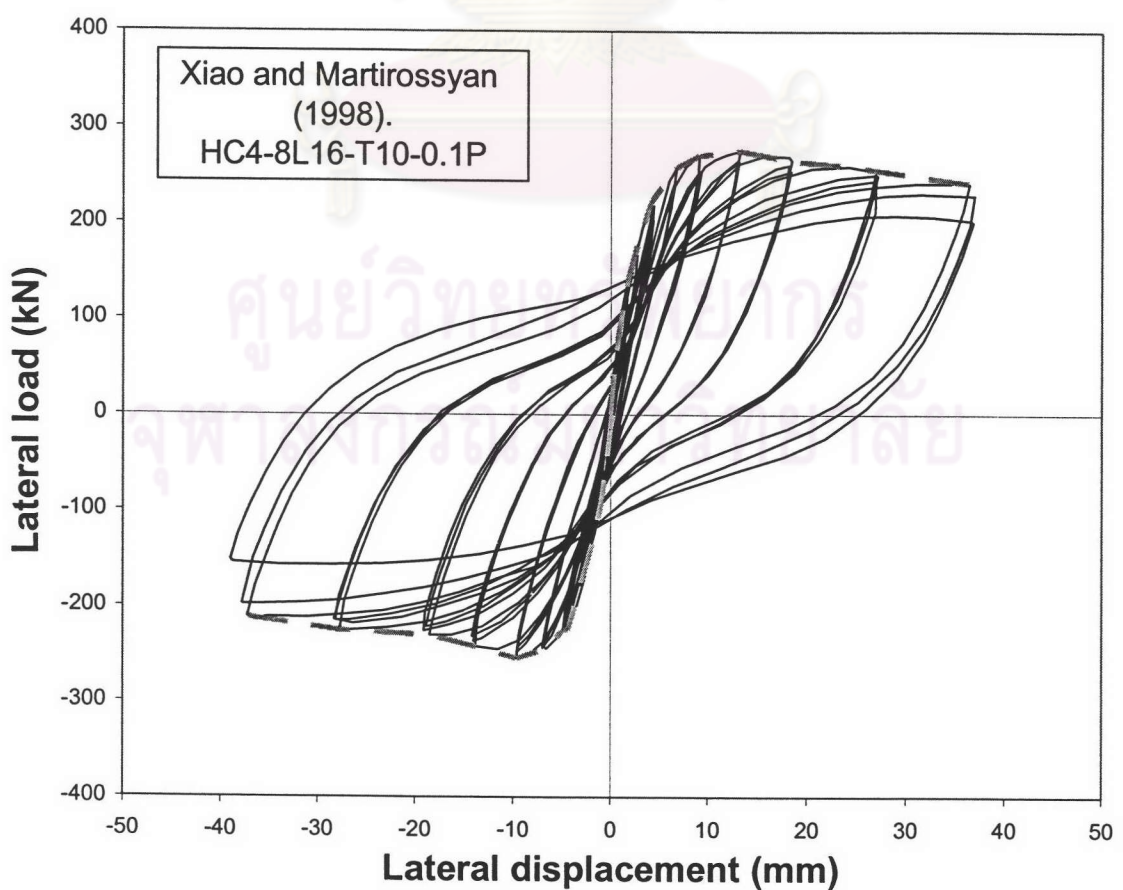
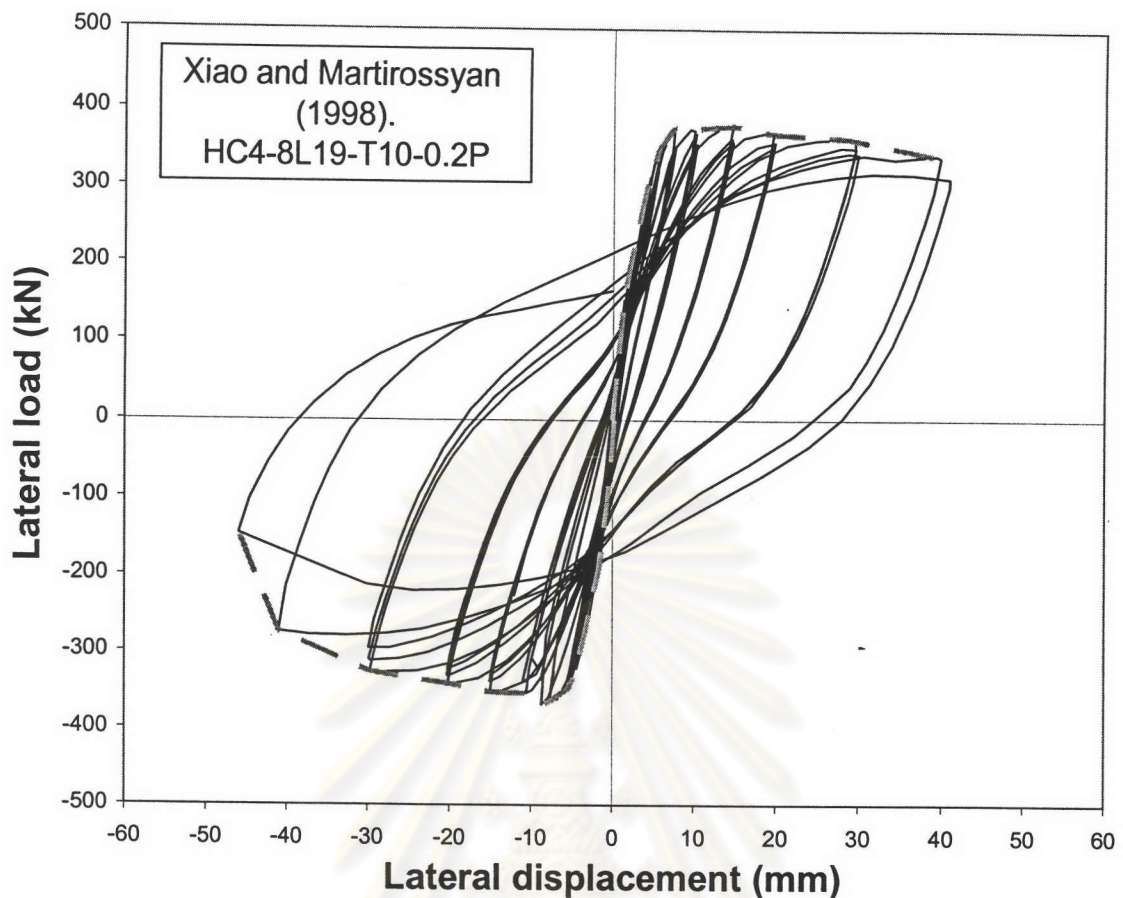


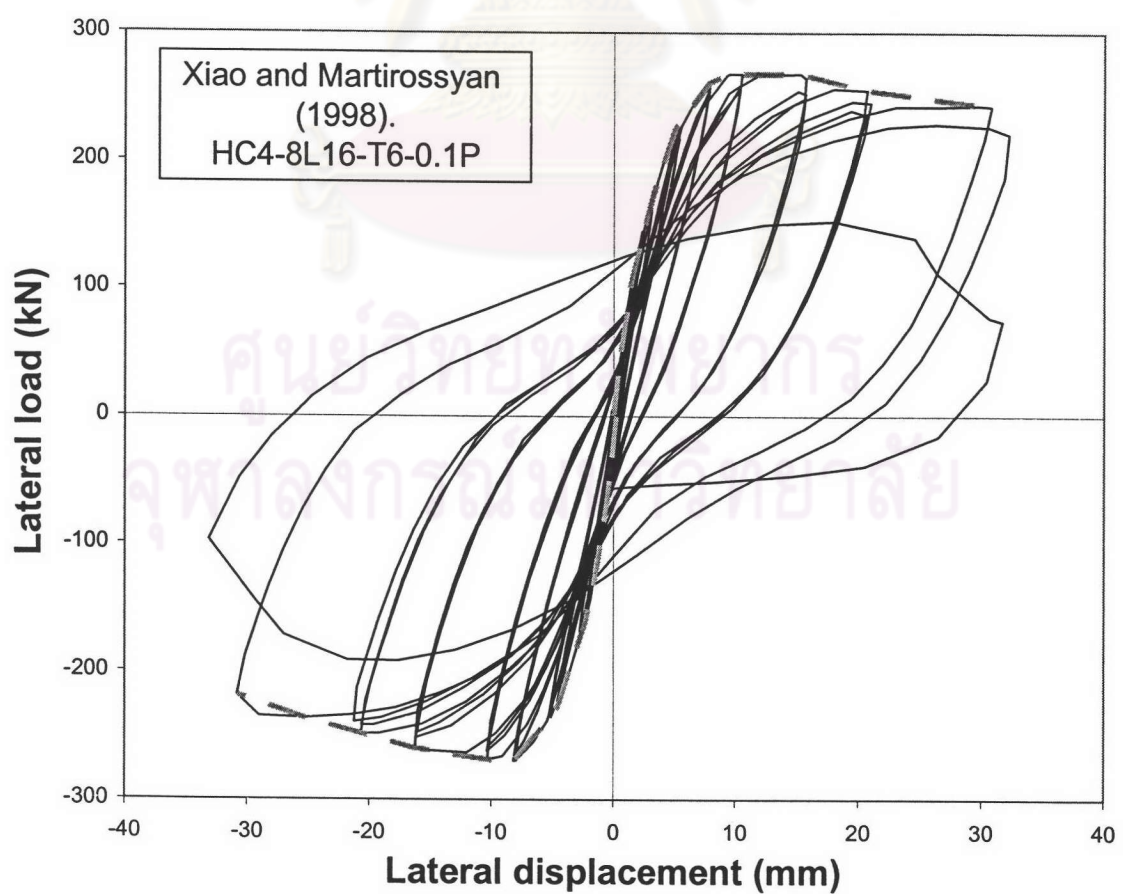
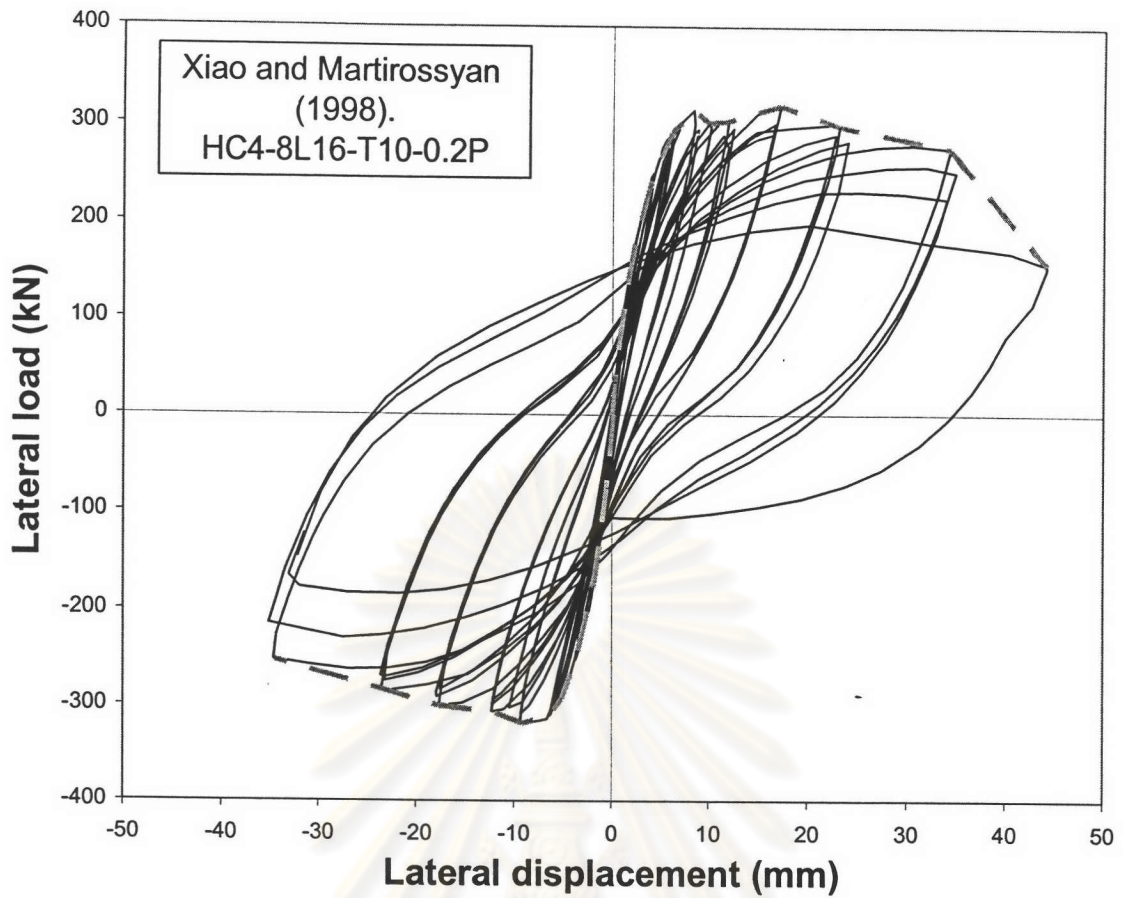


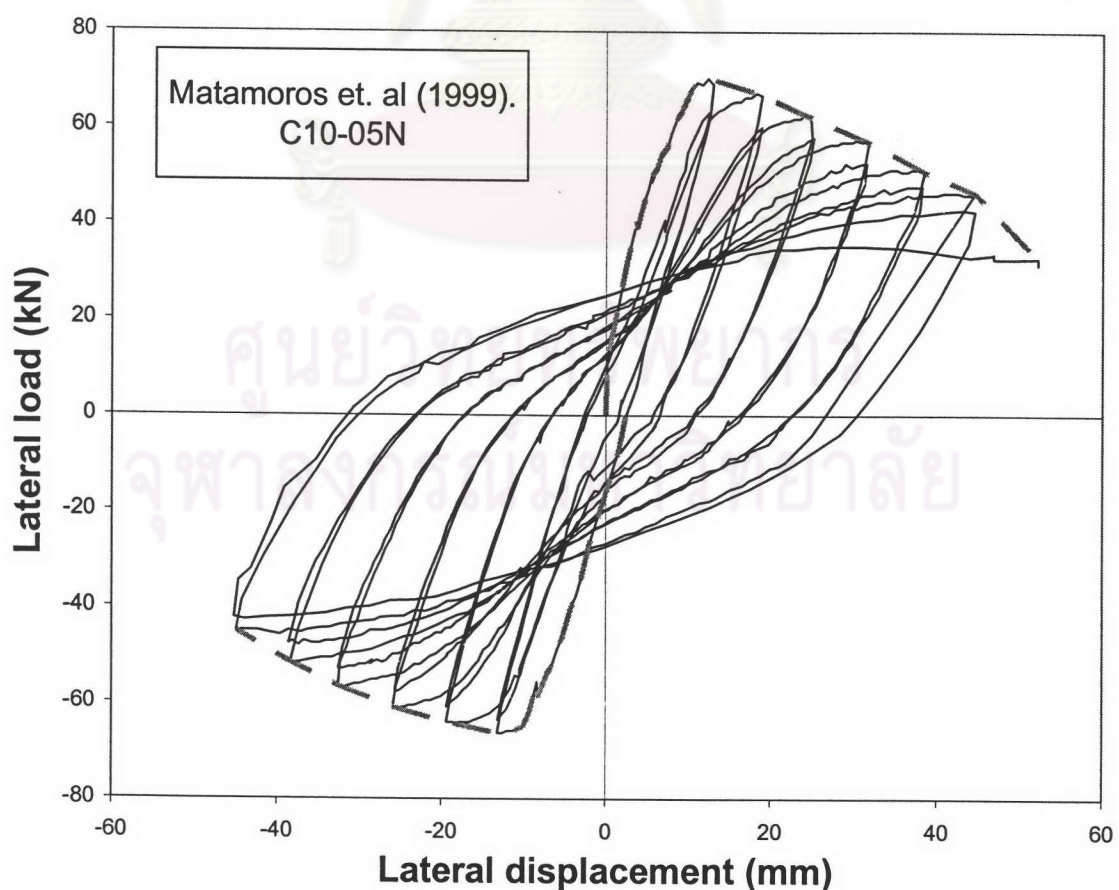
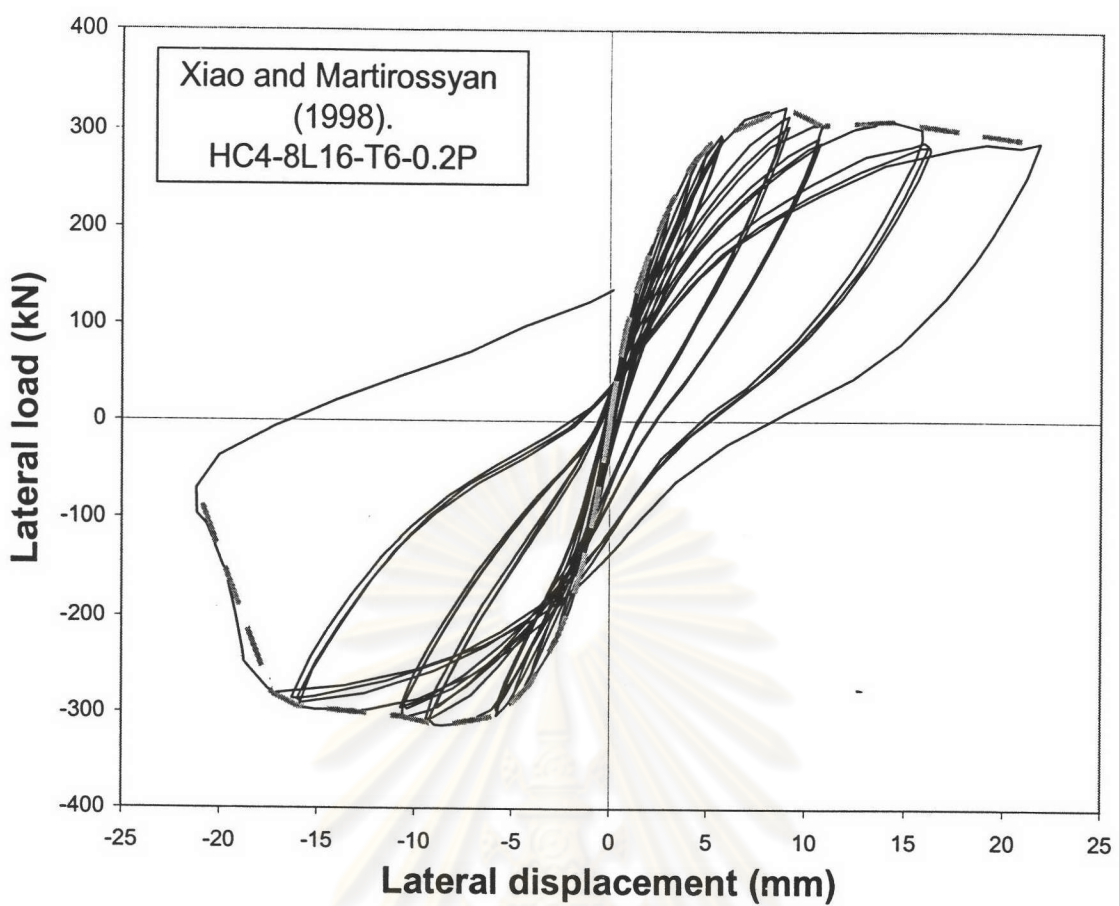


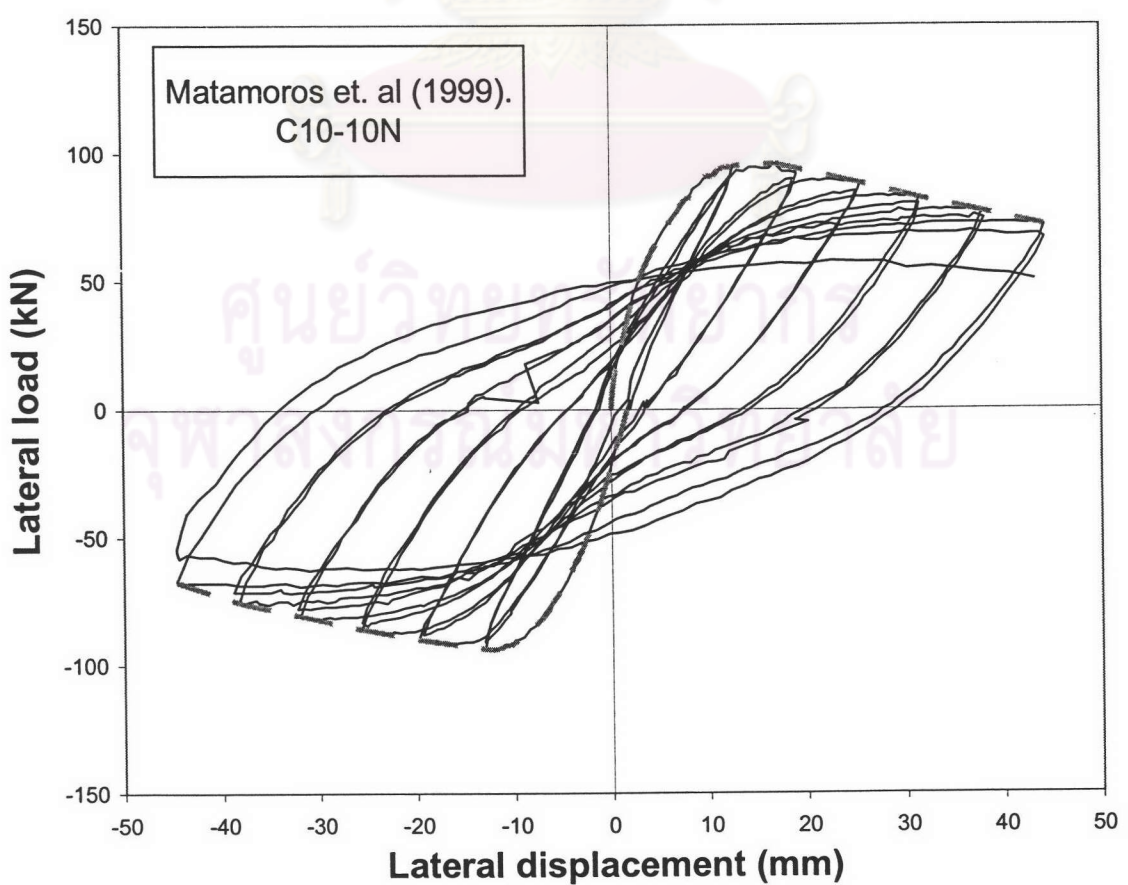
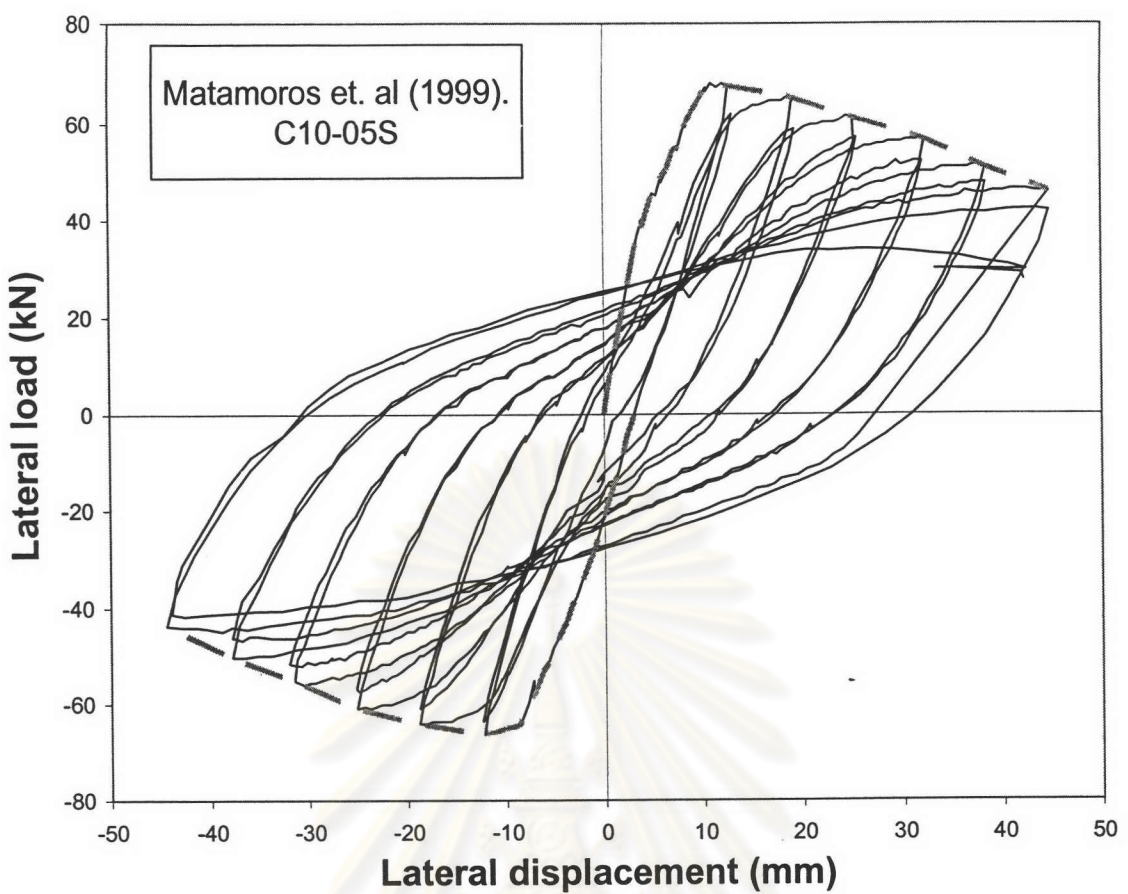


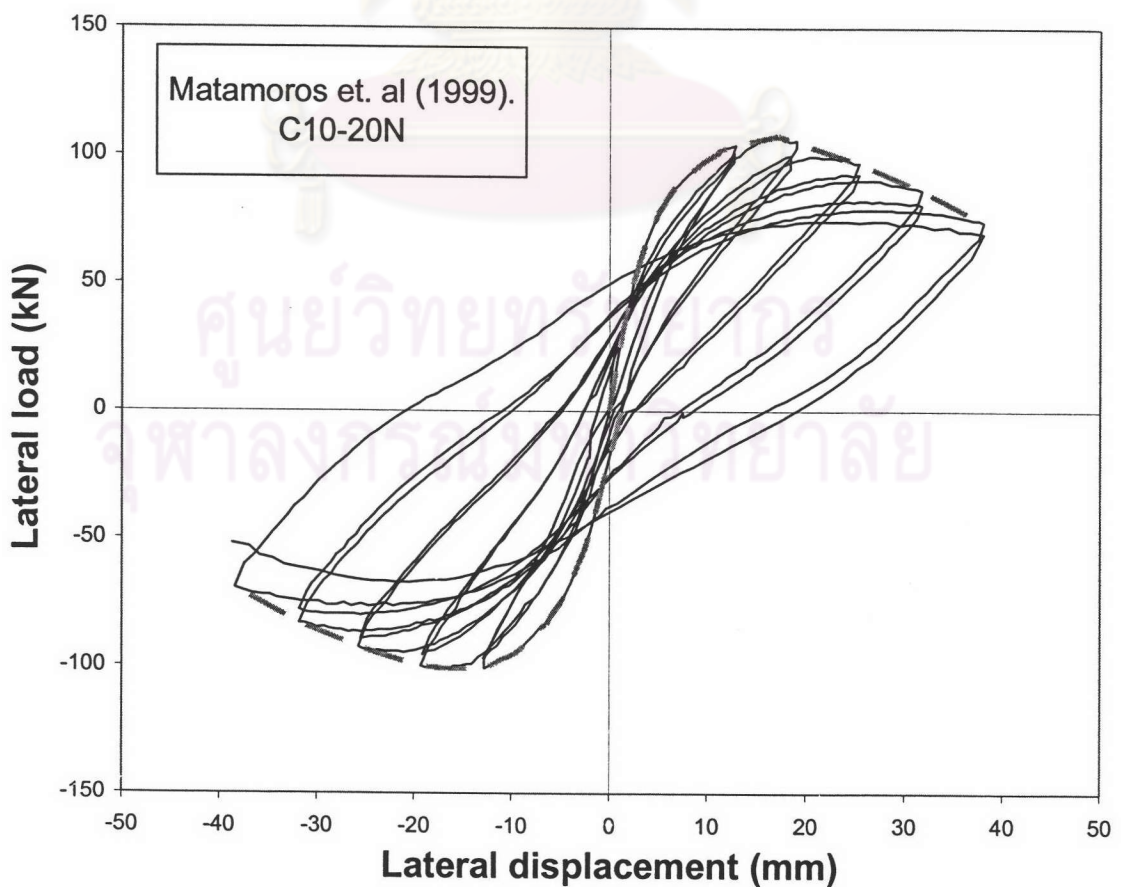
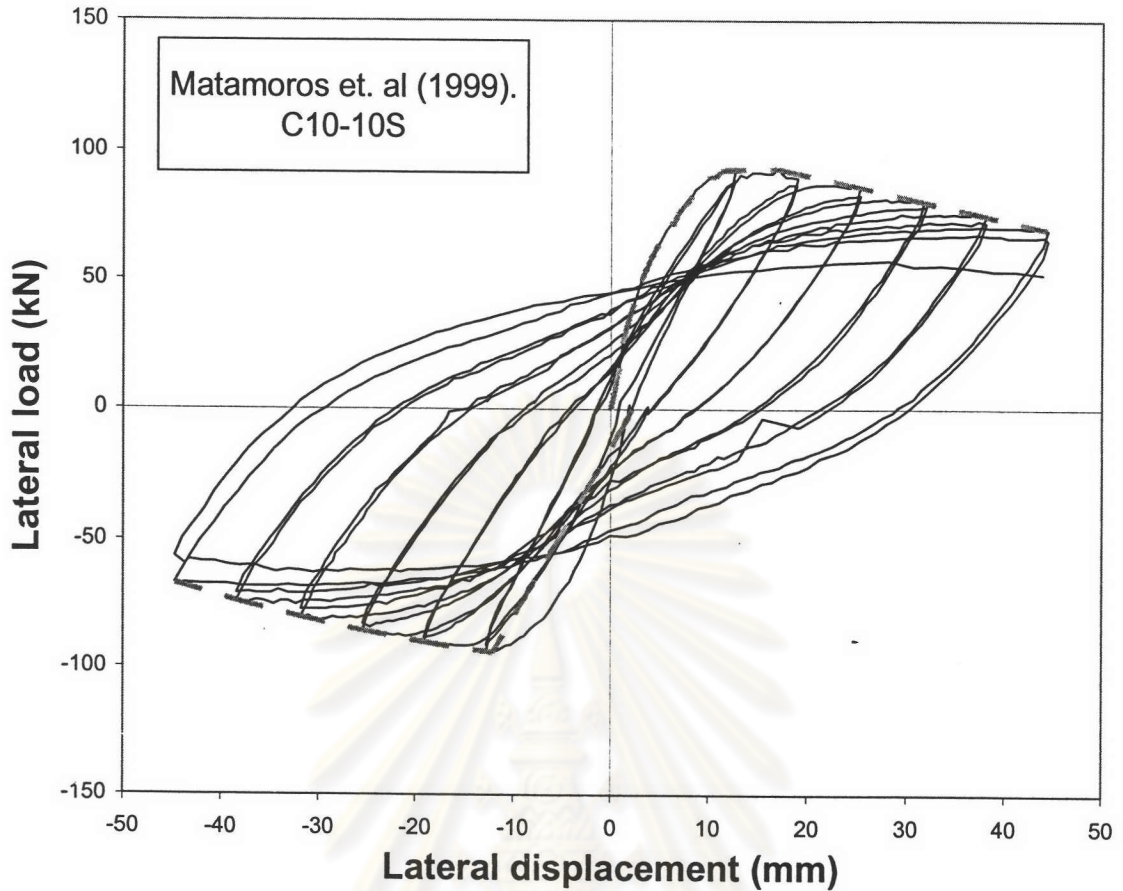


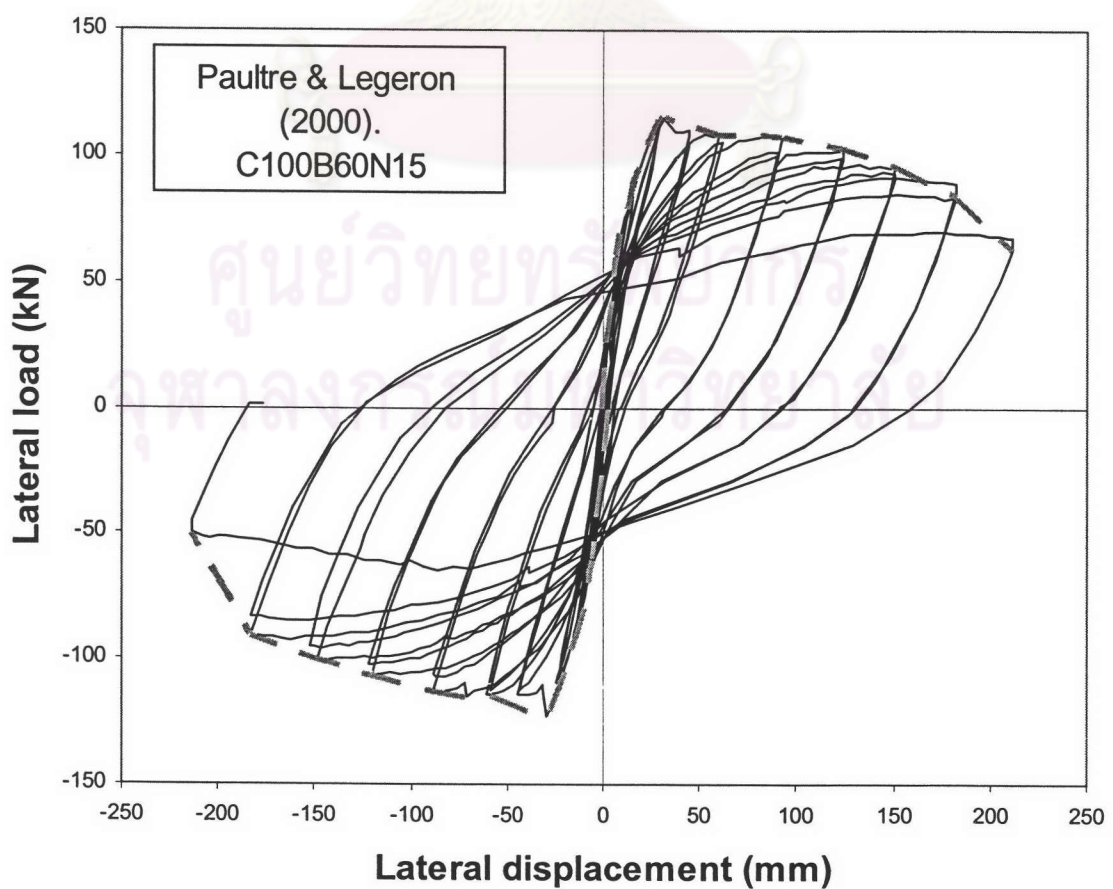
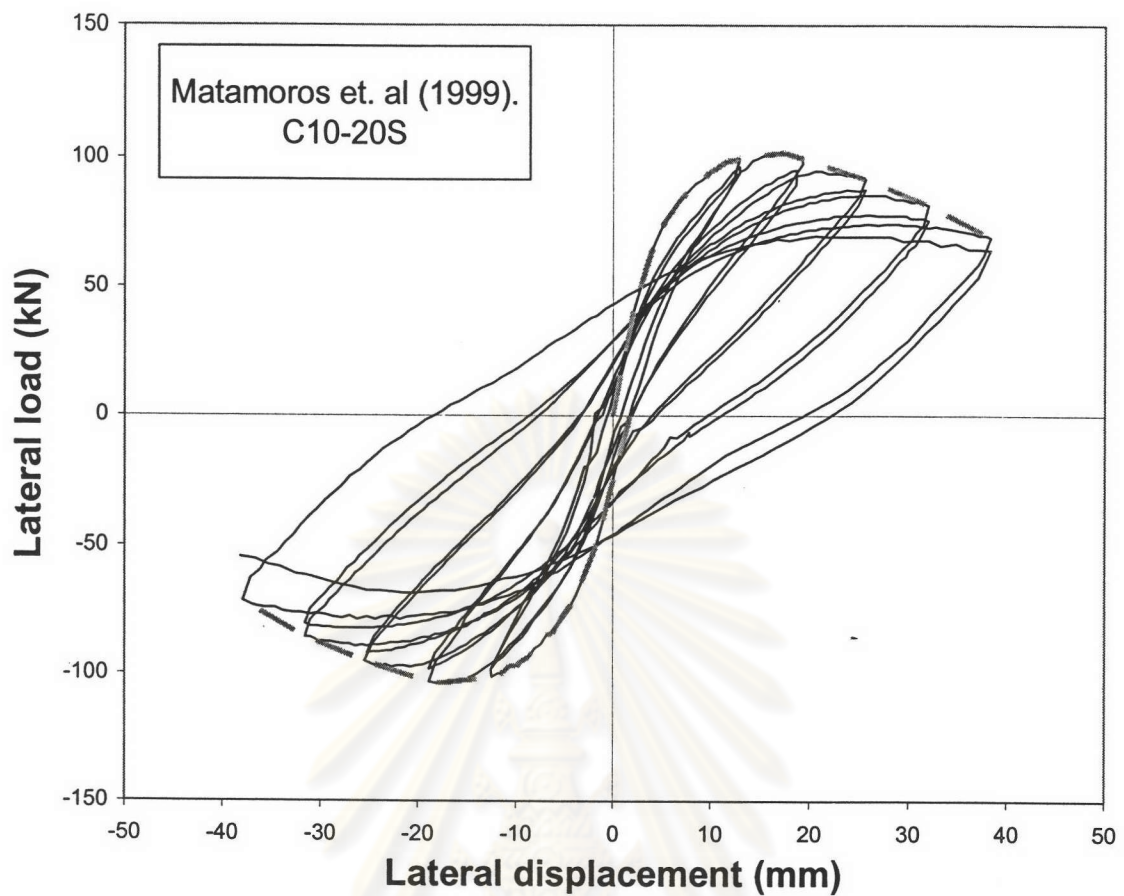


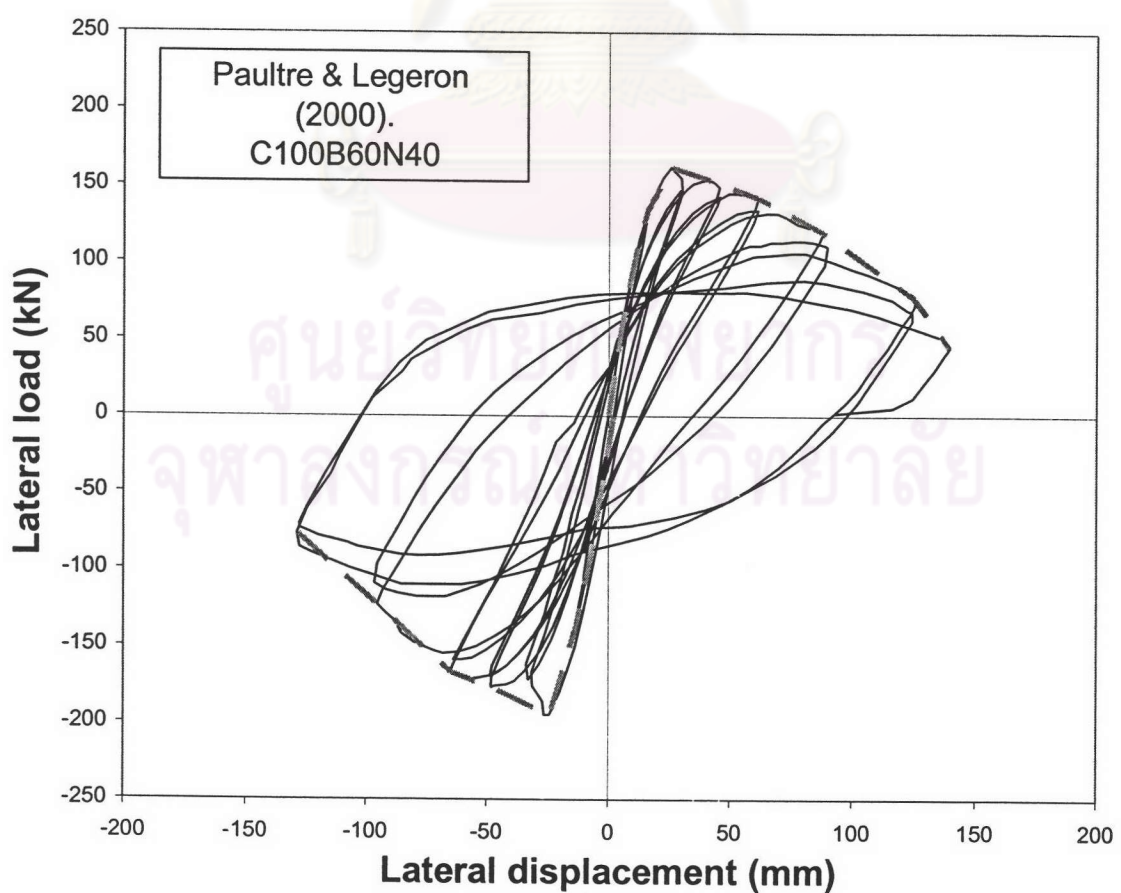
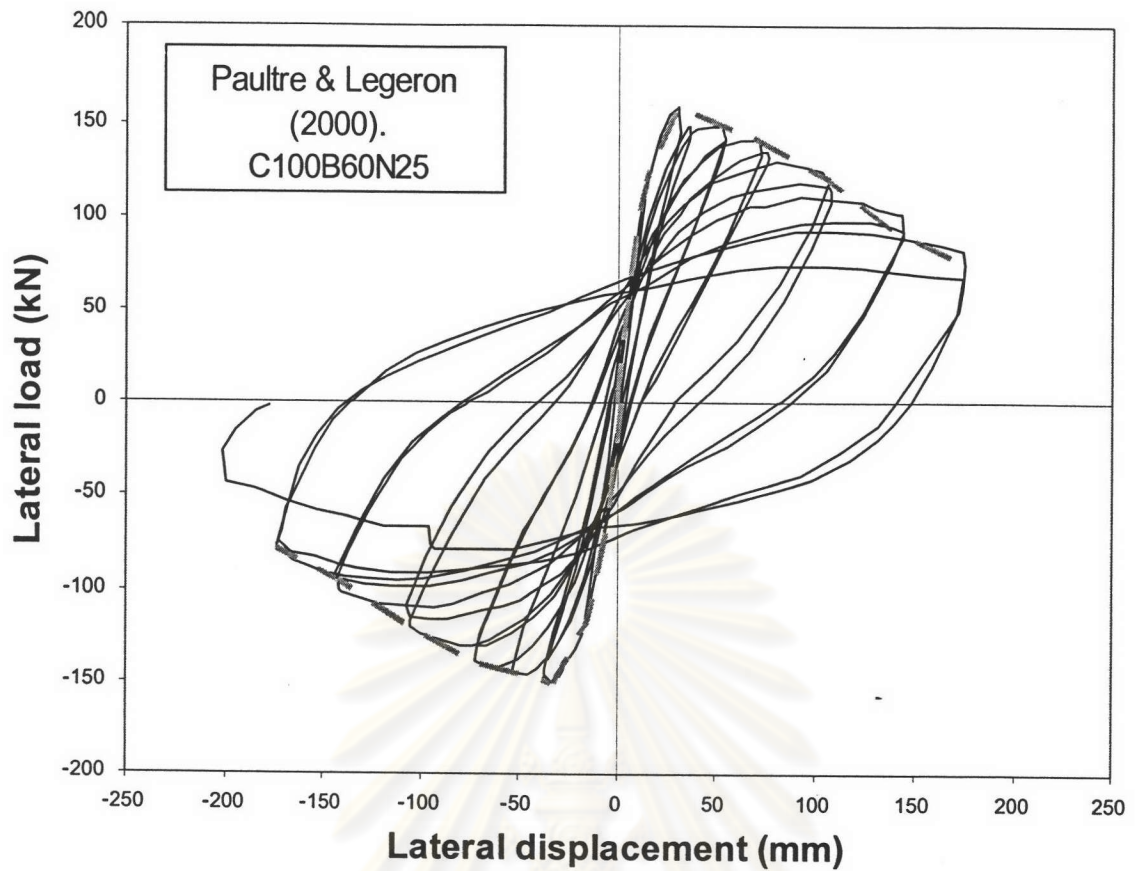


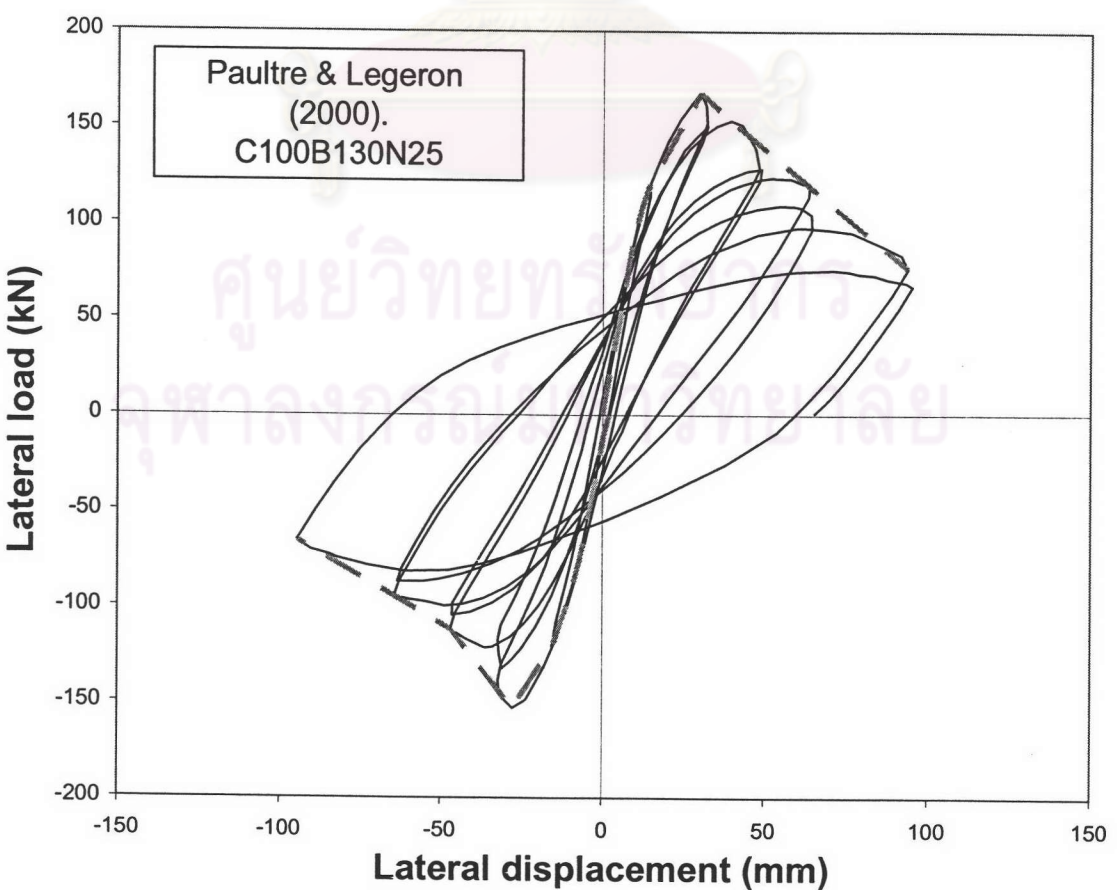
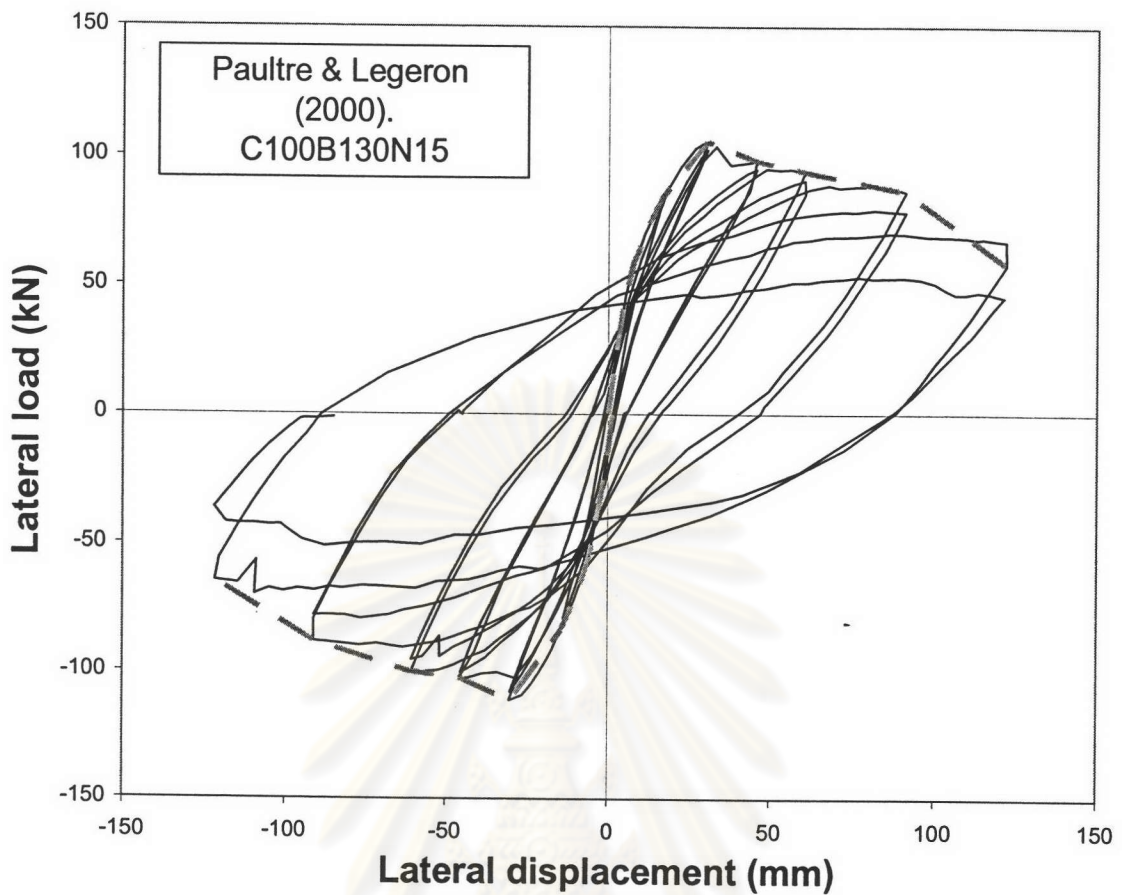


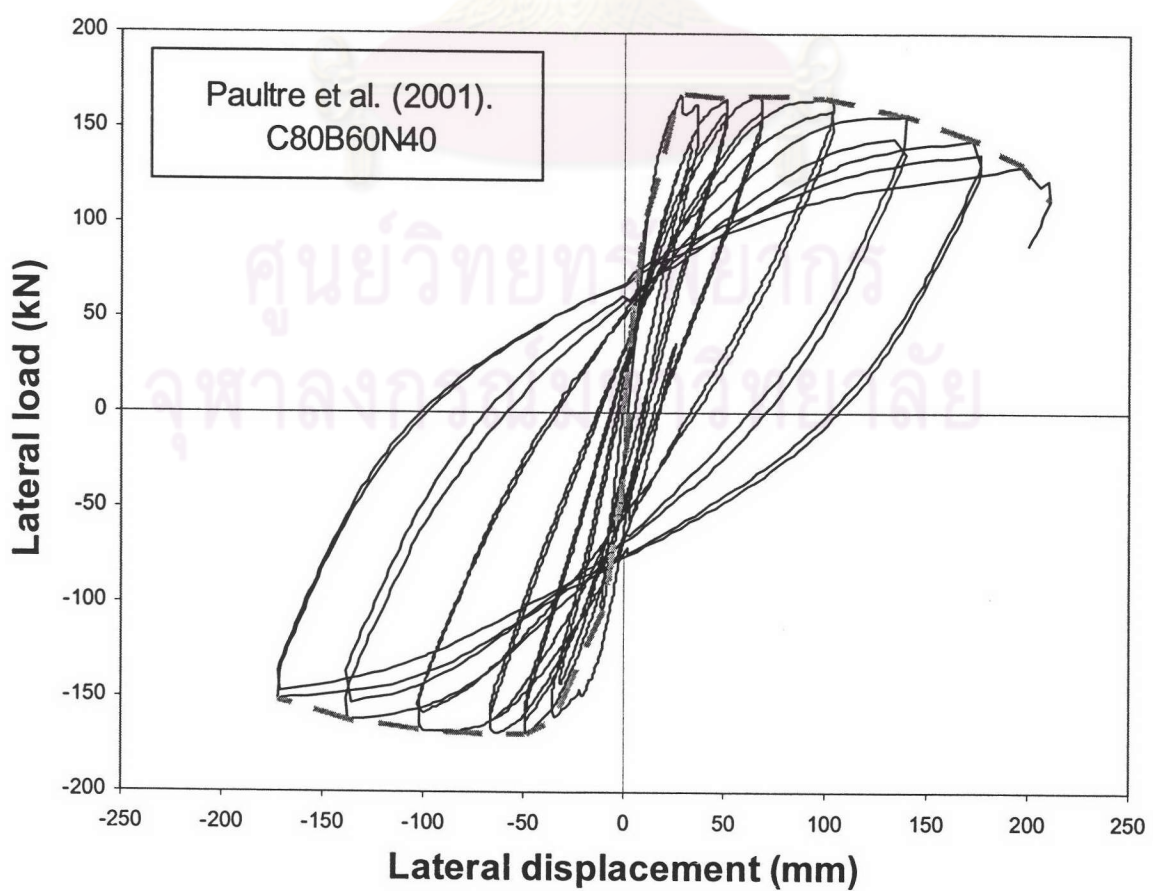
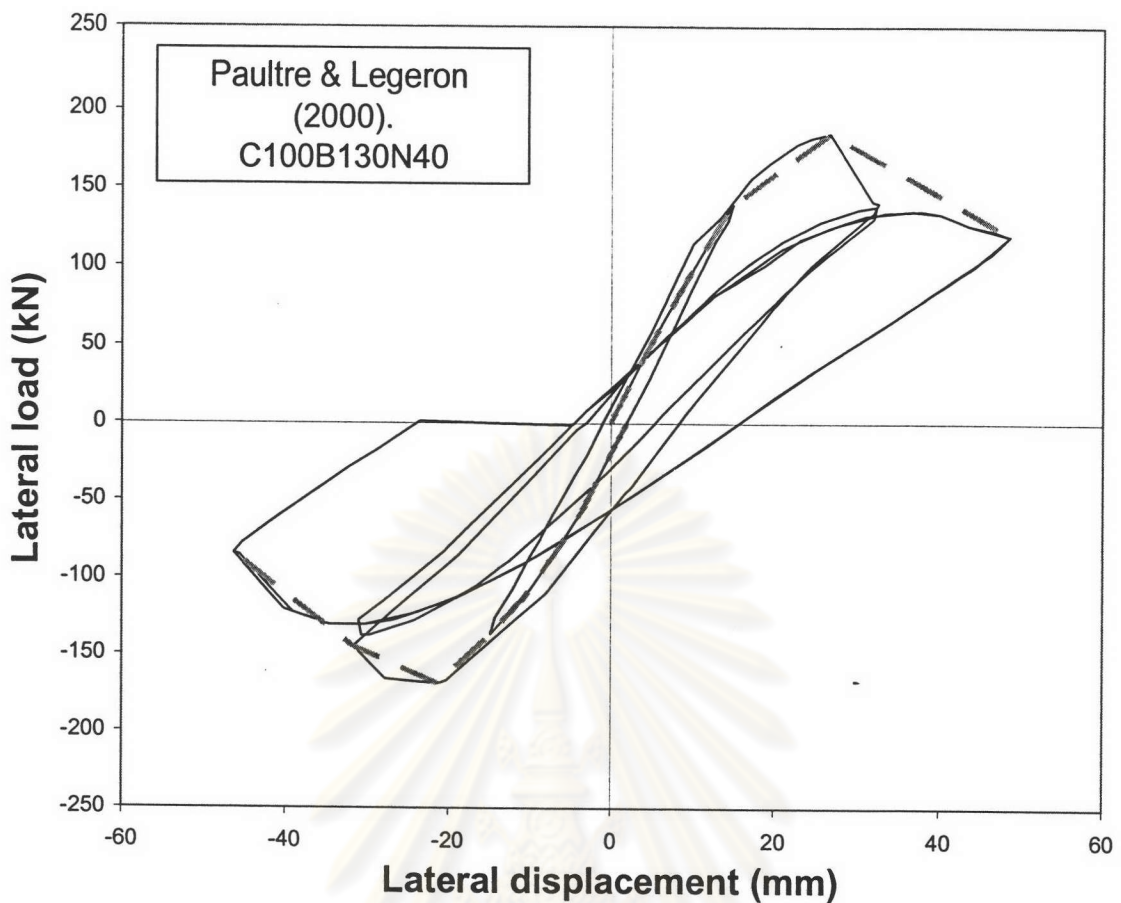


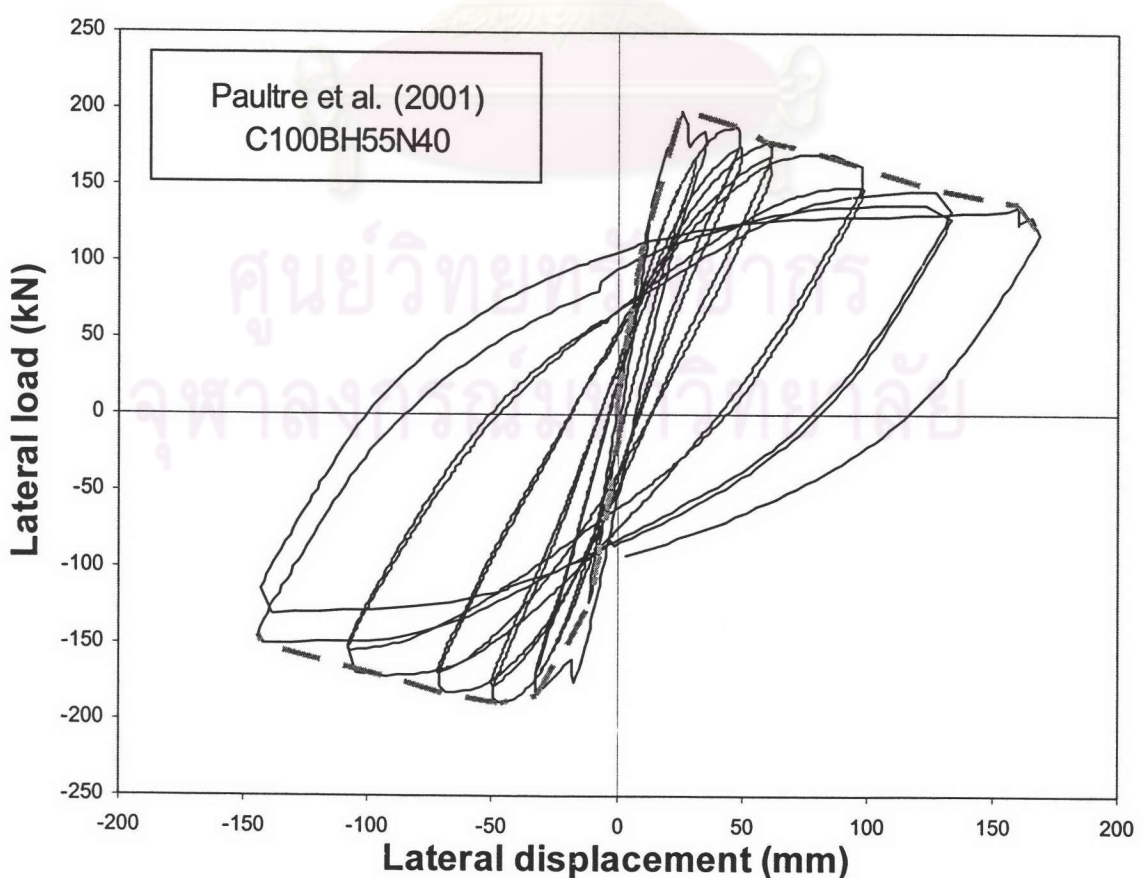
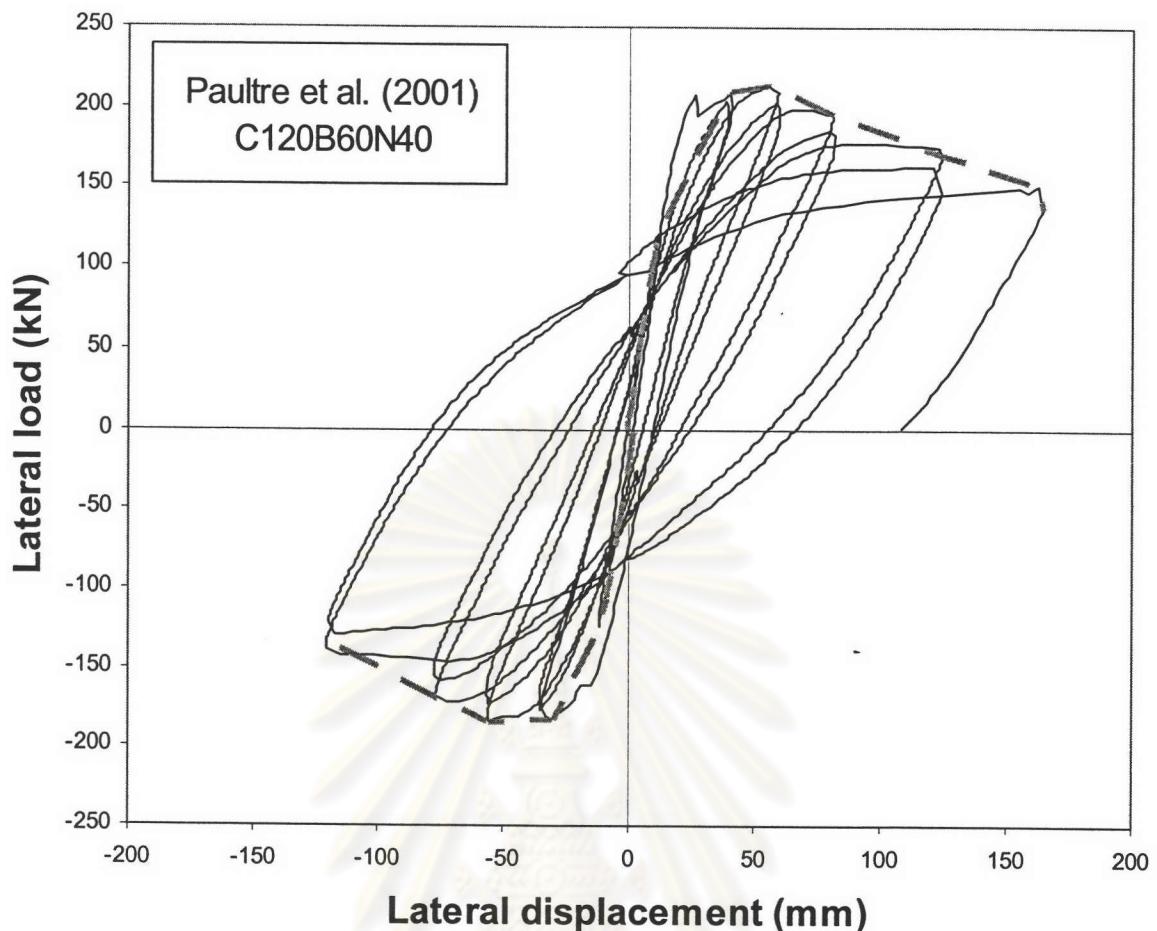


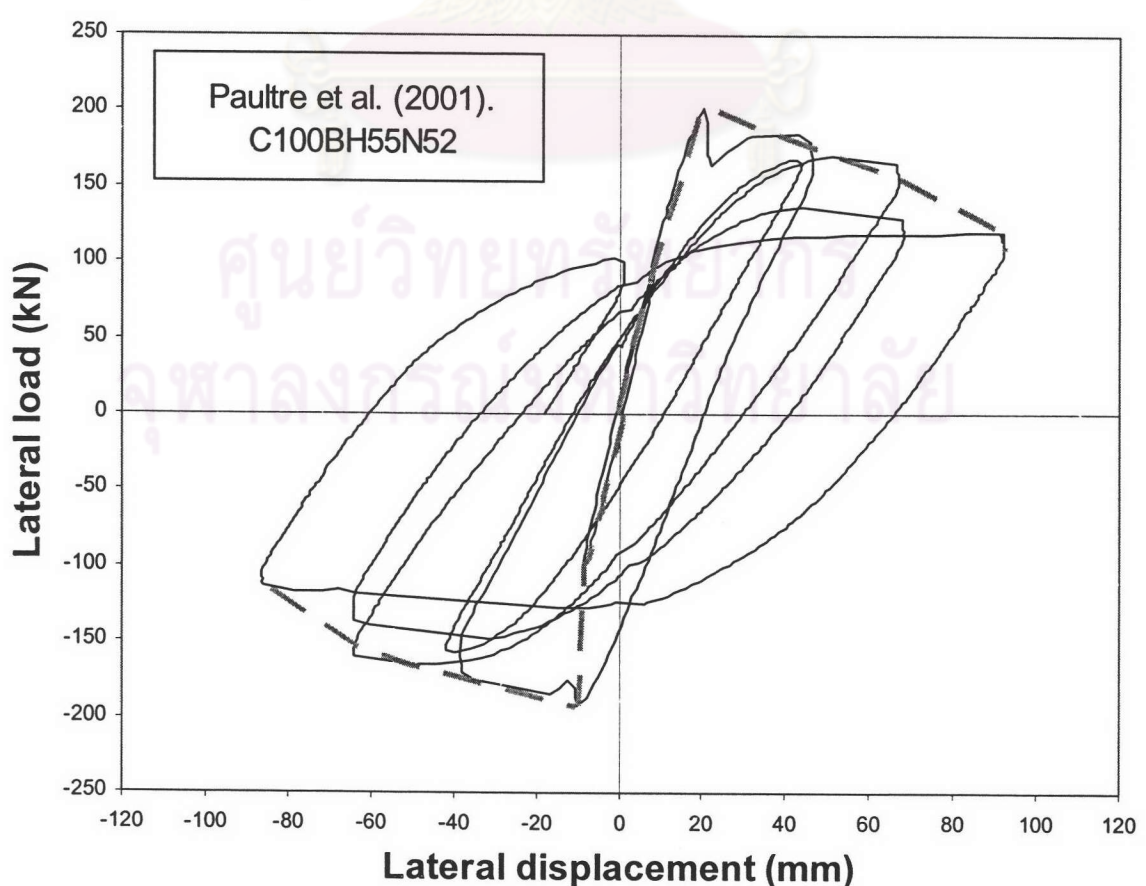
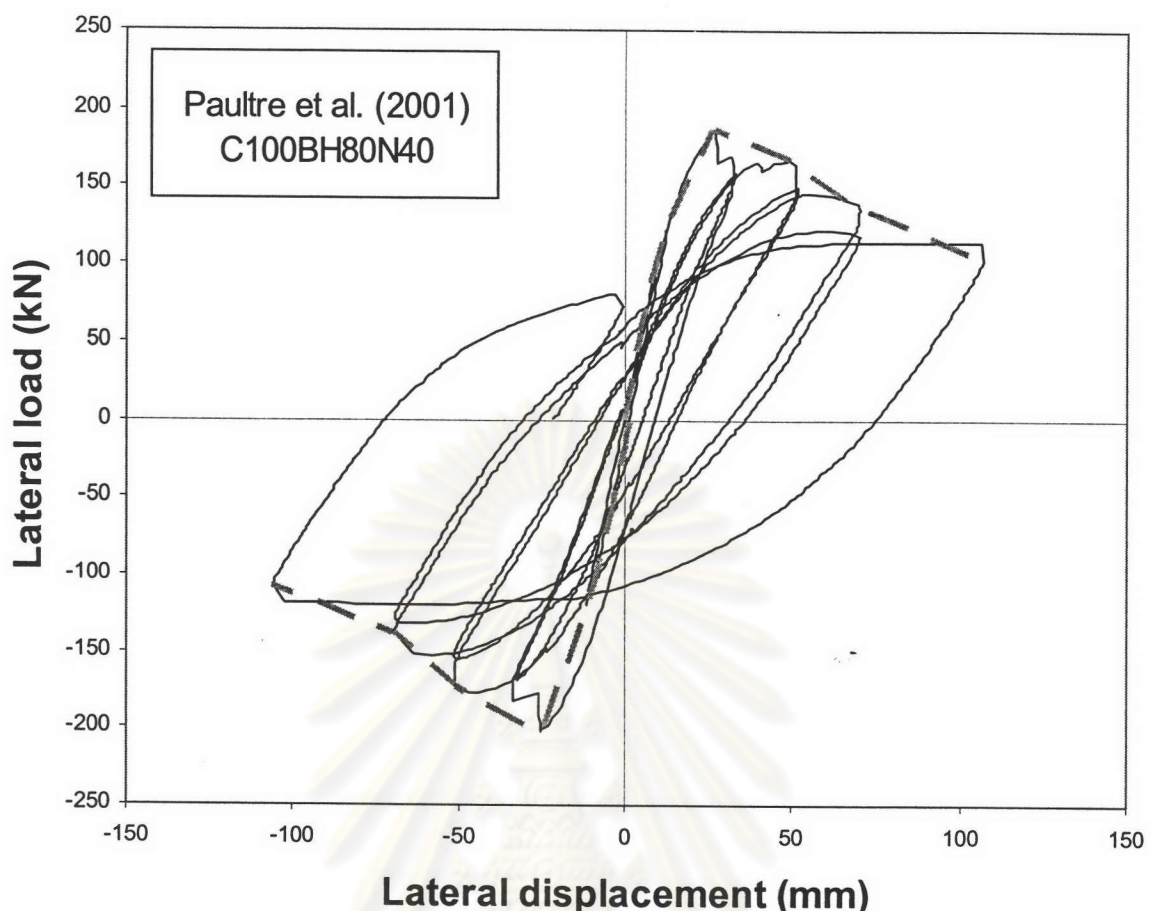


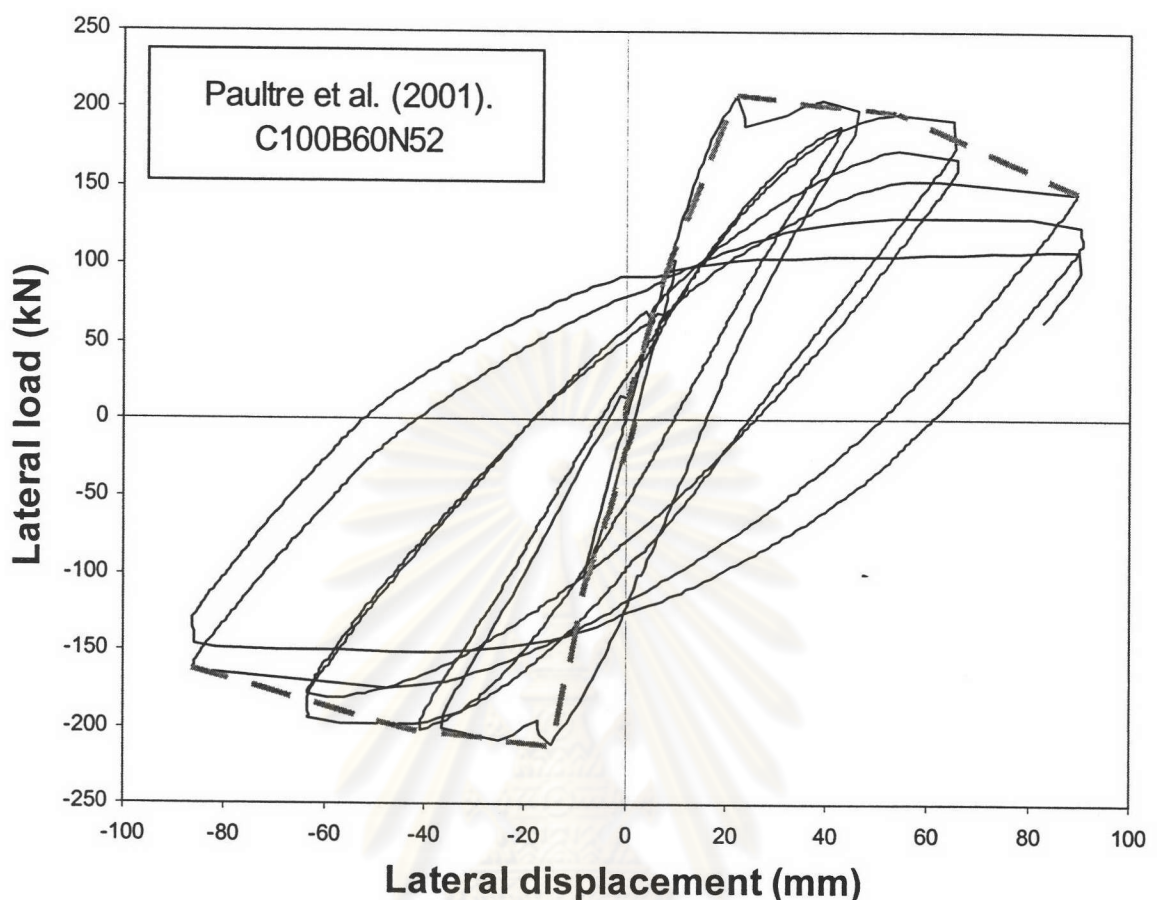












ศูนย์วิทยทรัพยากร
จุฬาลงกรณ์มหาวิทยาลัย

ภาคผนวก ข วิธีการเปลี่ยนระบบหน่วยในสูตรเอนพิริคัล

ปัจจุบันถึงแม้ระบบหน่วยเอกสารไทยจะถูกยอมรับโดยทั่วไปให้เป็นระบบหน่วยสากล แต่ในทางปฏิบัติแล้วประเทศไทยต่าง ๆ ก็ยังคงมีการใช้ระบบหน่วยที่แตกต่างกันลงเหลืออยู่ เช่น ระบบหน่วย psi. ในอเมริกา ระบบหน่วย ksc. ในประเทศไทย ดังนั้นการที่จะนำสูตรเอนพิริคัล (ซึ่งมีหน่วยของผู้ชี้ข่ายและขวาในสมการไม่สอดคล้องกัน) ในระบบหน่วยหนึ่งมาใช้ในอีกระบบหน่วยหนึ่ง จึงจำเป็นต้องมีการเปลี่ยนระบบหน่วยเสียก่อน การเปลี่ยนระบบหน่วยในสูตรเอนพิริคัลสามารถทำได้โดยการคูณตัวคูณเปลี่ยนหน่วย (conversion factor) ที่เหมาะสมกับชนิดของปริมาณ เข้าไปที่ตัวแปรแต่ละตัวในสมการ ดังแสดงในตัวอย่างต่อไปนี้

ตัวอย่าง พิจารณาสมการกำลังเฉือนของคอนกรีตตาม ACI 318-99 ซึ่งอยู่ในระบบหน่วย psi. ดังนี้

$$V_c = 2\sqrt{f'_c} bd \left(1 + \frac{P}{2000 A_g} \right) \quad \text{โดยที่ } \sqrt{f'_c} \leq 100 \text{ ระบบหน่วย psi.} \quad (1)$$

- (ก) จงแปลงสมการดังกล่าวให้อยู่ในระบบหน่วย MPa (ซึ่งก็คือระบบหน่วยเอกสารไทยนั่นเอง)
- (ข) จงแปลงสมการดังกล่าวให้อยู่ในระบบหน่วย ksc.

วิธีทำ (ก) ระบบหน่วย MPa และระบบหน่วย psi. มีความสัมพันธ์กันดังนี้

$$1 \text{ N} = 0.2248 \text{ lb}, \quad 1 \text{ mm} = 0.0394 \text{ in.} \quad \text{และ } 1 \text{ MPa} = 145 \text{ psi.}$$

เมื่อทำการคูณตัวคูณเปลี่ยนหน่วยที่เหมาะสมเข้าไปที่แต่ละตัวแปรในสมการที่ (1) จะได้สมการใหม่ในระบบหน่วย MPa ดังนี้

$$0.2248 V_c = 2\sqrt{145 f'_c} (0.0394b) (0.0394d) \left(1 + \frac{0.2248 P}{2000 (0.0394^2 A_g)} \right)$$

$$\text{โดยที่} \quad \sqrt{145f'_c} \leq 100$$

ซึ่งสามารถจัดสมการใหม่ให้อยู่ในรูปที่ล้อกับสมการที่ (1) ได้เป็น

$$V_c = 0.166\sqrt{f'_c} bd \left(1 + \frac{P}{13.8A_g}\right) \text{ โดยที่ } \sqrt{f'_c} \leq 8.30$$

ระบบหน่วย MPa (2) ตอบ

วิธีทำ (ข) ระบบหน่วย ksc. และระบบหน่วย psi. มีความสัมพันธ์กันดังนี้

$$1 \text{ kg} = 2.205 \text{ lb}, 1 \text{ cm} = 0.3937 \text{ in. และ } 1 \text{ ksc.} = 14.23 \text{ psi.}$$

เมื่อทำการคูณตัวคูณเปลี่ยนหน่วยที่เหมาะสมเข้าไปที่แต่ละตัวแปรในสมการที่ (1) จะได้สมการใหม่ในระบบหน่วย ksc. ดังนี้

$$2.205 V_c = 2\sqrt{14.23f'_c}(0.3937b)(0.3937d) \left(1 + \frac{2.205P}{2000(0.3937^2 A_g)}\right)$$

$$\text{โดยที่} \quad \sqrt{14.23f'_c} \leq 100$$

ซึ่งสามารถจัดสมการใหม่ให้อยู่ในรูปที่ล้อกับสมการที่ (1) ได้เป็น

$$V_c = 0.53\sqrt{f'_c} bd \left(1 + \frac{0.0071P}{A_g}\right) \text{ โดยที่ } \sqrt{f'_c} \leq 26.51$$

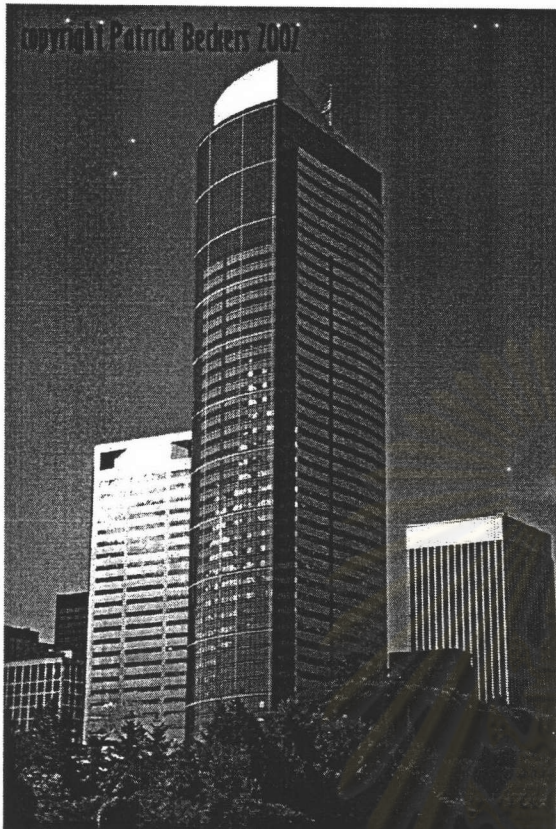
ระบบหน่วย ksc. (3) ตอบ

ภาคผนวก ก รูปแสดงรายการ

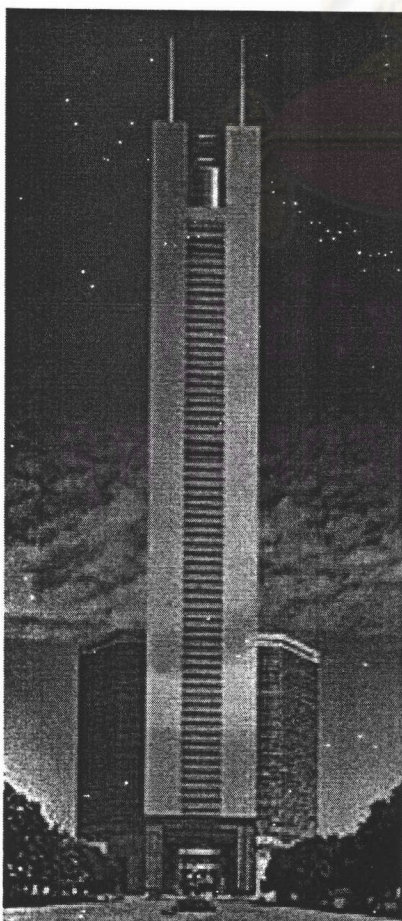
Name:	Ingalls Building	City:	Cincinnati OH	Country:	United States	Illustrator:	Ronnie Garrett	Status:	built	Floors:	17	Use:	office	Antenna:		Spire: <td></td> <th>Roof:<td>64 m</td></th>		Roof: <td>64 m</td>	64 m
Name:	Torre do Banespa	City:	São Paulo SP	Country:	Brazil	Illustrator:	Enrico Leandro	Status:	built	Floors:	35	Use:	office	Antenna:		Spire: <td></td> <th>Roof:<td>120 m</td></th>		Roof: <td>120 m</td>	120 m
Name:	Marina City 1	City:	Chicago IL	Country:	United States	Illustrator:	Martin Mincs	Status:	built	Floors:	61	Use:	residential	Antenna:		Spire: <td></td> <th>Roof:<td>150 m</td></th>		Roof: <td>150 m</td>	150 m
Name:	1000 Lake Shore Plaza	City:	Chicago IL	Country:	United States	Illustrator:	Edificio Kavanagh	Status:	built	Floors:	55	Use:	residential	Antenna:		Spire: <td></td> <th>Roof:<td>179 m</td></th>		Roof: <td>179 m</td>	179 m
Name:	Tour de la Bourse	City:	Montréal QC	Country:	Canada	Illustrator:	Lior I.	Status:	built	Floors:	47	Use:	residential	Antenna:		Spire: <td></td> <th>Roof:<td>161 m</td></th>		Roof: <td>161 m</td>	161 m
Name:	1 Shell Plaza	City:	Houston TX	Country:	United States	Illustrator:	Serge Lacasse	Status:	built	Floors:	69	Use:	residential	Antenna:		Spire: <td></td> <th>Roof:<td>179.8 m</td></th>		Roof: <td>179.8 m</td>	179.8 m
Name:	Lake Point Tower	City:	Chicago IL	Country:	United States	Illustrator:	Greg Garza	Status:	built	Floors:	50	Use:	residential	Antenna:		Spire: <td></td> <th>Roof:<td>190 m</td></th>		Roof: <td>190 m</td>	190 m
Name:	Water Tower Place	City:	Chicago IL	Country:	United States	Illustrator:	Kelvin Fields	Status:	built	Floors:	74	Use:	residential	Antenna:		Spire: <td></td> <th>Roof:<td>196.6 m</td></th>		Roof: <td>196.6 m</td>	196.6 m
Name:	311 South Wacker Drive	City:	Chicago IL	Country:	United States	Illustrator:	James Raymond	Status:	built	Floors:	50	Use:	mixed use	Antenna:		Spire:		Roof: <td>204.8 m</td>	204.8 m
Name:	CITIC Plaza	City:	Hong Kong HK	Country:	China	Illustrator:	Cliff Tan	Status:	built	Floors:	78	Use:	office	Antenna:		Spire:		Roof: <td>304.8 m</td>	304.8 m
Concrete Strength:	34.5 MPa	MPa:	41.4 MPa	MPa:	41.7 MPa	MPa:	41.4 MPa	MPa:	41.4 MPa	MPa:	41.7 MPa	MPa:	41.4 MPa	MPa:	41.4 MPa	MPa:	374 m		
																	391.1 m		
Concrete Strength:	82.7 MPa	MPa:	62.1 MPa	MPa:	51.7 MPa	MPa:	41.4 MPa	MPa:	41.4 MPa	MPa:	41.7 MPa	MPa:	41.4 MPa	MPa:	41.4 MPa	MPa:	309 m		
																	321.9 m		
Concrete Strength:	60.0 MPa	(cube strength)	60.0 MPa	(cube strength)	60.0 MPa	(cube strength)	60.0 MPa	(cube strength)	60.0 MPa	(cube strength)	60.0 MPa	(cube strength)	60.0 MPa	(cube strength)	60.0 MPa	(cube strength)	309 m		

รายการของรากที่เติร์มเพล็กซ์ (reinforced concrete) ที่สูงที่สุดในโลกเรียงตามลำดับเวลา (skyscraperpage.com)

ภาคผนวก ค (ต่อ) รูปแสดงอาคารสูง



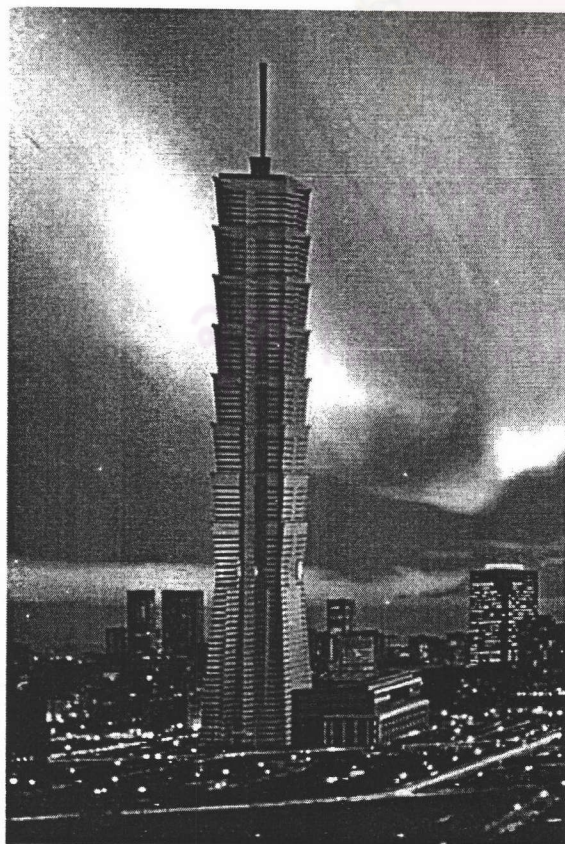
อาคาร Two Union Square ตั้งอยู่ที่เมือง Seattle รัฐ Washington ประเทศสหรัฐอเมริกา ชั้งอยู่ในเขตความเสี่ยงภัยแผ่นดินไหวระดับสูง (zone 3 ตาม UBC) สร้างเสร็จปี ค.ศ. 1989 สูง 226 m (56 ชั้น) เป็นอาคารที่ใช้คอนกรีตกำลังสูงที่สุดในโลก กล่าวคือ เสาสร้างโดยเติมคอนกรีตกำลังสูง 131.0 MPa ลงไปในห้องเหล็ก (steel tube) ซึ่งสามารถให้การตอบรับคอนกรีตได้ดีกว่าเหล็ก普อกตามปกติ



อาคาร CITIC Plaza ตั้งอยู่ที่เมือง Guangzhou นاحย Guangdong ประเทศจีน ชั้งอยู่ในเขตความเสี่ยงภัยแผ่นดินไหวระดับต่ำ สร้างเสร็จปี ค.ศ. 1997 เป็นอาคารคอนกรีตเสริมเหล็ก (reinforced concrete) ที่สูงที่สุดในโลก กล่าวคือ สูง 391 m (80 ชั้น) ใช้คอนกรีตกำลังสูง 60 MPa (กำลังลูกบาศก์)



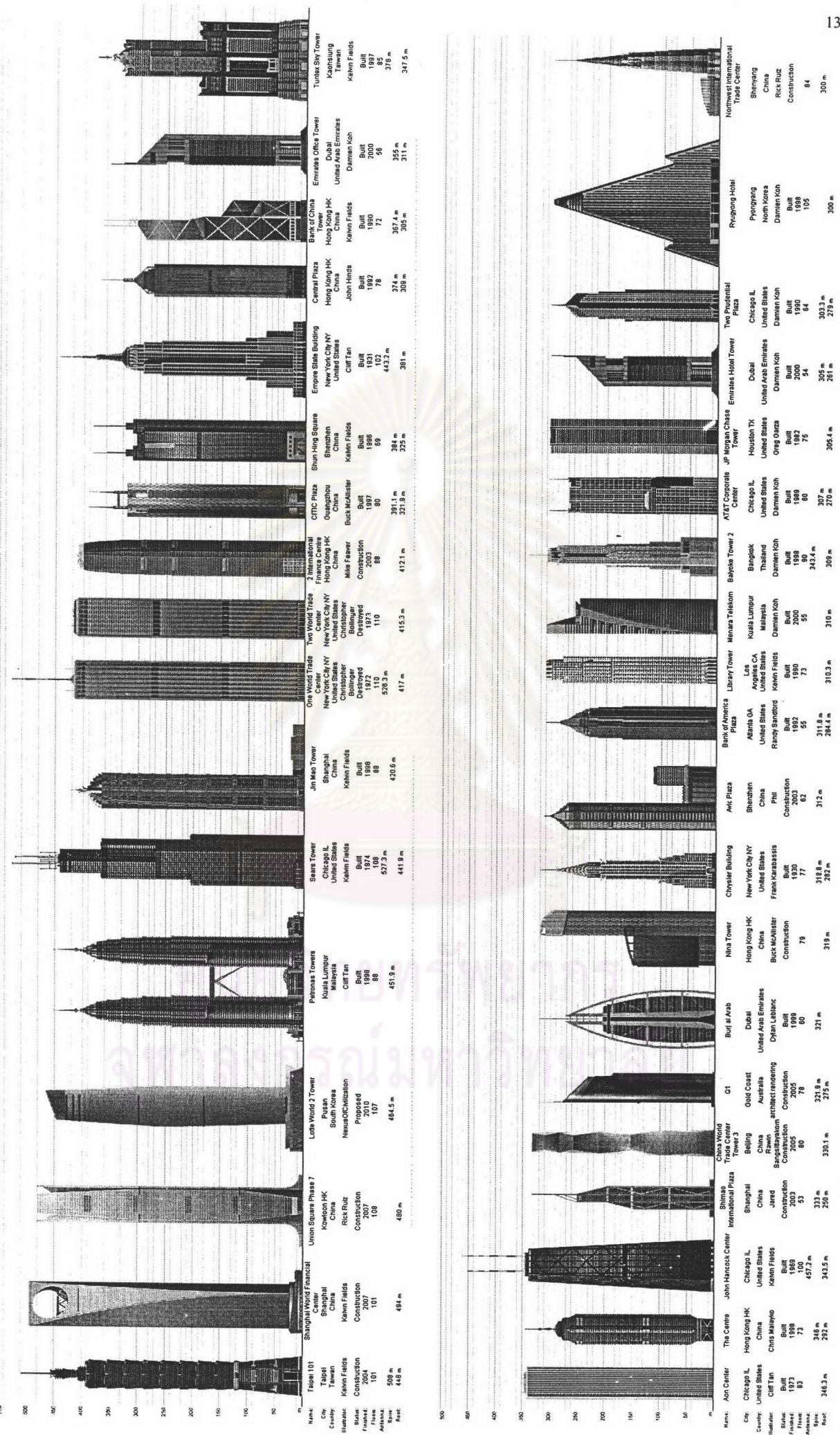
อาคาร The Paramount ตั้งอยู่ที่เมือง San Francisco รัฐ California ประเทศสหรัฐอเมริกา สร้างเสร็จปี ก.ศ. 2002 เป็นอาคารคอนกรีตอัด แรงกล่องสำเร็จรูปที่สูงที่สุดในเขตความเสี่ยง กัยแผ่นดินไหวระดับสูงมาก (Zone 4 ตาม UBC) มีความสูง 128 m (40 ชั้น) เสาใช้ คอนกรีตกำลังสูง 55 MPa และให้การโอบรัด เสาโดยตะแกรงข่ายลวดเชื่อม(welded wire grids)



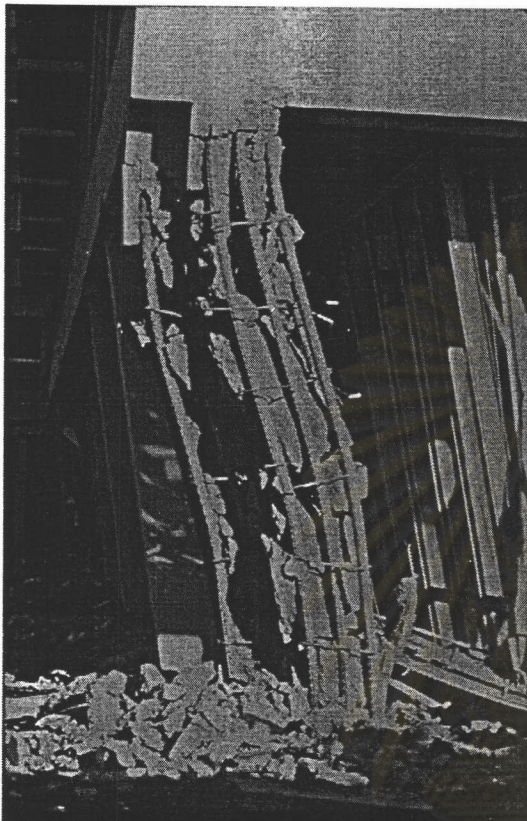
อาคาร Taipei 101 ตั้งอยู่ที่กรุงไทเป ประเทศไต้หวัน ซึ่งอยู่ในเขตความเสี่ยงกัย แผ่นดินไหวระดับสูงมาก สร้างเสร็จปี ก.ศ. 2004 เป็นอาคารที่สูงที่สุดในโลกด้วยความสูง 508 m (101 ชั้น) เสาฐานกล่อง (box columns) ใช้คอนกรีตกำลังสูง 70 MPa มีการติดตั้งตัว หน่วงแบบปรับมวล (tuned mass damper) ซึ่งมี ลักษณะเป็นเหล็กรูปทรงกลมหนัก 800 ตัน แขวนด้วยเคเบิลที่บริเวณยอดอาคาร

ภาคเหนือ (๗)

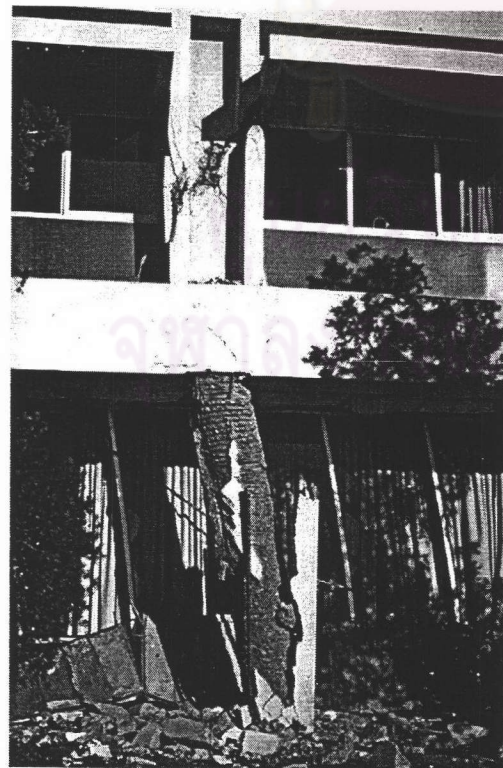
รายการที่สูงที่สุดในโลกเรียงตามลำดับความสูง (เฉพาะที่สูงตั้งแต่ 300 เมตรขึ้นไป) (skyscraperpage.com)



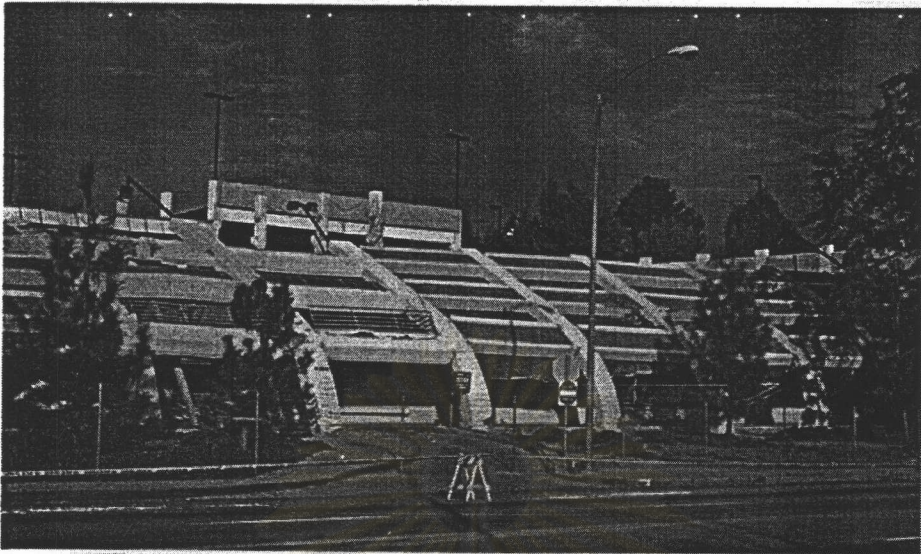
ภาคผนวก ง รูปความเสียหายจากเหตุการณ์แผ่นดินไหวที่ผ่านมา



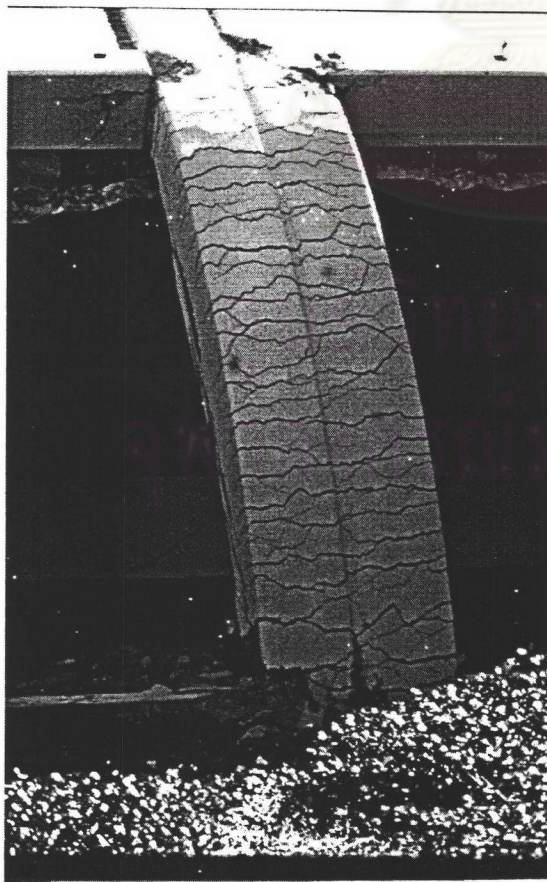
อาคาร Olive View hospital เกิดความเสียหายในเหตุการณ์ 1971 San Fernando earthquake การที่มีผนังคอนกรีตเสริมเหล็กในชั้นบนขึ้นไป ทำให้เกิดชั้นล่างที่อ่อน (soft first story) รูปแสดงเสาที่มีอัตราส่วนการเคลื่อนตัวคงค้างหลังจากแผ่นดินไหวสูงถึง 19% จะสังเกตเห็นแกนคอนกรีตร่วนเป็นชิ้นเล็กชิ้นน้อยเนื่องจากทำการโอบรัดด้วยเหล็กปลอกเดียวในปริมาณที่ไม่เพียงพอ



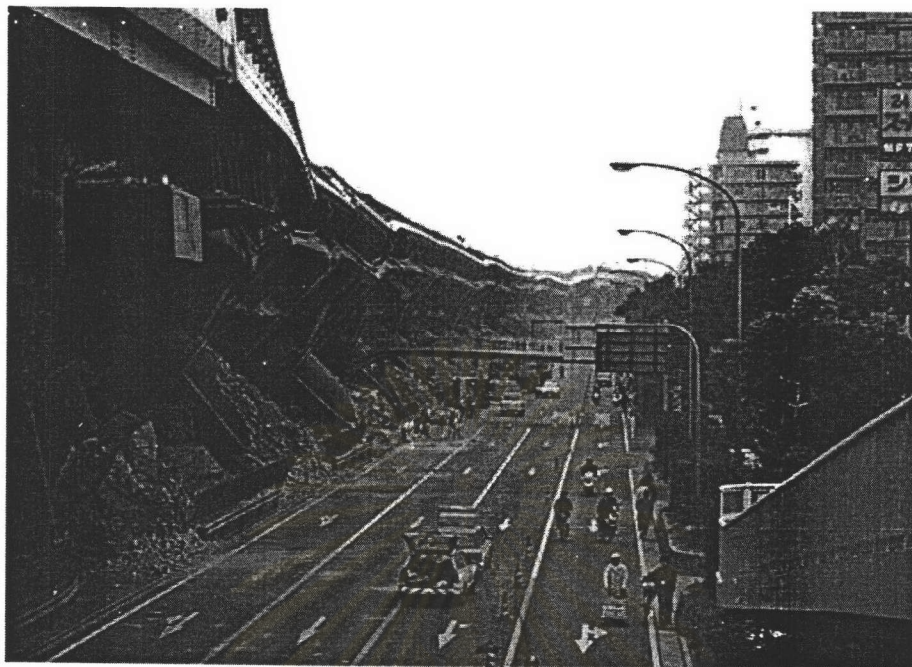
เปรียบเทียบพฤติกรรมที่เหนียวของเสาชั้นล่างในอาคารเดียวกัน ซึ่งการที่มีการโอบรัดอย่างเพียงพอโดยเหล็กปลอก เกลียวทำให้แกนคอนกรีตยังคงอยู่ในสภาพที่ดี และช่วยป้องกันไม่ให้เกิดการพังทลายของอาคาร



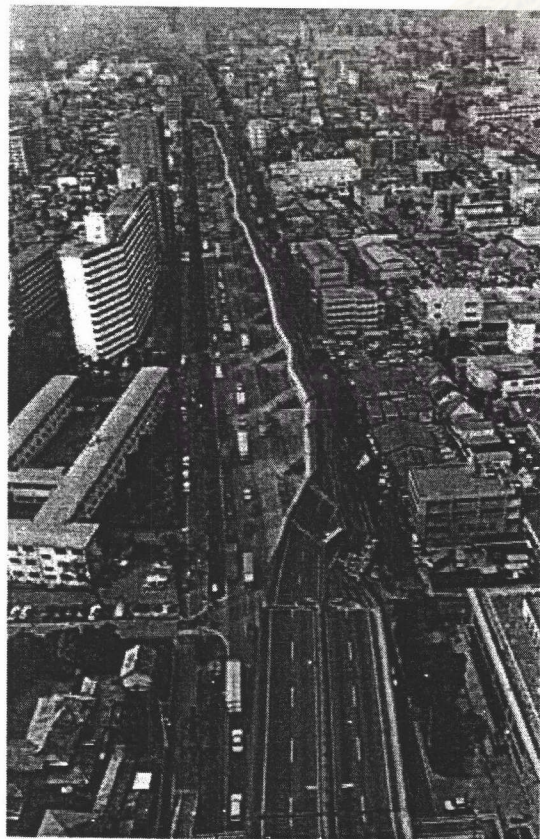
อาคารจอดรถที่ California State University เกิดการพังทลายบางส่วน (partial collapse) ในเหตุการณ์ 1994 Northridge earthquake จะเห็นว่าโครงข้อแข็งหล่อสำเร็จรูปถูกดึงเข้าไปข้างใน โดยเคลบิลอดดแรงแบบดึงทีหลัง เมื่อส่วนโครงสร้างภายในพังทลายลงเนื่องจากมีการยึดต่อที่ไม่เพียงพอระหว่างส่วนที่รับแรงแนวดึงและชิ้นส่วนที่รับแรงด้านข้าง

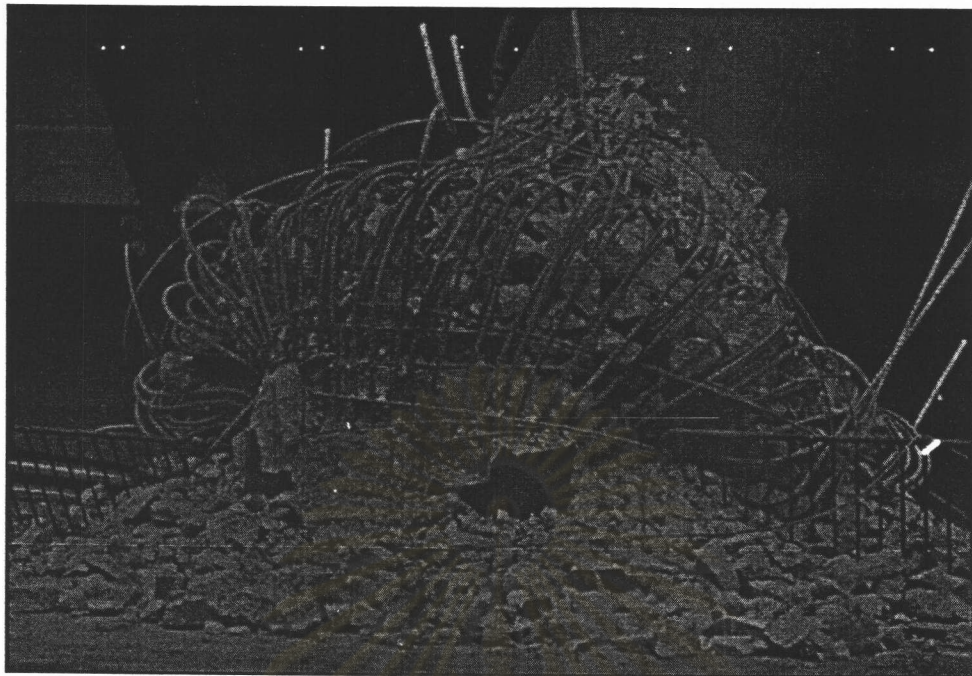


พฤติกรรมที่เห็นยามากของเสาคอนกรีตเสริมเหล็กภายใต้แรงดันของอาคารเดียวกัน จะสังเกตเห็นเสาดัด โคงอย่างมากรอบแกนรองโดยไม่หัก และรอยร้าวดัดกระจายถี่ๆ



ในเหตุการณ์ 1995 Kobe earthquake สะพานของ Hanshin Expressway เกิดการพลิกลงด้านข้าง 18 ช่วง ยาวหลายร้อยเมตร โดยมีสาเหตุหลักมาจากการแตกร้าวที่ประจำของรอยเชื่อมของเหล็กยึนในเสาภายใต้แรงดดด ซึ่งรอยเชื่อมทั้งหมดถูกเชื่อมอยู่ที่ระดับเดียวกัน

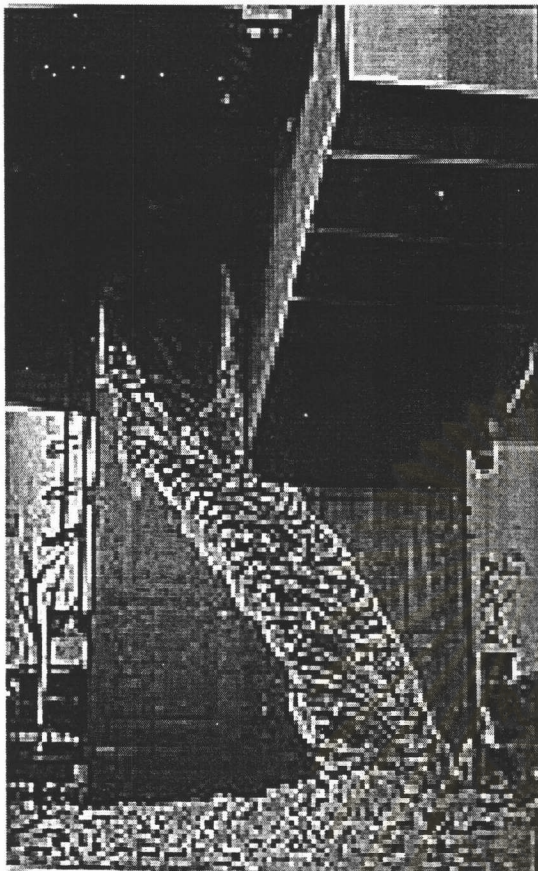




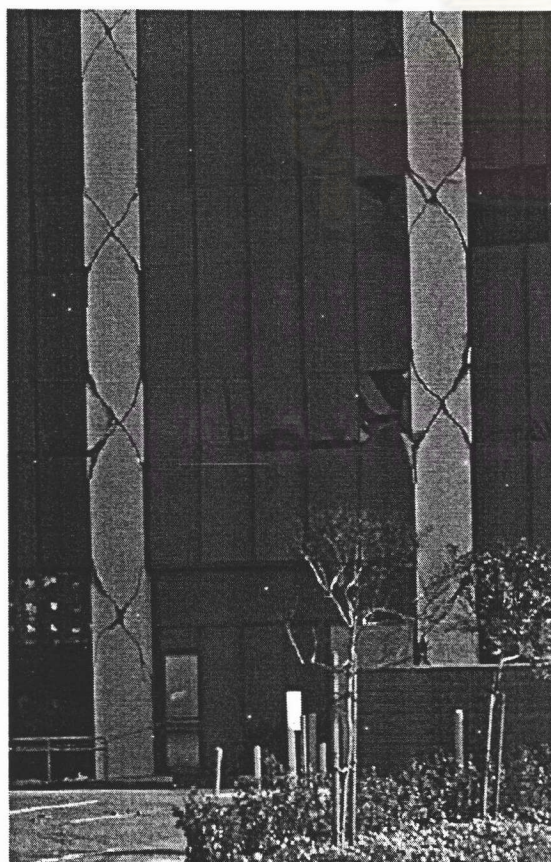
ในเหตุการณ์ 1995 Kobe earthquake เสาสะพานของ Hanshin Expressway เกิดการวินาศี
เนื่องจากมีการ โอบรัดที่ไม่เพียงพอ และการวินาศีของการต่อเหล็กยึนในเสา



ในเหตุการณ์ 1994 Northridge
earthquake เสาของสะพาน Bull Creek
Bridge เกิดการวินาศีแบบเนื้อนและเกิด^{ดู}
การดึงของเหล็กยึนใต้บริเวณหัวเสาซึ่งมี
การโอบรัดโดยเหล็กปلو กอกเกลียว



เสาสันซึ่งมีความต้องการแรงเฉือน (shear demand)มาก เกิดการวินาศิบะแบบเฉือนในเหตุการณ์ 1995 Kobe earthquake จะสังเกตเห็นรอยร้าวทแยงได้อย่างชัดเจน



อาคาร Barrington Building ใกล้จะพังทลายลงในเหตุการณ์ 1994 Northridge earthquake เนื่องจากเกิดการวินาศิบะแบบเฉือนในเสา ซึ่งความยาวของเสาถูกทำให้สั้นลงโดยแพ่งของอาคาร

ประวัติผู้เขียนวิทยานิพนธ์

นายภาคภูมิ พัฒนเศรษฐีวนันท์ เกิดในวันศุกร์ที่ 10 พฤศจิกายน พ.ศ. 2521 ที่อำเภอเมือง จังหวัดนครราชสีมา สำเร็จการศึกษาระดับปริญญาตรี จากภาควิชาวิศวกรรมโยธา คณะวิศวกรรมศาสตร์ มหาวิทยาลัยเชียงใหม่ ในปีการศึกษา 2542 และเข้าศึกษาต่อในหลักสูตรวิศวกรรมศาสตรมหาบัณฑิต ที่คณะวิศวกรรมศาสตร์ จุฬาลงกรณ์มหาวิทยาลัย ในปีการศึกษา 2543



ศูนย์วิทยทรัพยากร
จุฬาลงกรณ์มหาวิทยาลัย